

Tehniium

REVISTĂ LUNARĂ EDITATĂ DE C.C. AL U.T.C.

ANUL XVII - NR. 194 **1/87**

CONSTRUCȚII PENTRU AMATORI

SUMAR

**DRAGOSTE PROFUNDĂ
ȘI RECUNOȘTINȚĂ FIERBINTE
A TINEREI GENERAȚII A PATRIEI
NOASTRE SOCIALISTE** pag. 2—3

**INIȚIERE ÎN
RADIOELECTRONICĂ** pag. 4—5

Calculul transformatoarelor
Avertizor
Ohmmetru liniar

CQ-YO pag. 6—7

Din lucrările Simpozionului
național al radioamatorilor
Transceiver TR4-SSB-CW

LABORATOR pag. 8—9

Redresoare automate
Amplificator formator pentru
intrare de frecvențmetru

HI-FI pag. 10—11

Amplificator de audiofrec-
vență de mare putere
Interfon
Recondiționarea înregistră-
rilor vechi de pe discuri de
patefon

INFORMATICĂ pag. 12—13

Modul multifuncțional

AUTO—MOTO pag. 14—15

Autoturismele Olcit: Service
Trabant 601: Carburatorul 28
H 1—1

ATELIER pag. 16—17

Sistem de dezvoltare

LOCUIȚA NOASTRĂ pag. 18—19

Recuperări de căldură în
locuință

FOTOTEHNICĂ pag. 20—21

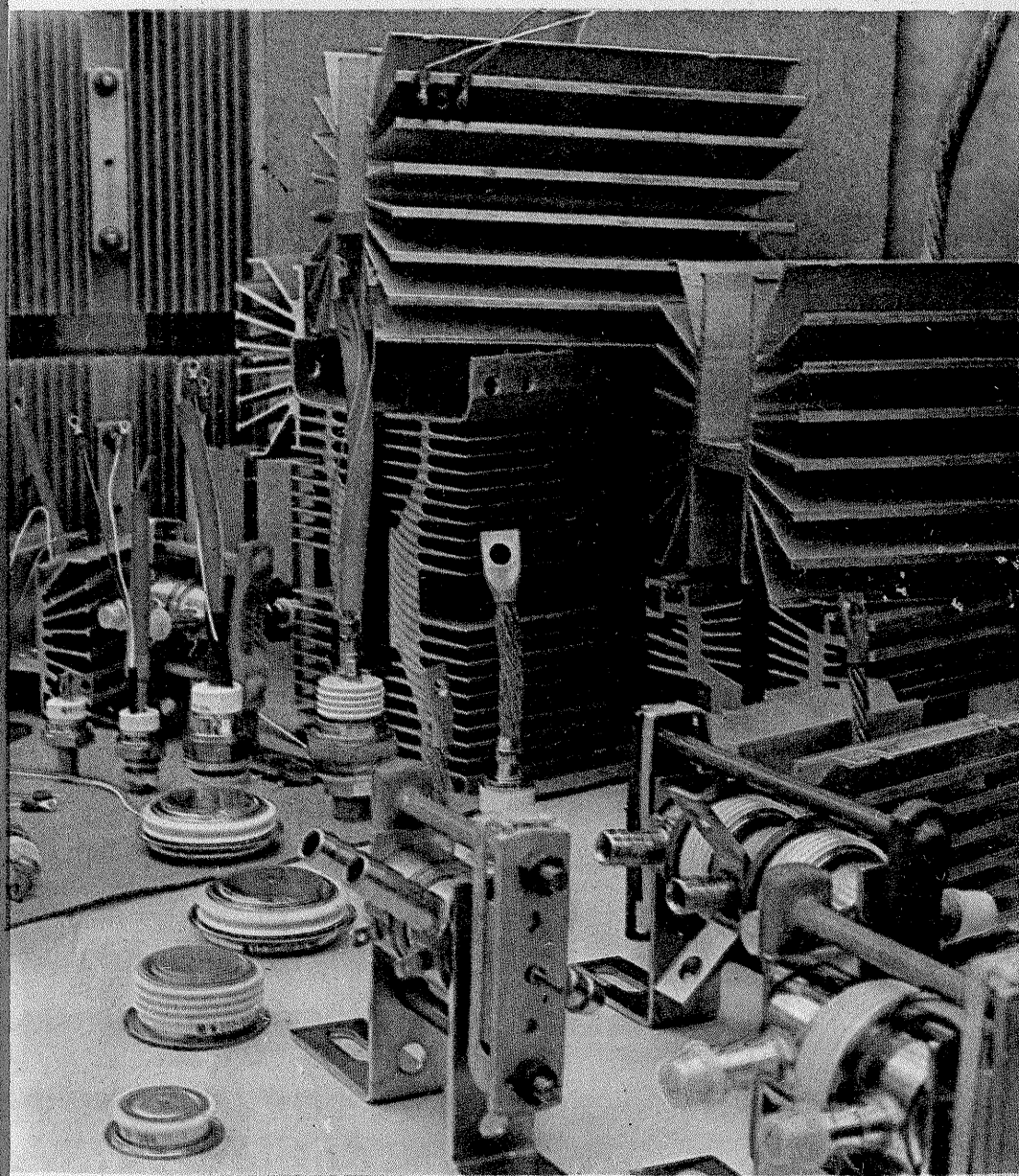
Dispozitiv automat pentru
mixajul iluminării
Alegerea parasolarului și cal-
cularea unghiului de cîmp

REVISTA REVISTELOR pag. 22

Tx-4 W
Filtru
Circuitul A2030H
Releu

SERVICE pag. 24

Radioreceptorul AIWA
AR-888



Tînăra generație a patriei noastre aduce un fierbinte omagiu și cele mai alese gânduri tovarășului **NICOLAE CEAUȘESCU**, tovarăsei **ELENA CEAUȘESCU** cu prilejul aniversării zilelor de naștere.

„Adresez chemarea de a împleni strâns învățămîntul cu activitatea de cercetare, dar mai cu seamă cu producția! Învățați și munciți! Trebuie să nu uităm nici un moment că făurim o societate a muncii libere, în care în procesul diviziunii socialiste a muncii, fiecare trebuie să-și aducă contribuția activă la dezvoltarea materială și spirituală a patriei noastre. Numai prin muncă — înțelegînd prin aceasta complexitatea muncii materiale fizice și intelectuale ca un tot unitar, dialectic — vom asigura și formarea unui bun specialist și muncitor pentru toate domeniile de activitate, vom asigura adevărați conducători ai industriei, ai economiei, ai României socialiste și comuniste!”

NICOLAE CEAUȘESCU



DRAGOSTE PROFUNDĂ ȘI RECUNOȘTINȚĂ FIERBINTE A TINEREI GENERAȚII A PATRIEI NOASTRE SOCIALISTE

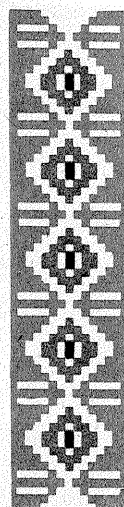
Aniversarea zilei de naștere, a peste 50 de ani de activitate revoluționară a secretarului general al partidului, președintele Republicii, tovarășul **NICOLAE CEAUȘESCU**, puterea de simbol și semnificație a acestei zile rămîn expresia ce o dăm celor mai calde și mai alese sentimente, omagiul înălțător pe care tinăra generație, alături de întregul popor, îl aduc celui ce se află cu binemeritată, statornică și vie prețu-

ire în fruntea destinului nostru național.

Ctitor de epocă nouă, secretarul general al partidului îndrumă pas cu pas, cu căldură și încredere părintească, destinele tinerei generații, călăuzind permanent, cu înaltă grijă și exigență comunistă, întreaga activitate a Uniunii Tineretului Comunist, investită cu sarcina de înaltă răspundere de a reprezenta o puternică școală de for-

mare și educație patriotică și revoluționară, prin muncă și pentru muncă a întregului tineret.

În același timp, gândurile de fierbințe dragoste și profundă recunoștință ale tinerei generații se îndreaptă spre tovarășa academician doctor inginer **ELENA CEAUȘESCU**, prim-viceprim-ministru al guvernului, președintele Consiliului Național al Științei și Învățămîntului, savant de renume mondial, personali-



tate științifică proeminentă a cărei activitate strălucită a ridicat continuu chimia românească, creind o operă științifică de mare valoare teoretică și practică, militând pentru transformarea științei în instrument al păcii, al progresului social.

Pe întreg cuprinsul țării, pretutindeni acolo unde muncește, trăiește și învață tineretul, în întreprinderi și pe ogoare, în școli și facultăți, în institute de cercetare, pe șantiere de muncă patriotică, activitatea sa vizează nemijlocit realizarea unei noi calități și a unei superioare eficiențe în toate domeniile. Munca pentru țară constituie temelia trainică pe care se cultivă și se afirmă trăsăturile moral-politice înaintate ale tineretului zilelor noastre, crescut și educat în spiritul concepției revoluționare despre lume și viață a partidului nostru, al principiilor și normelor muncii și vieții comunistilor, ale eticii și echității socialiste. El se afirmă cu perseverență pentru

triumful noului, pentru eliminarea a tot ce este vechi și perimat și nu mai corespunde cerințelor progresului, intereselor generale ale societății.

Vibrantul răspuns al tuturor tinerilor țării, votul unanim exprimat la referendumul din 23 noiembrie 1986 a reprezentat un grăitor angajament de muncă și luptă al tinerii generații de a înlăptui neabătut obiectivele stabilite de Congresul al XIII-lea al Partidului Comunist Român, de a traduce în viață, la fiecare loc de muncă, prețioasele îndrumări și indicații ale secretarului general al partidului, cel care, cu deosebită clarviziune politică, a considerat întotdeauna tineretul ca o imensă forță socială participantă în primele rinduri ale construcției societății socialiste multilateral dezvoltate.

Nenumăratele inițiative de pace ale președintelui României socialiste, nenumăratele apeluri la reducerea încordării militare, măsurile concrete de reducere a cheltuielilor

și efectivelor militare, răspunsul unanim al poporului român la chemarea vibrantă a secretarului general al partidului demonstrează voința de pace a națiunii noastre, voința umanistă a unei națiuni care ca un singur om acționează pentru construirea pașnică a viitorului ei luminos.

Rod al unei gândiri novatoare, al cunoașterii profunde a fenomenelor noi și a evoluției evenimentelor, al înaltei competențe și responsabilității față de cauza socialismului și păcii, politica generoasă de promovare a acțiunilor concrete de dezarmare semnifică în același timp marea dragoste și grija manifestate permanent de tovarășul **NICOLAE CEAUȘESCU** pentru prezentul și viitorul tinerii generații, care are în față un strălucit model de patriot și revoluționar, de comunist de aleasă omenie, pentru care nu există țel mai scump decât acela de a face totul, de a-și consacra întreaga ener-

gie și putere de muncă binelui și fericirii poporului, înfloririi continue a națiunii socialiste, ridicării României pe cele mai înalte culmi de progres și civilizație, victoriei cauzei socialismului și păcii.

Într-o singură voință și într-un singur gând, uteciștii, toți tinerii României socialiste folosesc acest moment sărbătoresc pentru a-și reafirma cele mai alese sentimente de dragoste, stimă și recunoștință față de tovarășul **NICOLAE CEAUȘESCU**, față de tovarăsa **ELENA CEAUȘESCU**, asigurându-i în același timp că omagiul cel mai frumos care se poate aduce de către tinăra generație în momentul unor aniversări dragi poporului nostru îl reprezintă munca avântată pentru țară, pentru binele și măreția poporului, pentru triumful cauzei partidului.

CĂLIN STĂNCULESCU

ȘTIINȚA ROMÂNEASCĂ ÎN SLUJBA PĂCII ȘI PROGRESULUI

Tinerii cercetători din țara noastră, ca de altfel întreaga generație tinăra, crescută și formată în perioada istorică ce cu mândrie o numim „**EPOCA NICOLAE CEAUȘESCU**”, se află în primele rinduri ale eforturilor pentru utilizarea în folosul oamenilor a rezultatelor cercetării științifice, în spiritul vocației pentru pace a poporului nostru, vocație recunoscută și apreciată astăzi în întreaga lume, grație inițiativelor și contribuției președintelui Republicii Socialiste România, tovarășul **NICOLAE CEAUȘESCU**.

Beneficiem în munca noastră de îndrumarea înțeleaptă a tovarășei academiciene doctor inginer **ELENA CEAUȘESCU**, savant și om politic de renume mondial, a cărei prodigioasă activitate contribuie decisiv la afirmarea principiilor perene și generoase prin care știința poate și trebuie să contribuie în exclusivitate la fericirea și nu la distrugerea oamenilor.

Comitetul Național Român „Oamenii de știință și pacea”, al cărui președinte este tovarăsa academician doctor inginer **ELENA CEAUȘESCU**, militază ca inteligența și forța creatoare ale umanității să fie puse în slujba păcii și progresului, ca omenirea să utilizeze uriașele capacități ale științei și tehnicii în scopul lich-

dării decalajelor dintre națiuni, eradicării subdezvoltării, construirii unei lumi mai bune și mai drepte, a păcii și prieteniei între popoare.

Participând la concretizarea obiectivelor prioritare ce revin cercetării de fizică și energeticii nucleare, tinerii cercetători de pe Platforma Măgurele raportează că, în anul care a trecut, au proiectat, omologat și executat numeroase aparate, instalații și echipamente pentru energetica nucleară și marea industrie. Acestea vor contribui la asigurarea unei calități superioare a produselor din diferite ramuri ale industriei, la modernizarea unităților noastre productive, sarcină de mare importanță, formulată de secretarul general al partidului în cadrul Congresului Științei și Învățământului.

Amintim în acest sens proiectele de instalații și echipamente pentru unitățile Centralei nucleare-electrice Cernavoda, realizate în secțiile Institutului de Reactori Nucleari Energetici.

Tinerii din Institutul de Fizică și Inginerie Nucleară au contribuit la proiectarea, iar cei din Fabrica de Aparatură Nucleară la realizarea practică a instalațiilor de niturare și placare ionică, a pompelor și agregatelor de vid preliminar și înalt, instalații tot mai mult solici-

tate de către economia națională. Cu rezultate remarcabile se prezintă cercetătorii și muncitorii tineri din Institutul de Fizică și Tehnologia Aparaturii cu Radiații, prin realizarea de lasere pentru prelucrări industriale, măsurători de viteze de deplasare a pieselor mobile, alinieri pe distanțe mari, măsurători ultrasensibile de poluare a mediului ambiant etc.

Rezultate la fel de interesante și de largă aplicabilitate au fost obținute de tinerii care studiază acea stare de agregare a materiei mai rar întâlnită pe Pământ, dar dominantă la scară cosmică, care este plasma. În acest domeniu, preocupările se întind de la așa-numitele plasme „reci” pînă la plasma termonucleară, de la care se așteaptă rezolvarea problemelor energetice ale umanității. Sint de amintit, de asemenea, realizările tinerilor care contribuie la promovarea unor tehnologii noi, neconvenționale, cum sint tehnologiile nucleare, sudura cu fascicul de electroni, polimerizarea în cimp de radiații gama sau prelucrările în vid; a celor din cadrul Institutului de Fizică și Tehnologia Materialelor, care produc materiale noi, de tip ceramic, semiconductor sau supraconductor, cu aplicații largi în defectoscopia ultrasonică, industriile electronică și electrotehnică.

Vocația pașnică a științei românești a fost reconfirmată elocvent și cu ocazia referendumului din 23 noiembrie 1986, manifestare a profundului democratism al orinduirii noastre socialiste, cind noi toți, cer-

cetători, proiectanți, tehnicieni, muncitori, am exprimat deplina adevărată adeziune la politica de dezarmare și pace promovată cu consecvență de Partidul Comunist Român, materializată strălucit în numeroasele inițiative și acțiuni ale secretarului său general, tovarășul **NICOLAE CEAUȘESCU**, avind drept obiectiv asigurarea tuturor condițiilor ca poporul, țara noastră să-și poată înlăptui planurile de dezvoltare socială într-un climat de liniște, colaborare și deplină securitate internațională.

Iată de ce, acum, gândurile noastre se îndreaptă cu recunoștință spre arhitecții patriei noastre socialiste, tovarășul **NICOLAE CEAUȘESCU**, tovarăsa **ELENA CEAUȘESCU**, cei care constituie pentru toți tinerii țării modelul suprem de gândire și cetezanță revoluționară. Luna ianuarie este deja o lună înscrisă în marea carte a istoriei cu litere nepieritoare, o lună în care noi, tinerii cercetători, ne unim glasurile, alături de întregul popor, într-o urare venită din tot sufletul și cu toată căldura sentimentelor noastre de dragoste și recunoștință: La mulți ani, mult iubite și stimate tovarăse **NICOLAE CEAUȘESCU**, mult stimată tovarăsa **ELENA CEAUȘESCU**!

DANIEL GHEORGHE CĂTA,
secretar Comitetului U.T.C.,
Centrul Național de Fizică
București-Măgurele

BENEFICIARI UNUI CONCEPT MODERN DE ÎNVĂȚĂMÎNT: ȘCOALA, TINĂRA GENERAȚIE, VIITORUL NOSTRU

Cuvintele abia pot cuprinde bucuria noastră, a celor tineri, a celor ce se pregătesc acum pe băncile școlii pentru a deveni muncitori și specialiști de nădejde, apărători și continuatori a tot ce s-a înlăptuit sub conducerea Partidului Comunist Român, sub dreapta și înțeleaptă îndrumare a secretarului său general, tovarășul **NICOLAE CEAUȘESCU**.

Este un motiv de profundă dragoste și permanentă recunoștință faptul că fiecare dintre noi știm că, de peste două decenii de cind în fruntea partidului și țării se află tovarășul **NICOLAE CEAUȘESCU**, învățământul s-a bucurat constant de o atenție prioritară, de prețioase sfaturi pentru ca tinăra generație cuprinsă în școlile de toate gradele să beneficieze de continue perfecționări, de o puternică înzestrare materială pentru tot mai strînsa sa

legare de știință, de cercetare și de producție.

Astăzi procesul de învățămînt constituie una dintre cele mai fertile și, totodată, dintre cele mai originale și generoase teze de politică educațională a secretarului general al partidului, politică transpusă în practică de către Consiliul Național al Științei și Învățământului, sub conducerea înțeleaptă a tovarășei academiciene doctor inginer **ELENA CEAUȘESCU**, ce are în vedere perfecționarea continuă și simultană a competenței profesionale, împlinirea valențelor de creativitate, sporirea gradului de informare științifică, precum și aplicarea rapidă a creației științifice și tehnice în practică.

Beneficiem în școala în care învățăm și muncim de cabinete de specialitate, bine dotate, de ateliere-

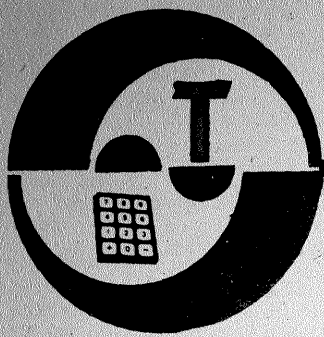
școală în care realizăm anual o producție căreia mereu îi depășim cotele de plan, de instalații video care îmbogățesc calitățile instruirii prin prezentarea de filme didactice. De asemenea, informatica este astăzi, la noi în școală, un domeniu familiar. Încă din clasa a VI-a elevii se familiarizează cu limbajul calculatoarelor, iar cei din clasele a IX-a participă și ei la descifrarea tainelor dialogului cu instrumentele celei mai înaintate tehnici.

Avem cele mai bune condiții de viață și învățatură, avem profesori competenți și exigenți, zi de zi simțim dragostea părintească a conducătorilor iubiti, tovarășul **NICOLAE CEAUȘESCU**, tovarăsa **ELENA CEAUȘESCU**. Le-am ascultat îndemnul și ne-am format din exemplul lor personal de cetezanță revoluționară un model, un ideal

scump inimilor noastre tinere.

Un procent foarte bun de promovabilitate, o exigență mereu sporită față de disciplina școlară, rezultatele bune ale uteciștilor școlii noastre în cadrul acțiunilor de munca patriotică sint doar cîteva din faptele noastre, ale elevilor, pe care le dedicăm cu toată dragostea și cu profunda noastră recunoștință celor mai ilustre personalități ale istoriei noastre contemporane, cărora spre binele națiunii le dorim ani mulți, sănătate și fericire.

ROXANA DEZIDERATU,
secretara Comitetului U.T.C.,
Școala Generală nr. 85



INIȚIERE ÎN RADIOELECTRONICĂ

CALCULUL TRANSFORMATOARELOR

(URMARE DIN NR. TRECUT)

Prima etapă constă în a determina puterea maximă transferată în sarcină de către înfășurarea secundară:

$$P_2 = U_2 \cdot I_2 \quad (1)$$

unde U_2 se exprimă în volți și I_2 în amperi (ambele valori eficiente), rezultând P_2 în wați.

Dacă transformatorul este prevăzut cu mai multe înfășurări secundare ($U_2 - I_2$, $U_2' - I_2'$ etc.) care trebuie să funcționeze sau să poată funcționa simultan la capacitatea maximă, puterea totală P_2 se calculează prin însumarea tuturor produselor de forma (1), adică:

$$P_2 = U_2 \cdot I_2 + U_2' \cdot I_2' + \dots \quad (2)$$

Dacă avem mai multe înfășurări secundare, care însă vor funcționa „pe rând” (câte una singură o dată), vom considera drept P_2 pe cel mai mare dintre aceste produse.

Pasul următor îl constituie aprecierea randamentului de transfer. Întotdeauna energia este transferată din primar în secundar cu anumite pierderi (în miezul magnetic, în conductoarele de bobinaj, prin radiație etc.), deci randamentul transformării este inevitabil subunitar. Pentru materialele feromagnetice uzuale, cu respectarea orientativă a modului de calcul descris, se poate conta în medie pe un randament de oca 80%, adică:

$$\eta = \frac{P_2}{P_1} \approx 0,80$$

de unde deducem o altă mărime importantă — puterea absorbită în primar:

$$P_1 \approx 1,25 \cdot P_2 \quad (3)$$

Dacă miezul disponibil este mai bun (permeabilitate magnetică mai mare), cu atât mai bine; va rezulta o ușoară supradimensionare care conferă transformatorului o mai mare siguranță în exploatare. Între noi fie vorba, puțini sînt însă constructorii amatori care, o dată cu procurarea unui pachet de tole, mai au și curiozitatea sau posibilitatea să-i determine permeabilitatea magnetică.

Pentru transformatoarele de rețea, tensiunea primară U_1 este și ea cunoscută, teoretic, $U_1 = 220$ V (valoarea eficientă). Ne bazăm și aici pe medie (media valorilor eficiente, desigur), fluctuațiile inevitabile nefiind, în general, semnificative. Pentru consumatorii mai pretențioși se poate pune problema stabilizării tensiunii secundare, de care nu ne ocupăm în prezentul articol.

Din expresia (3) și valoarea cunoscută U_1 , deducem curentul maxim absorbit de primar:

$$I_1 = \frac{P_1}{U_1} \approx \frac{1,25 \cdot P_2}{220 \text{ V}} \quad (4)$$

Este vorba, desigur, de maximumul valorii eficiente; repetăm tocmai pentru ca începătorii care au auzit de valori medii, maxime și eficiente să nu facă vreo confuzie.

În majoritatea cazurilor, amatorii își construiesc transformatoarele folosind ca miez magnetic pachete de tole de tip E-I din fier-siliciu, montate întrețesut (o tolă E introdusă pe o parte a carcasei, următoarea pe partea cealaltă ș.a.m.d., l-urile ocupînd spațiile rămase libere). La un astfel de miez pot fi de-

terminate cu ușurință două mărimi caracteristice și anume aria secțiunii transversale, S și aria ferestrei, F . Pentru precizarea acestor mărimi, în figura alăturată este redată o vedere în perspectivă a pachetului de tole de tip E. Aria S reprezintă produsul dintre grosimea pachetului și lățimea elementului central al tolei E, exprimat în centimetri pătrați, iar aria ferestrei, F , produsul dintre înălțimea elementului central al tolei E și distanța de la acesta la un element lateral, exprimat în milimetri pătrați.

Pentru a accepta puterea primară P_1 , fără pierderi substanțiale în miezul magnetic, pachetul de tole trebuie să aibă o arie a secțiunii transversale cel puțin egală cu:

$$S = \sqrt{P_1} \quad (5)$$

unde S este în centimetri pătrați și P_1 în wați. O marjă de siguranță de 10—20%, atunci cînd e posibil, este foarte bine venită și nu conduce la o supradimensionare supărătoare.

La rîndul ei, secțiunea transversală a miezului, astfel calculată, determină numărul (minim acceptabil) de spire pe volt din înfășurări. Pe baza experienței acumulate, se consideră ca optimă pentru înfășurarea primară (pentru tole de calitate medie) valoarea:

$$n_1 = \frac{55}{S} \quad (6)$$

(n_1 — în spire pe volt, S — în centimetri pătrați, iar 55 — o constantă empirică).

Datorită pierderilor suplimentare sub forma căderii de tensiune pe conductoarele de bobinaj, mai ales la curenți mari, numărul de spire pe volt din înfășurarea secundară poate fi majorat cu pînă la 10%, adică se poate lua:

fără izolator, în mm^2).

Pentru transformatoarele mici, care beneficiază de o răcire mai slabă a înfășurărilor, se admite în general o densitate de curent j de 2—2,5 A/mm². În cazul înfășurărilor secundare cu spire puține, plasate la exteriorul carcasei, se pot lua și valori de 3, chiar 3,5 A/mm², fără riscul unei încălziri periculoase (dar cu cădere de tensiune mai accentuată la curenți mari). Considerînd o valoare medie de 2,5 A/mm², diametrul conductoarelor (fără izolator) rezultă:

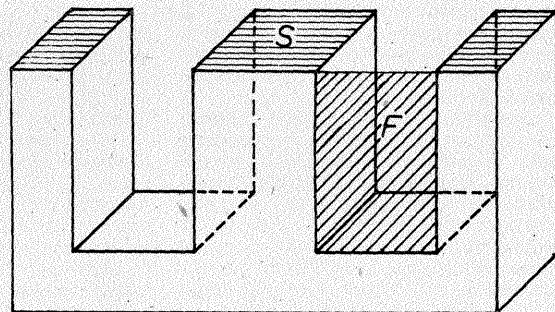
$$d = \sqrt{\frac{4s}{\pi}} = \sqrt{\frac{4I}{\pi j}} \approx 0,71 \cdot \sqrt{I} \quad (10)$$

Pentru înfășurările interioare cu număr mare de spire (care nu beneficiază de o răcire eficientă) se poate lua acoperitor

$$d = 0,8 \cdot \sqrt{I} \quad (11)$$

În relațiile (10) și (11) d reprezintă diametrul conductorului considerat fără izolator, iar I intensitatea maximă a curentului (eficientă) care urmează să străbată înfășurarea respectivă.

Urmează o etapă neglijată adeseori de constructorii începători, anume aceea de a verifica dacă înfășurările necesare (calculate) încap în fereastra miezului pe care vrem să-l utilizăm. În acest scop se calculează aria totală ocupată efectiv de secțiunile transversale ale conductoarelor din toate înfășurările. La secțiunea spiralelor se va ține cont de diametrul conductorului incluzînd și izolatorul, d_{iz} ($s_{iz} \approx 0,8 \cdot d_{iz}^2$). Se înmulțesc numerele de spire cu secțiunile corespunzătoare și se adună pentru toate în-



CARACTERISTICI ALE CONDUCTOARELOR DE BOBINAJ (CuEm)

| d (mm) | d _{iz} (mm) | Rezistența specifică (Ω/m) | I _{max} (mA) la densit. de curent | | | n ₁ (spire/cm) |
|--------|----------------------|----------------------------|--|-------------------------|-----------------------|---------------------------|
| | | | j=2 A/mm ² | j=2,5 A/mm ² | j=3 A/mm ² | |
| 0,10 | 0,123 | 2,21 | 15,7 | 19,6 | 23,6 | 80 |
| 0,12 | 0,149 | 1,537 | 22,6 | 27,3 | 34 | 66 |
| 0,15 | 0,19 | 0,983 | 35,3 | 44,2 | 53 | 55 |
| 0,18 | 0,21 | 0,682 | 51 | 63,7 | 76,5 | 47,5 |
| 0,20 | 0,231 | 0,552 | 62,9 | 78,6 | 94,3 | 43,4 |
| 0,22 | 0,255 | 0,457 | 76 | 95 | 114 | 39,2 |
| 0,25 | 0,285 | 0,354 | 98 | 123 | 147 | 35 |
| 0,28 | 0,317 | 0,282 | 122 | 154 | 185 | 31,5 |
| 0,30 | 0,337 | 0,245 | 141 | 177 | 212 | 29,6 |
| 0,35 | 0,394 | 0,1806 | 192 | 240 | 289 | 25,3 |
| 0,40 | 0,444 | 0,1383 | 252 | 315 | 378 | 22,5 |
| 0,45 | 0,501 | 0,1092 | 318 | 398 | 477 | 19,9 |
| 0,50 | 0,551 | 0,0885 | 392 | 490 | 590 | 18,1 |
| 0,55 | 0,609 | 0,0731 | 475 | 594 | 713 | 16,4 |
| 0,60 | 0,659 | 0,0615 | 566 | 707 | 848 | 15,1 |
| 0,65 | 0,709 | 0,0524 | 662 | 838 | 993 | 14,1 |
| 0,70 | 0,759 | 0,0452 | 770 | 960 | 1150 | 13,1 |
| 0,75 | 0,81 | 0,0394 | 882 | 1110 | 1331 | 12,3 |
| 0,80 | 0,872 | 0,0346 | 1000 | 1256 | 1510 | 11,4 |
| 0,85 | 0,911 | 0,0306 | 1140 | 1420 | 1700 | 11,0 |
| 0,90 | 0,972 | 0,0274 | 1270 | 1590 | 1910 | 10,2 |
| 0,95 | 1,022 | 0,0245 | 1420 | 1775 | 2130 | 9,8 |
| 1,0 | 1,087 | 0,0221 | 1570 | 1960 | 2360 | 9,3 |
| 1,2 | 1,291 | 0,0154 | 2260 | 2730 | 3400 | 7,7 |
| 1,4 | 1,493 | 0,01128 | 3080 | 3850 | 4620 | 6,7 |
| 1,5 | 1,595 | 0,00984 | 3530 | 4420 | 5300 | 6,2 |
| 1,6 | 1,696 | 0,00865 | 4020 | 5025 | 6030 | 5,9 |
| 1,8 | 1,898 | 0,00684 | 5100 | 6370 | 7650 | 5,27 |
| 2,0 | 2,1 | 0,00556 | 6290 | 7860 | 9430 | 4,75 |

Pagini realizate de fiz. A. MĂRCULESCU

$$n_2 \approx 1,1 \cdot n_1 \quad (7)$$

Cunoscînd tensiunile U_1 și U_2 , ca și numerele de spire pe volt n_1 și n_2 , putem acum determina numerele de spire N_1 și N_2 din primar, respectiv din secundar:

$$N_1 = n_1 \cdot U_1; \quad N_2 = n_2 \cdot U_2 \quad (8)$$

Etapă următoare o constituie alegerea diametrelor minime pentru conductoarele de bobinaj. De la început precizăm că în această privință orice supradimensionare este bine venită din toate punctele de vedere, cu excepția considerentelor de gabarit și de cost. Diametrele minime sînt determinate, cum e și firesc, de valorile maxime ale curenților ce vor străbate înfășurările, factorul limitant constituindu-l densitatea de curent maximă admisă pentru pierderi neglijabile,

$$j = \frac{I}{s} \quad (9)$$

(j — în A/mm²; I — în A; s — aria secțiunii transversale a conductorului

înfășurările. Rezultatul astfel obținut se înmulțește cu 2,5—3, pentru a ține cont de spațiile goale dintre spire, de spațiile ocupate de carcasa, de hirtia izolatoare dintre straturi etc. Pachetul de tole ales trebuie să aibă aria ferestrei F mai mare sau egală cu valoarea calculată mai sus.

În încheiere, prezentăm un tabel cuprinzînd principalele mărimi caracteristice ale conductoarelor de bobinaj (CuEm), pentru diametrele uzuale.

AVERTIZOR

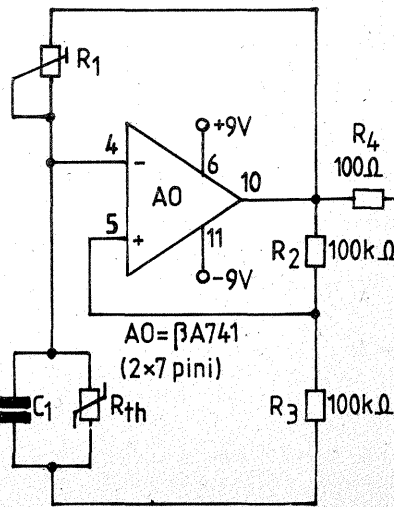
În numeroase situații practice este util să dispunem de un circuit care să ne avertizeze sonor atunci când temperatura într-o anumită încăpere) a scăzut sub o valoare de prag prestabilită. Această problemă poate fi rezolvată foarte simplu și suficient de precis apelând la cunoscutul oscilator de relaxare realizat, de exemplu, cu un amplificator operațional.

Schema de principiu a unui astfel de montaj este dată în figura 1. Se poate folosi practic orice termistor (R_{th}) cu coeficient negativ de temperatură, cu valoarea nominală între 2 k Ω și 200 k Ω . În funcție de acesta și de pragul de temperatură dorit se alege valoarea trimmerului R_1 , care servește la stabilirea pragului (amorsarea oscilației în momentul scăderii temperaturii sub prag). Condensatorul C_1 poate avea valori de zeci pînă la sute de nanofarazi, urmărindu-se obținerea unui ton cît mai strident, pentru a fi ușor perceput.

Principiul de funcționare a fost descris pe larg în cadrul grupajului „Aplicații AO”. Pe scurt, oscilația circuitului amorsează în momentul în care valoarea lui R_{th} depășește cu foarte puțin (cca 1%) valoarea reglată a lui R_1 . La scăderea temperaturii (în încănta în care este plasat termistorul), rezistența ohmică a acestuia crește, depășind la un mo-

ment dat pe R_1 , și oscilația amorsează.

Deși simplă și eficientă, schema are două neajunsuri care îi limitează aplicabilitatea: necesitatea

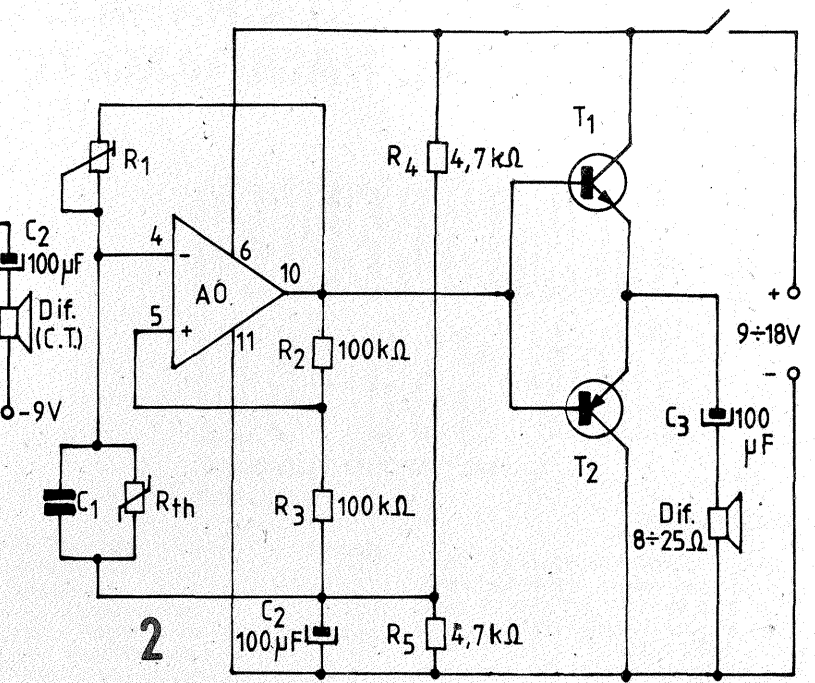


unei surse diferențiale de alimentare ($\pm 5 V \div \pm 15 V$, necritică), pe de o parte, și puterea redusă debitată în difuzor sau cască, pe de altă parte. Ambele inconveniente se înlătură însă simultan dacă vom com-

trata timp realizat cu tranzistoarele T_1, T_2 (de exemplu, AC181—AC180). Cele două soluții pot rezolva la fel de bine și problema avertizării la depășirea unui anumit prag de temperatură prestabilit; este suficient să se înlocuiască reciproc pozițiile elementelor R_1 și R_{th} .

contratimp realizat cu tranzistoarele T_1, T_2 (de exemplu, AC181—AC180).

Cele două soluții pot rezolva la fel de bine și problema avertizării la depășirea unui anumit prag de temperatură prestabilit; este suficient să se înlocuiască reciproc pozițiile elementelor R_1 și R_{th} .



OHMMETRU LINIAR

Printre multiplele variante de ohmmetre liniare ce pot fi realizate cu un amplificator operațional de uz curent se numără și schema alăturată, avantajoasă îndeosebi în cazul măsurării rezistențelor mici (pînă la cca 100 m Ω la cap de scală). Exemplul numeric a fost calculat pentru un instrument indicator cu 1 mA la cap de scală și pentru cinci domenii de măsurare, între 100 m Ω și 10 k Ω , dar schema poate fi ușor adaptată pentru alte sensibilități ale instrumentului, respectiv alte domenii de măsurare dorite.

Schema se compune din două blocuri distincte, anume un generator de curent constant (realizat cu tranzistorul T_1 și piesele aferente), care debitează pe rezistența necunoscută R_x , și un milivoltmetru c.c. (operaționalul cu piesele aferente), care măsoară căderea de tensiune produsă de acest curent la bornele lui R_x .

Operaționalul ($\beta A741$ sau similar) lucrează în configurație de amplificator neînversor de tensiune continuă, cu câștigul de cca 100 ($1 + R_9/R_{10}$). Grupul $R_{12} + R_{13}$, plasat la ieșire, se calibrează la etalonare la 1 k Ω , deci pentru ca instrumentul de 1 mA să indice la cap de scală, tensiunea de ieșire trebuie să fie de 1 k $\Omega \cdot 1 mA = 1 V$, respectiv tensiunea de intrare trebuie să fie de cca 1 V : 100 = 10 mV.

Generatorul de curent utilizează tranzistorul T_1 în montaj repetor pe emitor, potențialul bazei fiind stabilit la cca 5,6 V cu ajutorul diodei Zener, DZ. Prin urmare se obține în emitor un potențial constant de cca 5 V. Această tensiune stabilizată alimentează rezistența R_x prin intermediul uneia dintre rezistențele $R_3 \div R_8$, care dictează practic curentul prin R_x (pentru fiecare domeniu în parte, rezistența adițională corespunzătoare este mult mai mare ca R_x). Acest aranjament s-a

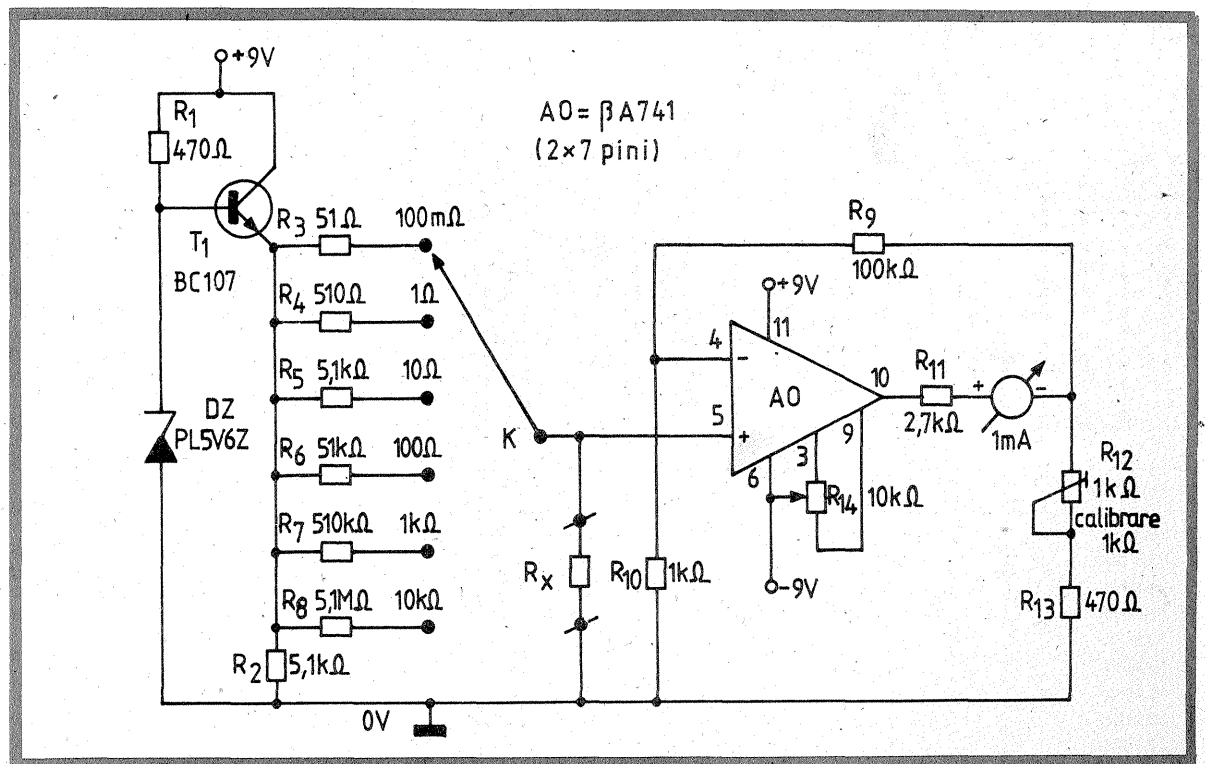
făcut pentru a obține variații nesemnificative ale curentului prin R_x (mai mici de $\pm 0,2\%$) atunci cînd rezistența necunoscută variază de la zero la valoarea corespunzătoare capului de scală, pe fiecare domeniu în parte.

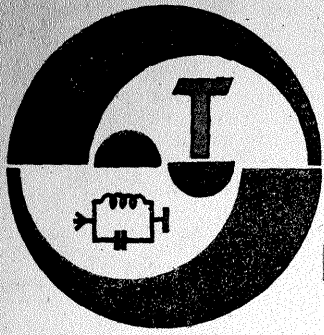
Masa sursei diferențiale de $\pm 9 V$ care alimentează milivoltmetrul se va lega direct la generatorul de curent constant, ca o măsură de precauție pentru diminuarea căderilor de tensiune parazite pe firele milivoltmetrului.

Etalonarea aparatului se realizează folosind rezistențe R_x cunoscute și acționînd corespunzător asupra elementelor semireglabile R_{14} și R_{12} . Pentru început se trece comutatorul K pe domeniul de 10 Ω , se scurtcircuitază bornele R_x și se aduce acul instrumentului la zero din R_{14} (reglajul de offset). Înălăturînd scurtcircuitul la R_x , acul trebuie să devieze peste capul de scală. Operația nu este periculoasă pentru timp scurt, grație limitărilor asigurate de R_{11}, R_{12} și R_{13} , în serie cu instrumentul. Se scurtcircuitază din nou bornele R_x , se trece comutatorul K pe domeniul de 100 m Ω și se urmărește obținerea unei deviații minime a acului, prin rețușarea fină a poziției lui R_{14} . Practic trebuie să obținem o citire mai mică

de 2 m Ω . Dacă acest lucru nu este posibil, înseamnă că firul conductor 0 V a fost prost conectat sau avem rezistențe semnificative în bornele scurtcircuitate.

Etalonarea propriu-zisă se poate efectua pe un singur domeniu, bineînțeles dacă s-au folosit rezistoare de precizie în grupul $R_2 \div R_8$. De exemplu, cu comutatorul K pe domeniul 1 k Ω , se montează $R_x = 1 k\Omega (\pm 1\%)$ și se reglează indicația acului la cap de scală din trimmerul R_{12} .





EQ-40

DIN LUCRĂRILE SIMPOZIONULUI NAȚIONAL
AL RADIOAMATORILOR — CRAIOVA 1986

TRANSCEIVER TR4-SSB-CW

CONSTANTIN TUDOSIE,
YO7AOT

RECEPTORUL

- Dublă schimbare de frecvență
 - prima medie frecvență variabilă de la 6 ± 6,5 MHz
 - a doua medie frecvență fixă pe 500 kHz
- Sensibilitatea — 0,2 μV pentru un semnal S9
- Selectivitatea — 3 kHz pentru SSB (ØEM-500)
 - 0,6 kHz pentru CW (EMØ-0,6 C)
- Stabilitatea — cca 150 Hz/h
- Scala — cu afișaj electronic având rezoluția sute de hertzi
- Două VFO-uri încorporate
- Atenuator cu reglaj continuu la intrare pentru cca 40 dB
- Calibrător — cu cristal pe 100.000 kHz
- RIT — cu variație de frecvență ±2 kHz
- Sistem CAA — cu constantă lentă sau rapidă
- Audio — 3 W/8 Ω

EMITĂTORUL

- Benzile de lucru — 3,5; 7; 10; 14; 18; 21; 24; 28; 28,5 MHz
- Modul de lucru — SSB și CW
- Puterea — pentru lucru staționar 100 W sau 3 W folosind alimentatorul
 - pentru lucru portabil 3 W la 12 V sau 8 W la 22 V (baterii)

| B1 | B2 | B3 | C | CT | Sirmă | Ø carcasă | Bandă |
|----|----|-------|-----|----|-------|-----------|-------|
| 10 | 33 | 20-13 | 130 | — | 0,3 | 10 | 3,5 |
| 5 | 13 | 8-5 | 200 | — | 0,4 | 10 | 7 |
| 5 | 14 | 9-5 | 100 | 40 | 0,4 | 10 | 10 |
| 3 | 10 | 7-3 | 62 | 40 | 0,4 | 10 | 14 |
| 3 | 9 | 6-3 | 51 | 25 | 0,6 | 8 | 18 |
| 3 | 9 | 6-3 | — | 40 | 0,6 | 8 | 21 |
| 3 | 8 | 5-3 | — | 40 | 0,6 | 7 | 24 |
| 3 | 7 | 4-3 | — | — | 0,6 | 7 | 28 |
| 3 | 7 | 4-3 | — | 25 | 0,6 | 7 | 28,5 |

| Frecvența | C | CT | |
|-----------|-------|----|----|
| 10 MHz | 240 | 40 | F |
| 13,5 MHz | 180 | 40 | F |
| 4 MHz | 1,2 N | 40 | F |
| 8 MHz | 300 | 40 | F |
| 12 MHz | 200 | 40 | F |
| 15 MHz | 100 | 40 | A3 |
| 18 MHz | 75 | 40 | F |
| 22 MHz | 51 | 40 | A3 |
| 22,5 MHz | 33 | 40 | A3 |

- Monitor — care permite vizualizarea semnalului la ieșirea transceiverului
- Voltmetrul — cu afișaj care măsoară toate tensiunile de alimen-

- VOX — care comută automat la voce sau manipulație transceiverul pe emisie
- Generator — pentru controlul în cască sau difuzor atunci când se lucrează în telegrafie
- Mufe — pentru înregistrare pe bandă magnetică, cit și pentru lucru în RTTY.

În figura 1 este prezentată schema-bloc a transceiverului TR4-SSB-CW. Semnalul din antenă intră prin borna QRP sau QRO și, cu ajutorul releelor RL1 sau RL3 care sînt în poziție „normal închis”, ajunge la amplificatorul de radiofrecvență ARF.

Aici este amplificat și redat primul mixer MX1 în care ajunge și semnalul de la oscilatorul cu cristale OSC. După o primă mixare, toate benzile de radioamatori de US sînt transpuse într-o medie frecvență variabilă între 6 ± 6,5 MHz (MF1). Semnalul variabil se aplică la mixerul MX2 care împreună cu VFO sau VFOB se transformă într-o medie frecvență de 500 kHz (MF2), egală cu frecvența filtrelor de SSB și CW. Cu ajutorul unui releu miniatură care în poziție „normal închis” alege calea R (recepție), semnalul de 500 kHz este aplicat primului amplificator AFI1, trece prin filtrul SSB ØEM-500 și este din nou amplificat de AFI2, AFI3, AFI4. Așa cum se observă din schema-bloc, între etajele AFI3 și AFI4 se găsește filtrul de telegrafie EMØ-0,6 C care poate fi conectat sau deconectat. Detectorul de produs D formează semnalul audio, care prin

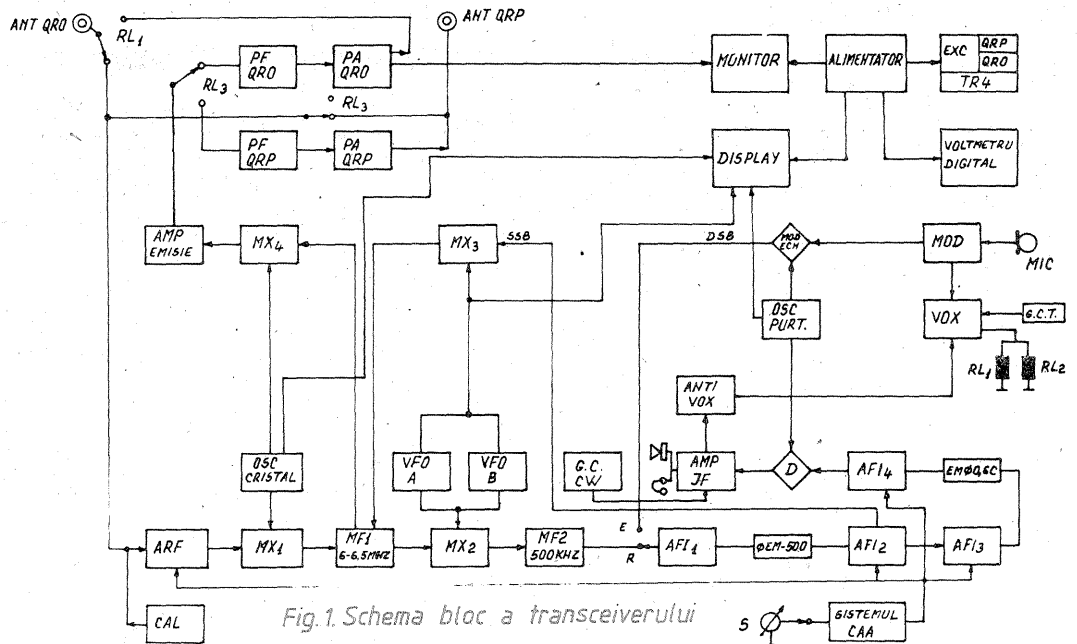


Fig. 1. Schema bloc a transceiverului

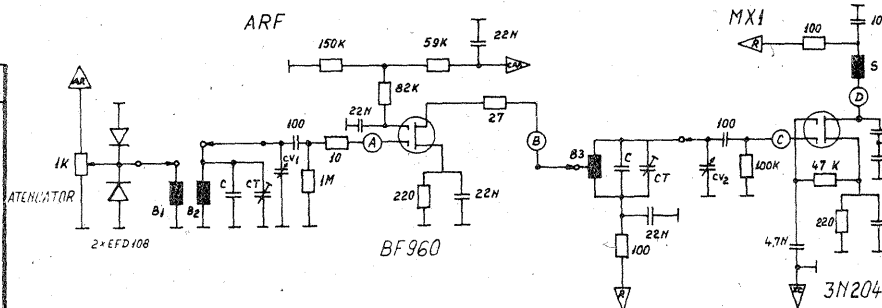
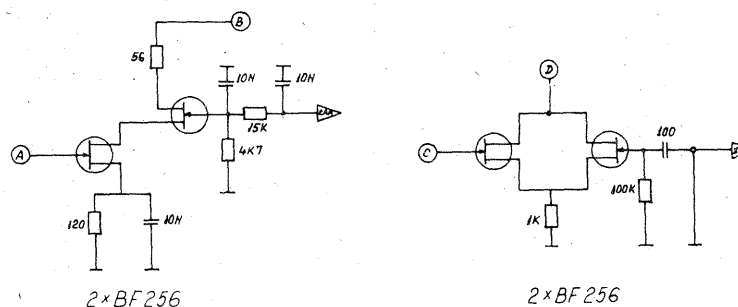


Fig. 2. Amplificatorul DERF și mixerul I la recepție



amplificatorul de joasă frecvență AMP JF se ridică la cca 3 W.

Etajele ARF, AF12, AF13, AF14 se găsesc sub controlul automat al amplificării CAA cu constantă lentă sau rapidă.

Sistemul CAA poate fi și deconectat, iar în acest caz reglarea amplificării se face manual.

Citirea intensității semnalului se face pe scala S a unui miliampermetru cu mai multe funcțiuni, montat pe panoul frontal.

Pentru evitarea pornirilor instantanee ale transeiverului pe emisie, la semnale puternice din difuzor, la ieșirea lui AMP JF este un etaj ANTI VOX ce transformă semnalul audio în tensiune continuă și se aplică la VOX pentru blocarea acestuia în pauze de emisie.

Pentru situații deosebite se poate folosi calibratorul CAL cu frecvența de 100.000 kHz.

Citirea frecvenței de lucru a lui TR4-SSB-CW se face pe DISPLAY cu rezoluția de sute de hertzi.

grafic G.C.W, iar pentru pornirea automată a VOX-ului se comută generatorul de comandă telegrafic G.C.T.

Instrumentul de măsură S se poate comuta pe trei poziții:

- 1 — citirea curentului anodic de la QRO
- 2 — citirea tensiunii de RF din antenă
- 3 — citirea intensității semnalului la recepție „S”.

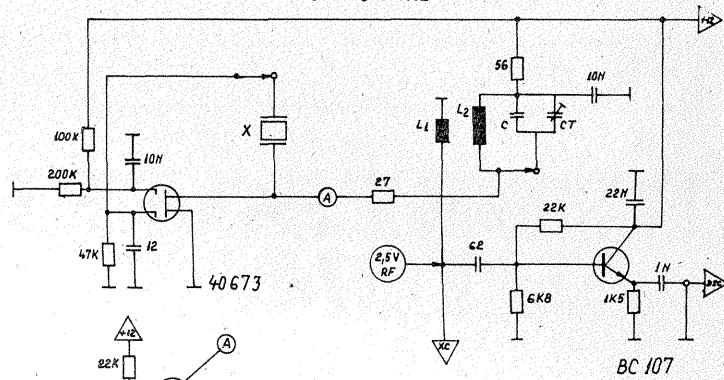
AMPLIFICATORUL DE RF ȘI MIXERUL 1 LA RECEPȚIE

Sînt prezentate în figura 2 și sînt formate din două etaje: un amplificator de radiofrecvență ARF cu MOSFET de tipul BF960 și un mixer cu MOSFET de tipul 3N204.

Semnalul din antenă se aplică pe borna AR a unui potențiomtru cu buton pe panoul frontal și care asigură o atenuare cu reglaj continuu de cca 40 dB.

Pe cursorul potențiomtrului apar

OSC CRISTAL



| X MHZ | BANDA MHZ |
|-------|-----------|
| 10 | 3,5 |
| 13,5 | 7 |
| 4 | 10 |
| 8 | 14 |
| 12 | 18 |
| 15 | 21 |
| 18 | 24 |
| 22 | 28 |
| 22,5 | 28,5 |

Fig.3. Oscilatorul cu cristal

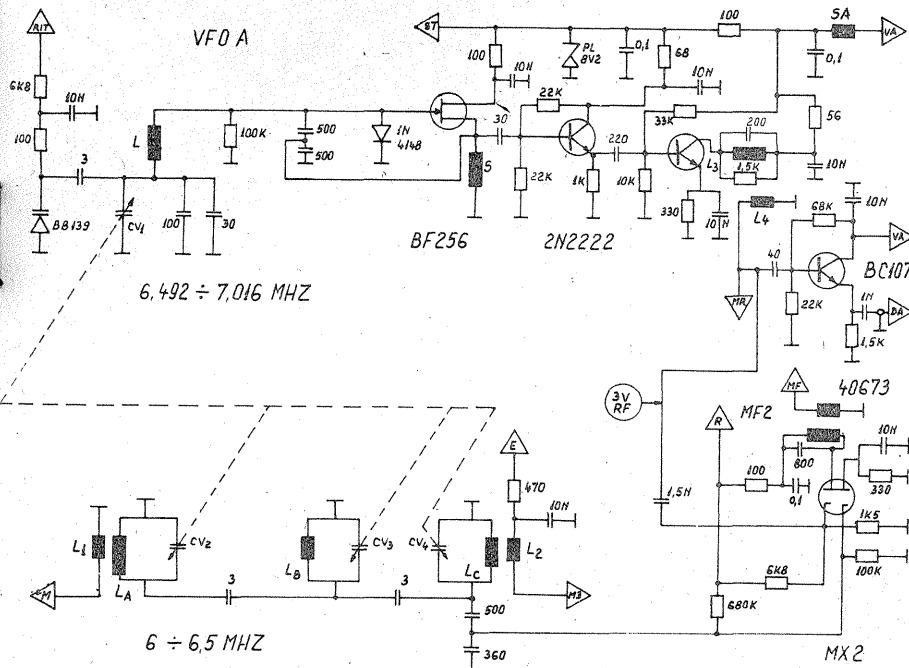


Fig.4. VFO A și mixerul 2 la recepție

La emisie, semnalul audio provenit din MIC intră în modulatorul MOD și de aici se împarte în două căi: una spre VOX și alta spre modulatorul MOD ECH. La ieșirea din MOD ECH se obține semnalul DSB, care ajunge la releu pe borna E (emisie) și se aplică etajului AF11. De fapt, etajele AF11 și AF12 sînt comune la recepție și emisie. Astfel, la ieșirea lui AF12 se obține semnalul SSB cu frecvența de 500 kHz ce se aplică lui MX3, care, ajutat de VFOA sau VFOB, îl transformă într-o medie frecvență variabilă de la 6 la 6,5 MHz.

Semnalul variabil ajunge în MX4, unde se mixează cu OSC și dă la ieșire toate benzile de radioamatori în US.

După mixerul MX4 este un amplificator acordat pe toate benzile a cărui ieșire se duce la RL3.

De aici, la alegere, după modul de lucru portabil sau staționar, se folosesc fie prefinalul PFQRP și finalul QRP sau prefinalul PFQRO și finalul QRO cu ajutorul lui RL3.

Pentru vizualizarea semnalului la ieșire se folosește MONITORUL. Voltmetrul digital măsoară toate tensiunile de alimentare provenite din alimentator.

Alimentatorul se folosește pentru lucrul în staționar cu putere QRO de 100 W sau QRP de 3 W.

În portabil cu alimentare din baterii nu este necesar alimentatorul. Releul RL1 comută antena pe emisie sau recepție, iar RL2 comută transeiverul de pe recepție pe emisie.

Pentru autocontrol, în timpul emisie în telegrafie se comută automat generatorul de control tele-

grafic G.C.W, iar pentru pornirea automată a VOX-ului se comută generatorul de comandă telegrafic G.C.T.

Instrumentul de măsură S se poate comuta pe trei poziții:

1 — citirea curentului anodic de la QRO
2 — citirea tensiunii de RF din antenă
3 — citirea intensității semnalului la recepție „S”.

AMPLIFICATORUL DE RF ȘI MIXERUL 1 LA RECEPȚIE

Sînt prezentate în figura 2 și sînt formate din două etaje: un amplificator de radiofrecvență ARF cu MOSFET de tipul BF960 și un mixer cu MOSFET de tipul 3N204.

Semnalul din antenă se aplică pe borna AR a unui potențiomtru cu buton pe panoul frontal și care asigură o atenuare cu reglaj continuu de cca 40 dB.

Pe cursorul potențiomtrului apar

- 1 — citirea curentului anodic de la QRO
- 2 — citirea tensiunii de RF din antenă
- 3 — citirea intensității semnalului la recepție „S”.

OSCILATORUL CU CRISTAL

Este prezentat în figura 3 și folosește un tranzistor de tipul 40673, iar la ieșire are un repetor pe emitor cu BC107. Dintre schemele experimentate pentru acest oscilator am optat asupra a două tipuri, dintre care: unul cu MOSFET și altul cu BF180. La schema cu MOSFET am reușit să obțin cam același nivel al semnalului de ieșire pentru toate cuarțurile, adică 2,5 V RF ±0,2 V abatere. La varianta cu BF180 nivelul este de cca 2 V cu ±0,5 V abatere. La montarea definitivă a transeiverului aceste niveluri nu afectează puterea totală de ieșire pe emisie, iar la recepție nu se observă modificări față de montajul cu MOSFET.

Oscilatorul este de tipul cu circuit de ieșire acordat pe fundamentala cuarțului sau pe armonica A3, conform tabelului 2. Circuitul acordat de ieșire este format din bobina L2, care este unică, iar schimbarea frecvenței se face prin comutarea capacităților C și CT.

Pentru îmbunătățirea formei semnalului la ieșire am slăbit cuplajul drenii cu circuitul acordat prin montarea unei rezistențe de 27 Ω.

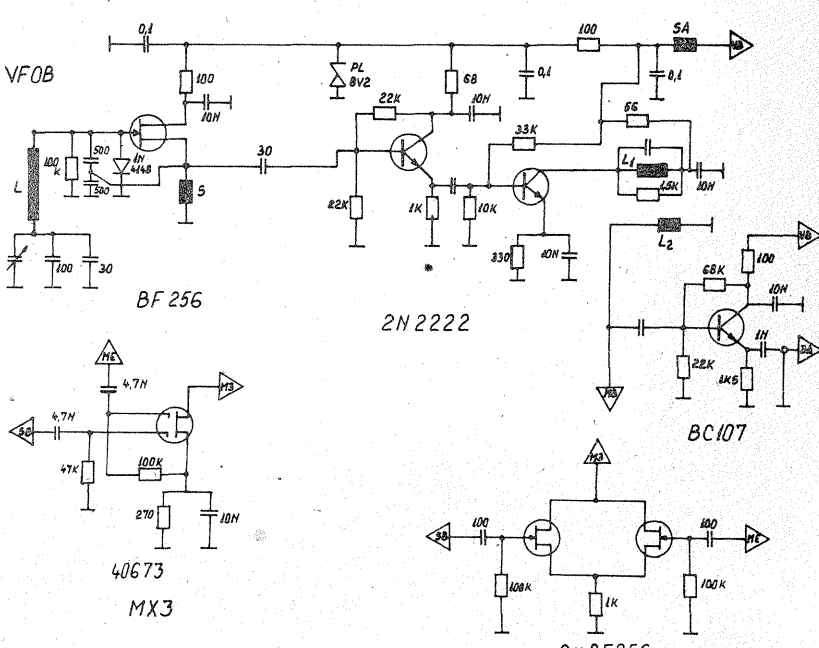


Fig.5. VFOB și mixerul 3 la emisie

La emisie, semnalul audio provenit din MIC intră în modulatorul MOD și de aici se împarte în două căi: una spre VOX și alta spre modulatorul MOD ECH. La ieșirea din MOD ECH se obține semnalul DSB, care ajunge la releu pe borna E (emisie) și se aplică etajului AF11. De fapt, etajele AF11 și AF12 sînt comune la recepție și emisie. Astfel, la ieșirea lui AF12 se obține semnalul SSB cu frecvența de 500 kHz ce se aplică lui MX3, care, ajutat de VFOA sau VFOB, îl transformă într-o medie frecvență variabilă de la 6 la 6,5 MHz.

Semnalul variabil ajunge în MX4, unde se mixează cu OSC și dă la ieșire toate benzile de radioamatori în US.

După mixerul MX4 este un amplificator acordat pe toate benzile a cărui ieșire se duce la RL3.

De aici, la alegere, după modul de lucru portabil sau staționar, se folosesc fie prefinalul PFQRP și finalul QRP sau prefinalul PFQRO și finalul QRO cu ajutorul lui RL3.

Pentru vizualizarea semnalului la ieșire se folosește MONITORUL. Voltmetrul digital măsoară toate tensiunile de alimentare provenite din alimentator.

Alimentatorul se folosește pentru lucrul în staționar cu putere QRO de 100 W sau QRP de 3 W.

În portabil cu alimentare din baterii nu este necesar alimentatorul. Releul RL1 comută antena pe emisie sau recepție, iar RL2 comută transeiverul de pe recepție pe emisie.

Pentru autocontrol, în timpul emisie în telegrafie se comută automat generatorul de control tele-

grafic G.C.W, iar pentru pornirea automată a VOX-ului se comută generatorul de comandă telegrafic G.C.T.

Instrumentul de măsură S se poate comuta pe trei poziții:

- 1 — citirea curentului anodic de la QRO
- 2 — citirea tensiunii de RF din antenă
- 3 — citirea intensității semnalului la recepție „S”.

AMPLIFICATORUL DE RF ȘI MIXERUL 1 LA RECEPȚIE

Sînt prezentate în figura 2 și sînt formate din două etaje: un amplificator de radiofrecvență ARF cu MOSFET de tipul BF960 și un mixer cu MOSFET de tipul 3N204.

Semnalul din antenă se aplică pe borna AR a unui potențiomtru cu buton pe panoul frontal și care asigură o atenuare cu reglaj continuu de cca 40 dB.

Pe cursorul potențiomtrului apar

- 1 — citirea curentului anodic de la QRO
- 2 — citirea tensiunii de RF din antenă
- 3 — citirea intensității semnalului la recepție „S”.

OSCILATORUL CU CRISTAL

Este prezentat în figura 3 și folosește un tranzistor de tipul 40673, iar la ieșire are un repetor pe emitor cu BC107. Dintre schemele experimentate pentru acest oscilator am optat asupra a două tipuri, dintre care: unul cu MOSFET și altul cu BF180. La schema cu MOSFET am reușit să obțin cam același nivel al semnalului de ieșire pentru toate cuarțurile, adică 2,5 V RF ±0,2 V abatere. La varianta cu BF180 nivelul este de cca 2 V cu ±0,5 V abatere. La montarea definitivă a transeiverului aceste niveluri nu afectează puterea totală de ieșire pe emisie, iar la recepție nu se observă modificări față de montajul cu MOSFET.

Oscilatorul este de tipul cu circuit de ieșire acordat pe fundamentala cuarțului sau pe armonica A3, conform tabelului 2. Circuitul acordat de ieșire este format din bobina L2, care este unică, iar schimbarea frecvenței se face prin comutarea capacităților C și CT.

Pentru îmbunătățirea formei semnalului la ieșire am slăbit cuplajul drenii cu circuitul acordat prin montarea unei rezistențe de 27 Ω.

(CONTINUARE ÎN PAG. 23)

REDRESOARE AUTOMATE

Dr. ing. IOSIF LINGVAY, YOSAVN,
electronist CAROL ZÉKÁNY

După cum este cunoscut, factorii principali care duc la distrugerea bateriilor de acumuloare, în special a celor ce intră în echiparea autovehiculelor, sînt:

— balanța energetică deficitară, fără încărcare exterioară suplimentară;

— suprasolicitarea în timpul pornirilor de motoare reci, în special iarna.

Aceste deficiențe se înlătură aproape total prin:

— încărcarea suplimentară a bateriei, utilizînd un redresor alimentat de la rețea;

— reglarea corectă a regulatorului de curent de pe automobil;

— utilizarea unui redresor legat în paralel pe bornele acumulatorului pentru pornirile motoarelor reci pe timp de iarnă.

În cele ce urmează se dau cîteva soluții constructive de încărcătoare de acumuloare, urmînd ca acei interesați să-și construiască varianta potrivită, în funcție de destinație și posibilitățile materiale.

În figura 1 se prezintă un redresor simplu, fără decuplarea curentului de încărcare a bateriei și fără posibilități de citire și reglare a curentului de încărcare. Utilizarea acestui tip de încărcător este recomandabilă pentru încărcări de corecție de scurtă durată, cu urmărirea permanentă a comportării electrolitului din celulele acumulatorului (la „fierberea” electrolitului se întreprinde încărcarea), precum și ca redresor ajutător la pornirile motoarelor reci pe timp de iarnă.

Transformatorul Tr. va fi de 250 VA și 2 x 12 V în secundar pentru varianta constructivă pentru autoturisme și de minimum 500 VA și 2 x 24 V în secundar pentru autocamioane cu instalația electrică de 24 V. Diodele redresoare D₁—D₂ vor fi de tipul D5N05 sau echivalente pentru autoturisme, respectiv KS1060, KU290 pentru autocamioane. Desigur, montajul se poate realiza și cu transformator fără priză mediană, dar în acest caz se va utiliza un redresor dublă-alternanță în punte, așa cum ilustrează figura 2. Diodele vor fi din seria celor de 40 ÷ 50 A, montate pe radiator suficient de mare.

Aceste redresoare (fig. 1—2) se utilizează cu precădere pe timp de iarnă la pornirea motoarelor reci, pentru protejarea bateriilor la suprasolicitare la curent. La redresoare se montează cabluri de legătură cu secțiunea de cel puțin 6 mm². Redresorul se leagă în paralel pe baterie, se lasă să se încarce bateria 10 ÷ 20 de minute, după care se pornește motorul „la cheie”. După pornirea motorului, la 2 ÷ 5 minute se oprește redresorul și se scot cablurile de legătură și cordo-nul din priză.

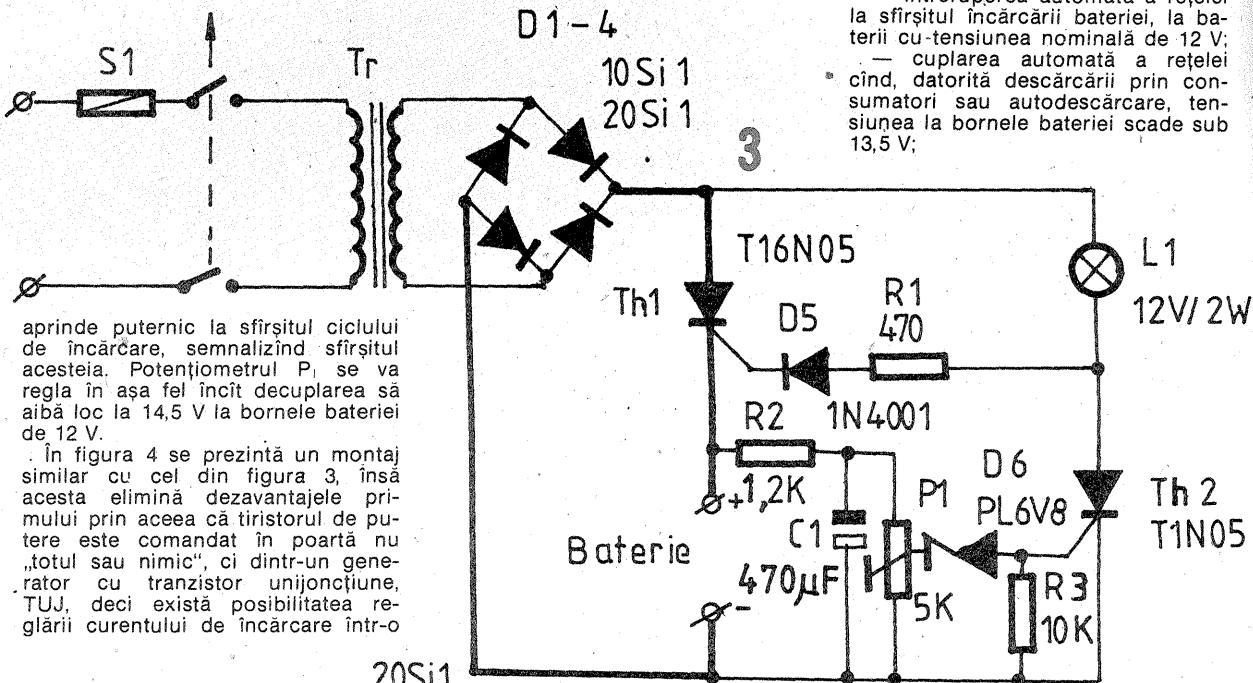
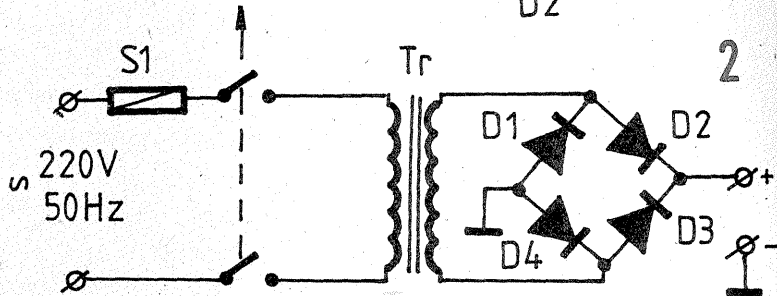
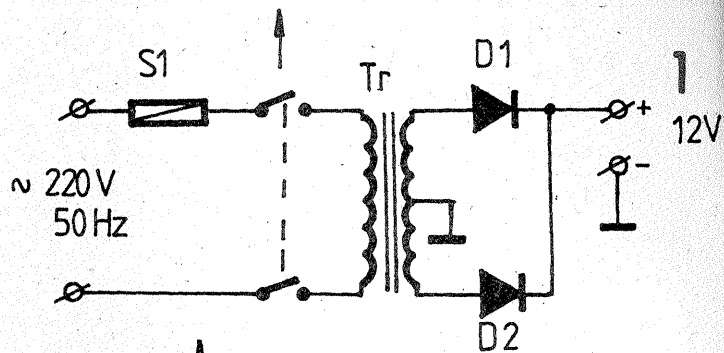
În figura 3 se prezintă un redresor relativ simplu, fără posibilități de reglare a curentului de încărcare, însă cu decuplare automată a încărcării, cînd bateria este complet încărcată. Recomand utilizarea montajului în varianta de 12 V, urmînd ca bateriile autocamioanelor cu instalația de 24 V (două baterii de 12 V) să fie încărcate separat. Montajul cuprinde un tiristor de putere — elementul de comandă — și un tiristor de mică putere, ca element de reglaj. Cu acest montaj se pot completa montajele

din figurile 1 și 2 sau se realizează independent cu un transformator de putere mai mică, de 150 ÷ 200 VA, numai pentru încărcări de corecție, nu și pornire.

Diodele sînt de 10 ÷ 20 A sau se pot folosi punți redresoare din seriile 10 ÷ 20 PM sau echivalente. Acest tip de încărcător are avantajul că nu necesită o supraveghere permanentă întrucît se oprește automat la terminarea ciclului de încărcare și elimină riscul supraîncărcării bateriei, deci al distrugerii ei.

Ca dezavantaj se reaminteste lipsa posibilității de reglare și citire a curentului de încărcare.

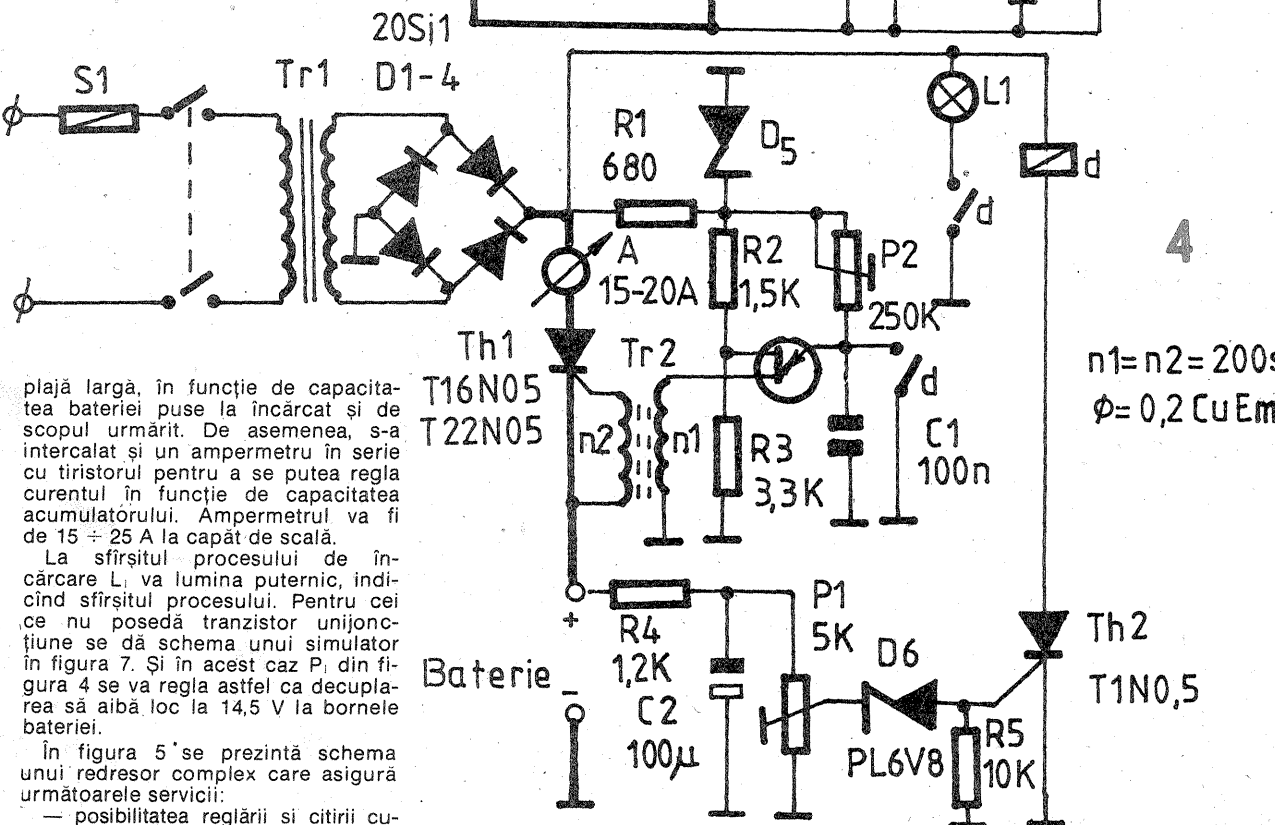
Becul L₁ va fi de 12 V/2 W și se va



rentului de încărcare în plajă 0 ÷ 25 A;
— întreruperea automată a rețelei la sfîrșitul încărcării bateriei, la baterii cu tensiunea nominală de 12 V;
— cuplarea automată a rețelei cînd, datorită descărcării prin consumatori sau autodescărcare, tensiunea la bornele bateriei scade sub 13,5 V;

aprinde puternic la sfîrșitul ciclului de încărcare, semnalizînd sfîrșitul acesteia. Potentiometrul P₁ se va regla în așa fel încît decuplarea să aibă loc la 14,5 V la bornele bateriei de 12 V.

În figura 4 se prezintă un montaj similar cu cel din figura 3, însă acesta elimină dezavantajele primului prin aceea că tiristorul de putere este comandat în poartă nu „totul sau nimic”, ci dintr-un generator cu tranzistor unijuncțiune, TUJ, deci există posibilitatea reglării curentului de încărcare într-o



plajă largă, în funcție de capacitatea bateriei puse la încărcat și de scopul urmărit. De asemenea, s-a intercalat și un ampermetru în serie cu tiristorul pentru a se putea regla curentul în funcție de capacitatea acumulatorului. Ampermetrul va fi de 15 ÷ 25 A la capăt de scală.

La sfîrșitul procesului de încărcare L₁ va lumina puternic, indicînd sfîrșitul procesului. Pentru cei ce nu posedă tranzistor unijuncțiune se dă schema unui simulator în figura 7. Și în acest caz P₁ din figura 4 se va regla astfel ca decuplarea să aibă loc la 14,5 V la bornele bateriei.

În figura 5 se prezintă schema unui redresor complex care asigură următoarele servicii:

— posibilitatea reglării și citirii cu-



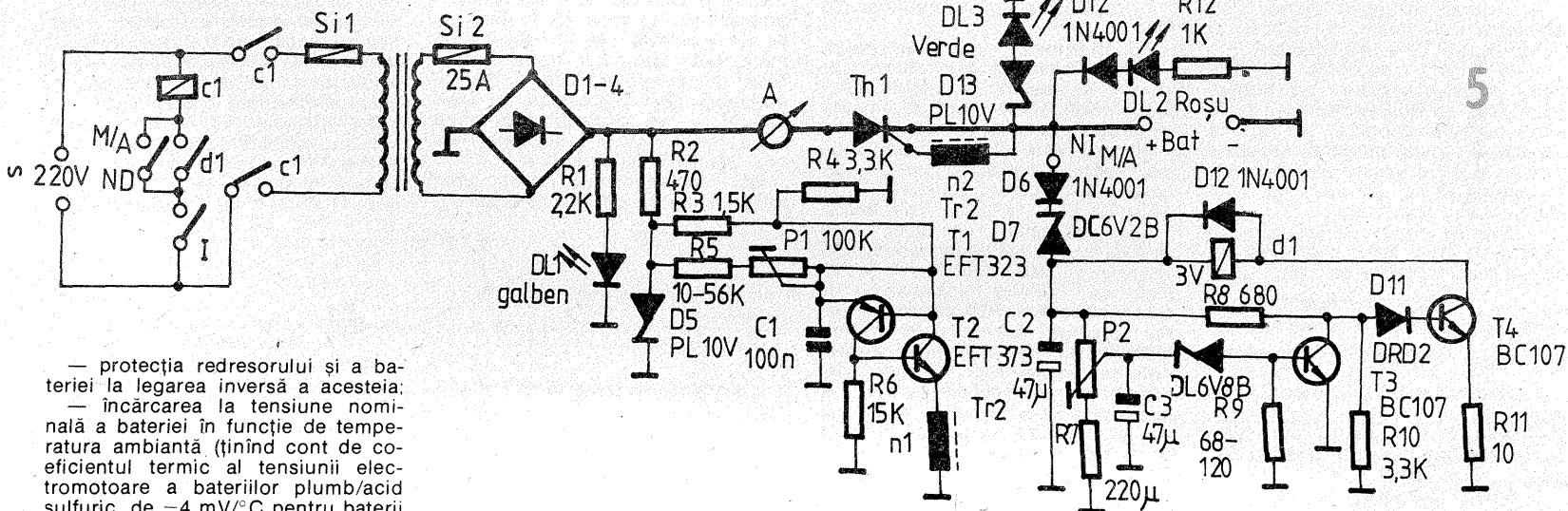
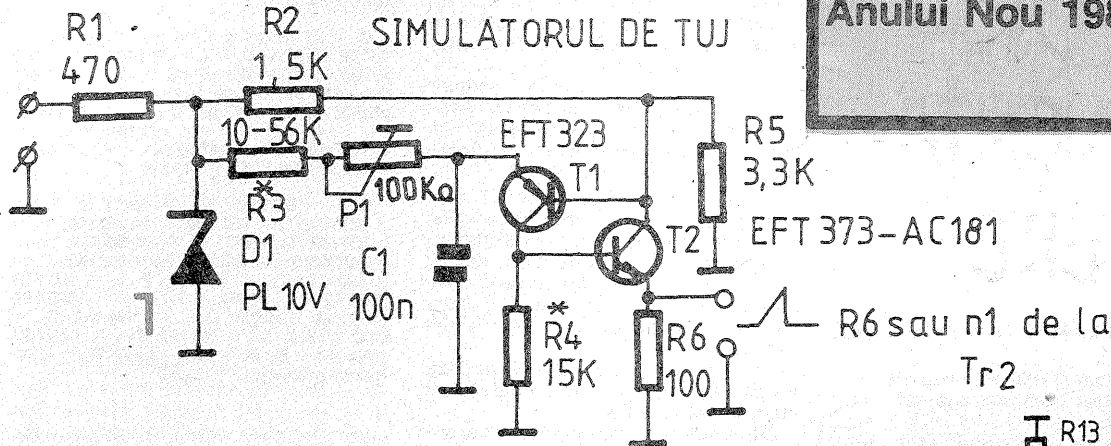
D1 = PL 5V1 Z
D2 = D3 = 1N 4001

Simularea dispozitivului

DL 6V2
DL 6V8

Colectivul redacțional al revistei **TEHNIUM** aduce călduroase mulțumiri tuturor colaboratorilor și cititorilor care au avut amabilitatea să-i adreseze felicitări cu ocazia Zilei Republicii și a Anului Nou 1987.

SIMULATORUL DE TUJ



— protecția redresorului și a bateriei la legarea inversă a acesteia;
— încărcarea la tensiune nominală a bateriei în funcție de temperatura ambiantă (ținând cont de coeficientul termic al tensiunii electromotoare a bateriilor plumb/acid sulfuric, de $-4 \text{ mV}/^\circ\text{C}$ pentru baterii de 12 V).

— posibilitatea încărcării de corecție la curent constant a celulelor independente sau a grupurilor de celule între 2 V și 28 V, în acest caz nefiind întreruptă încărcarea la sfârșitul procesului pe poziția M (manual).

Având în vedere serviciile mai sus enumerate, se observă că acest tip de redresor se recomandă pentru:

— încărcarea la tensiune nominală a bateriilor auto de 12 V;
— operații de corecție-egalizare de tensiune pe celule și grupuri de celule;

— redresor tampon automat pentru baterii staționare de pină la 250 Ah.

Montajul se compune practic din două părți mari, una de „citire” a tensiunii de pe bornele acumulatorului și comandă a primarului transformatorului de rețea și alta de reglare a curentului de încărcare.

Componenta DC6V2B(C) sau DC6V8B(C) se poate înlocui cu o diodă Zener PL5V1Z și o diodă DRD2, ca în figura 6. Dioda DC6V2B(C) sau DC6V8B(C) este un element compensat termic.

La realizarea montajelor de mai sus se va avea grijă ca elementele de putere — diodele și tiristoarele — să fie montate pe radiatoare corespunzătoare. Funcționarea montajelor este relativ simplă și considerăm că nu este cazul să o descriem amănunțit.

De asemenea, se va ține cont la cablarea montajului ca toate circuitele de forță (cele cu linie groasă din figuri) să fie realizate cu conductoare corespunzătoare în secțiune.

AMPLIFICATOR-FORMATOR PENTRU INTRARE DE FRECVENȚMETRU

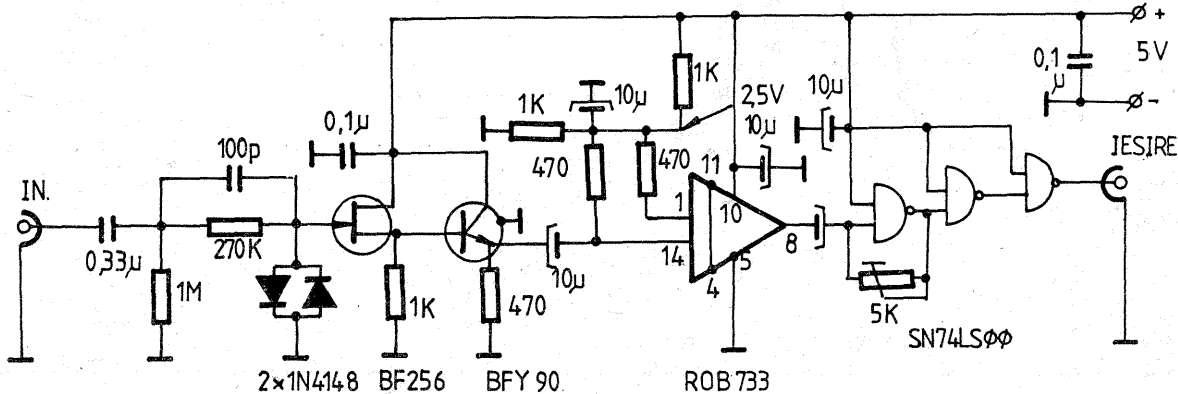
Ing. GEORGE PINTILIE, YO3AVE

La reușita unui frecvențmetru foarte mult contează performanțele amplificatorului de intrare, formator de semnale TTL, care comandă

intrarea de numărare a frecvențmetrului propriu-zis. Un amplificator de calitate trebuie să aibă o sensibilitate cit mai mare la o bandă de tre-

cere cit mai largă.
După numeroase încercări, mon-

(CONTINUARE ÎN PAG. 23)





AMPLIFICATOR DE AUDIOFRECVENȚĂ DE MARE PUTERE

Ing. AURELIAN MATEESCU

Amplificatorul audio prezentat în materialul de față a fost executat după schema publicată în figura 1 și este compus din două etaje finale identice care pot lucra în două moduri:

— separat, în regim stereo, când amplificatorul poate fi utilizat și pentru audierea de înaltă fidelitate;

— în regim monofonic, cu cele două etaje conectate „în punte” („bridged” în lb. engleză), caz în care puterea debitată pe sarcina depășește suma puterilor separate livrate de către fiecare etaj în parte.

Caracteristicile tehnice ale unui etaj final sînt următoarele:

— puterea nominală de ieșire pe sarcină de 4Ω și 8Ω în cele două regimuri de funcționare este de:

| | | |
|--------------|------------------------|------------------------|
| | $R_s = 4\Omega$ | $R_s = 8\Omega$ |
| stereo | $2 \times 95\text{ W}$ | $2 \times 70\text{ W}$ |
| mono (punte) | 280 W | 210 W |

— sensibilitatea la intrare 775 mV (0 dB);

— banda de frecvență reprodusă de amplificator pentru o atenuare de:

— $0,5\text{ dB}$ cap de bandă: $20\text{ Hz} - 20\text{ 000 Hz}$;

— 1 dB la cap de bandă: $16\text{ Hz} - 30\text{ 000 Hz}$;

— separarea între canale pentru un semnal cu frecvența de 10 kHz este de circa 75 dB ;

— coeficientul de distorsiuni ar-

monice totale (THD) este sub 1% ;

— raportul semnal-zgomot minim 90 dB ;

— valoarea raportului între tensiunea de ieșire și unitatea de timp este de $10\text{ V}/\mu\text{s}$ (slew rate);

— impedanța de intrare circa $20\text{ k}\Omega$.

Funcționarea amplificatorului.

Schema electrică este dată în figura 1. Se observă că amplificatorul are o configurație tipică de amplificator operațional de putere.

Intrarea este formată din două etaje diferențiale alimentate din generatoare de curent constant ($T_1 + T_2$ și $T_5; T_3 + T_4$ și T_6). Tranzistorul T_9 este în montaj „superdiodă” și se va fixa cu o bridă de radiator al tranzistoarelor finale, fiind izolat de radiator cu o foaie de mică unsă cu vaselină siliconică. R_{20} permite reglarea curentului de repaus al amplificatorului în lipsa semnalului. Pentru evitarea distorsiunilor și funcționarea corectă a amplificatorului atît la puteri mici cît și la putere nominală, se recomandă reglarea curentului de repaus la circa 100 mA . Se recomandă utilizarea cîte unei perechi de tranzistoare de putere pe fiecare ramură a amplificatorului pentru a se obține o capacitate de curent mărită pentru funcționarea în punte pe o sarcină de 4Ω .

Tranzistoarele T_{12} și T_{13} realizează protecția tranzistoarelor finale la supracurent. LED-ul D_5

semnalizează această situație pentru a obliga utilizatorul să intervină pentru întreruperea alimentării și înlăturarea cauzei (scurtcircuit la ieșire). Diodele D_7 și D_8 protejează tranzistoarele finale atunci cînd sarcina amplificatorului are un puternic caracter inductiv.

T_{20}, T_{21} , LED-ul D_9 formează un circuit care semnalizează depășirea tensiunii semnalului de la intrare aplicat amplificatorului, caz în care distorsiunile armonice depășesc 1% .

LED-ul D_{10} indică alimentarea cu energie a amplificatorului.

Modul de conectare în punte (fig. 2) permite obținerea unei puteri de ieșire mari, suficientă pentru sonorizări în aer liber.

Pentru a corespunde acestor scopuri, amplificatorul se va construi numai cu componente de bună calitate, sortate și verificate cu atenție. Se recomandă:

— utilizarea rezistoarelor cu peliculă metalică și toleranță mică (1%);

— condensatoarele electrolitice să aibă tensiuni mari de lucru (63 V);

— tranzistoarele din etajele diferențiale vor fi imperecheate pentru reducerea distorsiunilor de racordare (crossover);

— tranzistoarele ce formează grupurile Darlington din final vor fi atent imperecheate.

Alimentarea montajului pentru obținerea puterii nominale se face de la o sursă dublă de $\pm 35\text{ V}$. Montajul este deosebit de stabil și funcționează foarte bine de la tensiuni de $\pm 4\text{ V}$ pînă la $\pm 40\text{ V}$. Pentru a nu mări inutil gabaritul transformatorului de alimentare, ca și pentru obținerea unei bune separări între canale, se va prefera utilizarea a două transformatoare separate, cîte unul pentru fiecare etaj final.

Se recomandă utilizarea unui temporizator la pornire care să cu-

LISTA DE PIESE

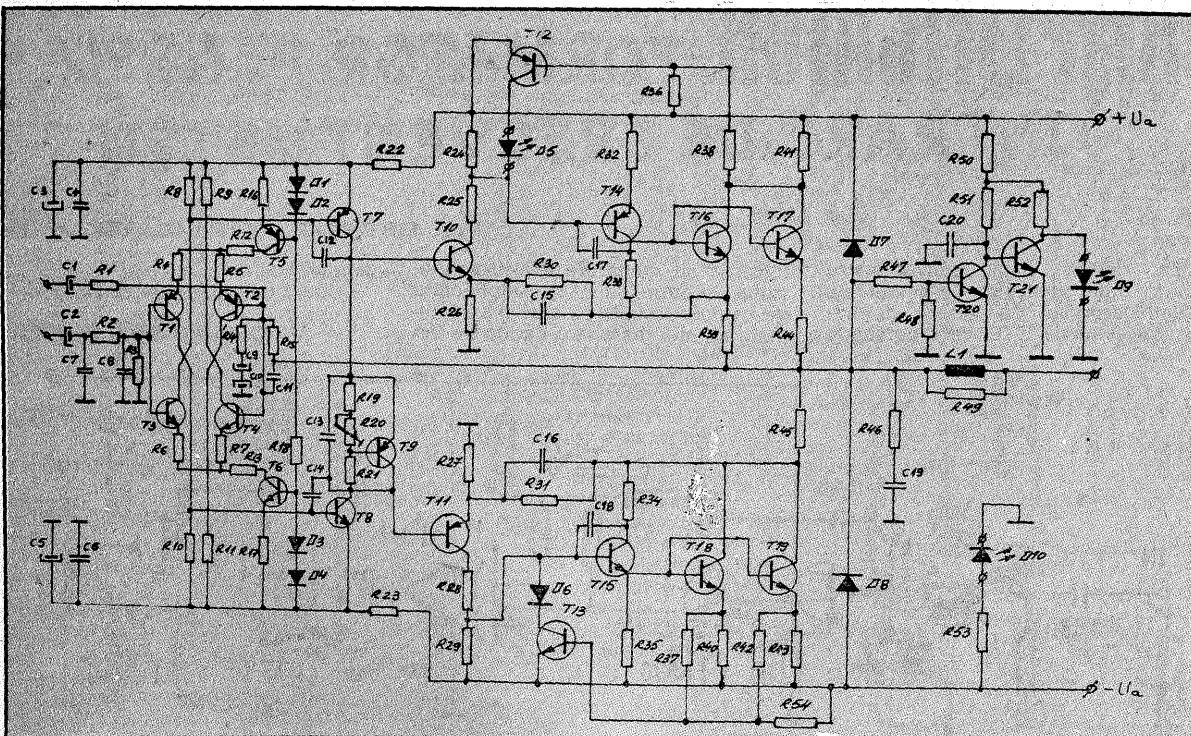
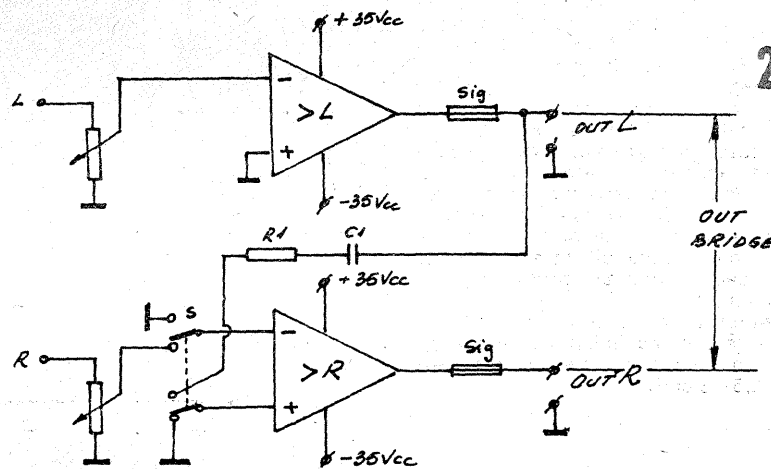
$R_1 = 27\text{ k}\Omega$; $R_2 = 10\text{ k}\Omega$; $R_3 = 100\text{ k}\Omega$; $R_{4,5} = 100\text{ }\Omega$; $R_6 = 100\text{ }\Omega$; $R_{7,8} = 2,2\text{ k}\Omega$; $R_{10,11} = 2,2\text{ k}\Omega$; $R_{12,13} = 2,2\text{ k}\Omega$; $R_{14} = 1\text{ k}\Omega$; $R_{15} = 27\text{ k}\Omega$; $R_{16,17} = 1\text{ k}\Omega$; $R_{18} = 22\text{ k}\Omega$; $R_{19} = 220\text{ }\Omega$; $R_{20} = 1\text{ k}\Omega$; $R_{21} = 2,2\text{ k}\Omega$; $R_{22} = 2,2\text{ k}\Omega$; $R_{23} = 1\text{ k}\Omega$; $R_{24} = 220\text{ }\Omega$; $R_{25} = 1\text{ k}\Omega$; $R_{26} = 1\text{ k}\Omega$; $R_{27} = 1\text{ k}\Omega$; $R_{28} = 220\text{ }\Omega$; $R_{29} = 1\text{ k}\Omega$; $R_{30} = 2,2\text{ k}\Omega$; $R_{31} = 2,2\text{ k}\Omega$; $R_{32} = 15\text{ }\Omega$; $R_{33} = 100\text{ }\Omega$; $R_{34} = 15\text{ }\Omega$; $R_{35} = 100\text{ }\Omega$; $R_{36} = 470\text{ }\Omega$; $R_{37} = 680\text{ }\Omega$; $R_{38} = 200\text{ }\Omega$; $R_{39} = 0,33\text{ }\Omega/5\text{ W}$; $R_{40} = 0,33\text{ }\Omega/5\text{ W}$; $R_{41} = 0,1\text{ }\Omega/5\text{ W}$; $R_{42} = 680\text{ }\Omega$; $R_{43} = 0,33\text{ }\Omega/5\text{ W}$; $R_{44} = 0,33\text{ }\Omega/5\text{ W}$; $R_{45} = 0,1\text{ }\Omega/5\text{ W}$; $R_{46} = 10\text{ }\Omega/3\text{ W}$; $R_{47} = 1\text{ M}\Omega$; $R_{48} = 47\text{ k}\Omega$; $R_{49} = 10\text{ }\Omega/3\text{ W}$; $R_{50} = 1,2\text{ k}\Omega$; $R_{51} = 6,2\text{ k}\Omega$; $R_{52} = 1,2\text{ k}\Omega$; $R_{53} = 5,6\text{ k}\Omega$; $R_{54} = 470\text{ }\Omega$.

$C_1 = 47\text{ }\mu\text{F}/25\text{ V}$; $C_2 = 2,2\text{ }\mu\text{F}/25\text{ V}$; $C_3 = 100\text{ }\mu\text{F}/63\text{ V}$; $C_4 = 0,1\text{ }\mu\text{F}/100\text{ V}$; $C_5 = 100\text{ }\mu\text{F}/63\text{ V}$; $C_6 = 0,1\text{ }\mu\text{F}/63\text{ V}$; $C_7 = 470\text{ pF}$; $C_8 = 220\text{ pF}$; $C_9 = 100\text{ }\mu\text{F}/25\text{ V}$; $C_{10} = 47\text{ }\mu\text{F}/500\text{ V}$; $C_{11} = 47\text{ pF}$; $C_{12} = 47\text{ pF}$; $C_{13} = 0,1\text{ }\mu\text{F}/100\text{ V}$; $C_{14} = 47\text{ pF}$; $C_{15} = 1\text{ nF}/100\text{ V}$; $C_{16} = 1\text{ nF}/100\text{ V}$; $C_{17} = 47\text{ pF}$; $C_{18} = 47\text{ pF}$; $C_{19} = 0,1\text{ }\mu\text{F}/100\text{ V}$; $C_{20} = 22\text{ pF}$.

$T_{1,2} = \text{BC256}$; $T_{3,4} = \text{BC174}$; $T_5 = \text{BD140}$; $T_6 = \text{BD139}$; $T_7 = \text{BD140}$; $T_8 = \text{BD139}$; $T_9 = \text{BD140}$; $T_{10} = \text{BD239}$; $T_{11} = \text{BD240}$; $T_{12} = \text{BC256}$; $T_{13} = \text{BC174}$; $T_{14} = \text{BD440}$; $T_{15} = \text{BD439}$; $T_{16,17} = \text{BDY29 (SDT9209, 9309)}$; $T_{18,19} = \text{BDY29 (2N6258, KD503)}$; $D_{1,2} = 1\text{N4004}$; $D_3 = \text{LED (roșu)}$; $D_4 = \text{BA157}$; $D_{7,8} = 1\text{N4007 (1N4004 } \div 6)$; $D_9 = \text{LED (roșu)}$; $D_{10} = \text{LED (verde-galben)}$; $L_1 = 2\text{ }\mu\text{H}$.

pleze incintele după 3—5 secunde de la cuplarea alimentării cu energie, conform unei scheme publicate în paginile revistei „Tehnum”. Sînt astfel protejate incintele acustice de curenții de tranziție ce au valori mari la cuplarea alimentării și totodată se evită și bufnitura ce apare în difuzoare în acest caz.

Tranzistoarele T_7, T_8 vor fi prevăzute cu radiatoare de circa 20 cm^2 , T_{10} și T_{11} cu radiatoare de circa 50 cm^2 , T_{14} și T_{15} cu radiatoare de circa 100 cm^2 , iar tranzistoarele fi-



nale cu radiatoare de circa 300 cm^2 fiecare.

Deoarece componentele de care dispune fiecare constructor au gabarite diferite, nu a fost dată rezolvarea cablajului imprimat, acesta rămînînd la dispoziția constructorului.

Se va avea grijă ca traseele să fie suficient de late pentru a permite circulația unor curenții de valori mari. Se preferă cositorirea cablajului.

Obținerea unei bune fiabilități, ca și a parametrilor tehnici prezentați, este condiționată de acuratețea execuției și calitatea componentelor.

Bobina L_1 are 16 spire bobinate în două straturi ($9 + 7$ spire) pe un cablru de lemn cu $\varnothing 7\text{ mm}$. Conducturul utilizat este $\text{CuEm } \varnothing 0,8\text{ mm}$. Se obține o inductanță de aproximativ $2\text{ }\mu\text{H}$.

Executat corect și respectînd recomandările, singurul reglaj este cel al curentului de repaus.

BIBLIOGRAFIE:

1. Colecția revistei RADIO (U.R.S.S.), 1985—1986
Colecția revistei RTE (R.P. Bulgaria), 1985

Instalația de interfon prezentată se remarcă prin următoarele caracteristici specifice:

— număr mare de posturi abonat (peste 20);

— posibilitatea oricărui abonat de a lua legătura cu oricare din restul abonaților fără a fi nevoie de intervenția unui operator la stația dispecer;

— legătura dintre stația dispecer și restul abonaților se face prin trei fire necranate;

— lungimea maximă a cablului de legătură pe care a fost experimentată instalația — 3 km;

— instalația (stația dispecer) este prevăzută cu protecție și semnalizare în cazul apariției unui scurtcircuit pe rețea sau la atingerea acesteia cu „pământul”.

Schema interfonului prezentată alăturat, deși în aparență complicată, este ușor de construit. Partea principală a interfonului o constituie amplificatorul de medie putere (5 — 6 W), realizat cu tranzistoarele T₁—T₄ și blocul de alimentare, compus din transformatorul de rețea Tr.1 și celula de redresare și filtrare (fig. 1).

Transformatorul de rețea și celula de redresare-filtrare trebuie dimensionate astfel ca între punctul B din schemă și masa M să avem o tensiune de 22 Vcc la un curent de 1 A. Tranzistoarele finale T₃ și T₄ se vor monta pe radiatoare din aluminiu în formă de „U” cu suprafața de aproximativ 30 cm² fiecare. Rezistența R₄ se va alege în jurul valorii notate în schemă, astfel ca între punctul A și masa M să avem jumătate din tensiunea de alimentare.

Rezistențele semireglabile R₁ și R₇ se vor regla numai după montarea și conectarea tuturor abonaților.

În cazul în care ulterior se mai fac modificări pe linie (se mai montează alte posturi), se face o nouă reglare a acestor rezistențe pentru ca semnalul să fie clar și nedistorționat.

Lampa B₁ din schemă servește ca semnalizare și totodată ca protecție în cazul în care firul de alimentare spre abonați L₃ are atingere cu „pământul” sau scurtcircuit cu firul L₁. Lampa B₂ servește ca semnalizare și totodată ca protecție în cazul unui scurtcircuit între firele L₁ și L₃ sau atingerea firului L₁ cu „pământul”.

Autotransformatorul Tr.2 de ieșire (adaptarea liniei) se va realiza pe un pachet de tole cu secțiunea de 2,5—3 cm².

INTERFON

GEORGE COMAN

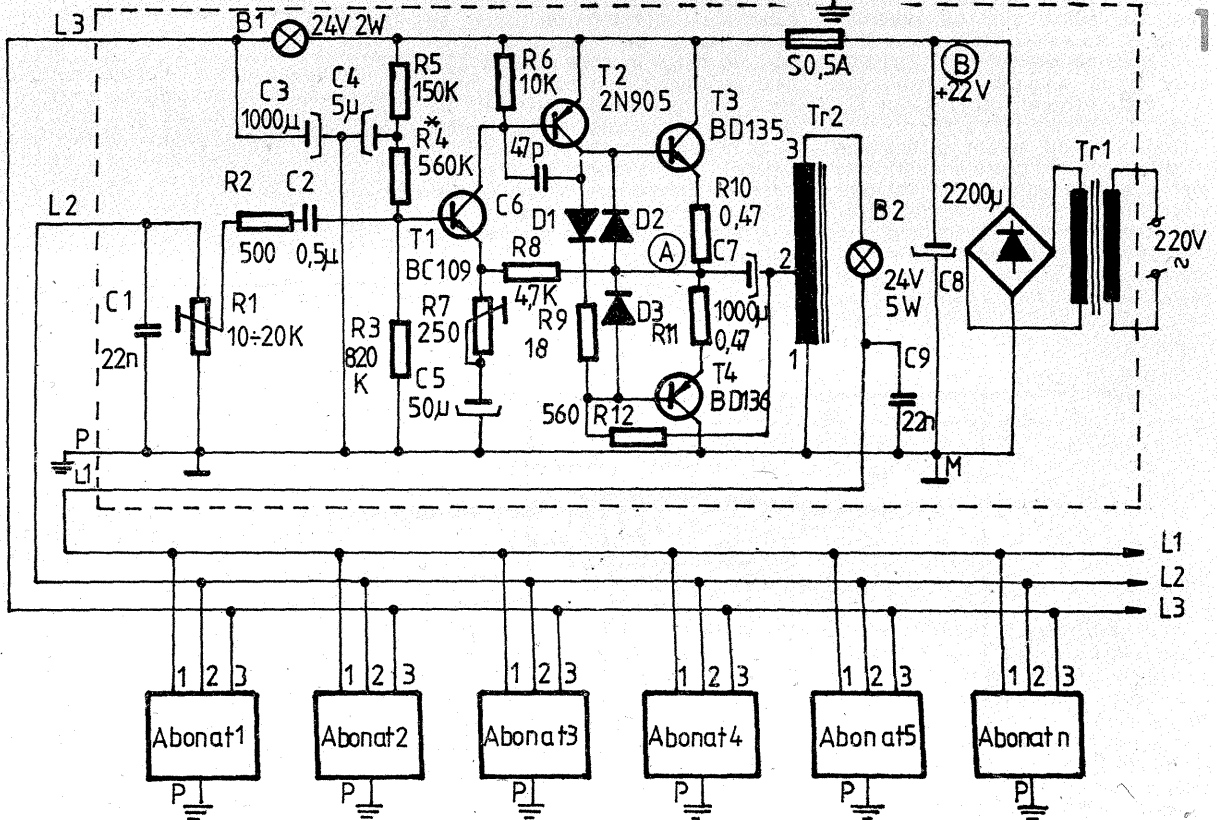
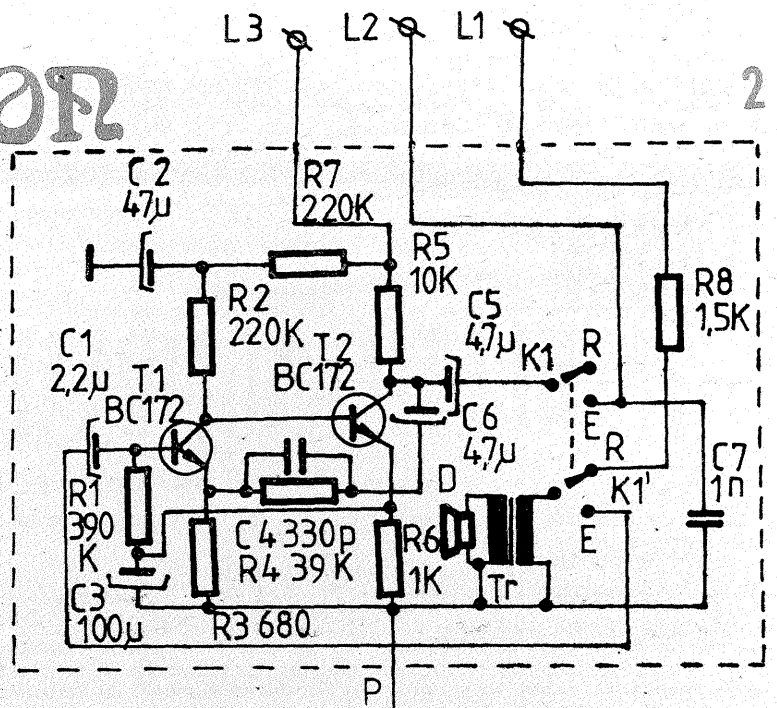
Înfășurarea 1—2 are 50 de spire CuEm Ø 0,45 mm, iar înfășurarea 2—3 are 300 de spire CuEm Ø 0,3 mm, ambele bobinate în același sens.

Schema unui abonat al acestui interfon este prezentată în figura 2. Ea se compune dintr-un amplificator de microfon care se găsește în comerț și un difuzor de radioficare cu carcasă tip R-20039.

Potențiometrul original al difuzorului se va desființa, locul acestuia fiind luat de rezistența R₃ cu valoarea cuprinsă între 1,5 și 5 kΩ.

Condensatorul C₇ se va monta pe contactele comutatorului dublu K₁, care în schemă se află în poziția recepție.

Transformatorul difuzorului de radioficare rămâne neschimbat.



RECONDITIONAREA ÎNREGISTRĂRILOR VECHI DE PE DISCURI DE PATEFON

MIHAI ANDREESCU

Mulți colecționari de discuri doresc să transfere înregistrările pe bandă magnetică.

Cu această ocazie se pot face corecții ale semnalului audio în vederea atenuării zgomotelor datorate uzurii discurilor ca și corectarea caracteristicii de frecvență, puternic neliniară, a înregistrării.

În literatura tehnică de specialitate există un mare număr de scheme ce permit corectarea semnalelor audio, reducerea zgomotelor în anumite benzi de frecvență etc., scheme utilizând filtre pasive sau active, componente discrete, amplificatoare operaționale de uz general sau componente specializate. Aceste variante presupun cunoștințe mai avansate, experiență în execuție, o investiție mai impor-

tantă etc. Prezentăm în figurile alăturate două filtre pasive ce se pot construi cu minimum de componente și care dau rezultate foarte bune pentru investiția și munca cheltuită.

În figura 1 este prezentat un montaj care permite corecția frecvențelor medii în sensul atenuării acestora. Înregistrările vechi au o predominanță a acestor frecvențe care poate merge până la distorsionarea puternică a unor virfuri de semnal.

La înregistrări se plasează cursorul lui P₁ la masă și se reglează din P₂ semnalul pentru un sunet cât mai plăcut, nedistorsionat. Dacă nu se obțin rezultate bune numai din P₂, se intervine și din P₁ pentru obținerea unui semnal optim.

Montajul din figura 2 permite re-

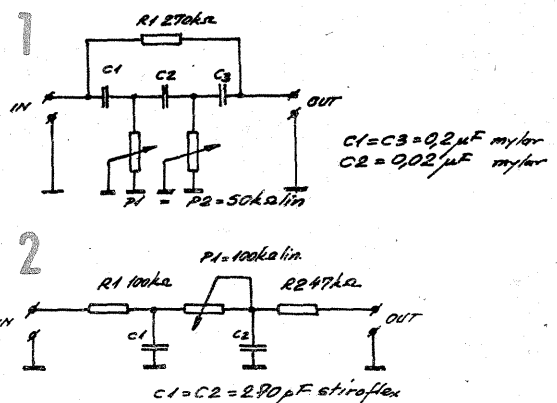
ducerea fișitului (hiss) supărat datorat uzurii discurilor. Filturul permite atenuarea frecvențelor de peste 5 000 Hz. Panta atenuării se reglează din potențiometrul P₁. Se recomandă ca aparatul cuplat la ieșire să aibă o impedanță de minimum 47 kΩ. R₂ nu se va elimina din montaj în scopul creșterii semnalului la ieșire deoarece intervine în calculul impedanței de ieșire a filtului.

Se recomandă utilizarea de rezis-

tente cu peliculă metalică și condensatoare cu pierderi reduse, de bună calitate (mylar, stiroflex).

Cele două montaje se introduc într-o cutie metalică din tablă subțire de oțel cositorită, prevăzută cu mufe de intrare și ieșire. Pe cutie se prind potențiometrele, iar restul pieselor se montează pe terminalele acestora.

BIBLIOGRAFIE:
Popular Electronics, 1983



MODUL MULTIFUNCTIONAL

| TIP | T _{Jmax} (°C) | R _{jc} (°C/W) |
|--------|------------------------|------------------------|
| BD135 | 150 | 10 |
| BD235 | 150 | 5 |
| BD435 | 150 | 3,5 |
| 2N3055 | 200 | 1,5 |

Fiz. DRAGOS FĂLIE

Sursa de tensiune propusă spre realizare este de tip dublă ai cărei parametri se pot situa într-o gamă largă de valori. Tensiunea de ieșire poate fi aleasă între 2 V și 30 V și se poate ajusta în jurul unei valori dorite sau se poate regla continuu într-un anumit domeniu. Curentul de ieșire maxim se poate alege între 50 mA și 1 A. Cele două tensiuni date de sursă sînt de polarități opuse și au valori egale cu o abatere maximă de ±0,2 V. Egalarea celor două tensiuni se realizează prin împerecherea rezistențelor R₁₂ și R₁₄ cu o precizie de ±1%.

Domeniile de curent și tensiune se pot alege din gamele menționate mai sus prin schimbarea valorilor unor componente din montaj. Valorile componentelor se pot afla prin efectuarea unor calcule simple date mai jos sau folosind programul de calcul de la sfîrșitul articolului, care este scris în limbajul BASIC al calculatorului românesc HC85, similar

cu cel al calculatorului britanic SPECTRUM.

Toate componentele sursei, exceptînd transformatorul de rețea, se montează pe un singur cablaj imprimat dublu placat, care este dat în figurile 2 și 3. În general, radiatorul necesar tranzistoarelor T₂ și T₅ este o bucată de aluminiu cu aproximativ aceleași dimensiuni cu cele ale cablajului imprimat de care se poate fixa cu patru sau două șuruburi. În cazul în care puterea disipată pe tranzistoare este mai mare decît cea care poate fi disipată de un astfel de radiator, tranzistoarele T₂ și T₅ se vor monta pe un radiator separat, dimensionat corespunzător, iar conexiunile dintre tranzistoare și circuitul imprimat se vor face prin intermediul a șase fire de legătură.

Valoarea dorită a tensiunii date de sursă se poate ajusta cu ajutorul potențiometrului R₃, care modifică simultan atît tensiunea de ieșire pozitivă, cit și cea negativă, dar menține constant raportul acestora. În cazul în care amatorul dorește să realizeze o sursă de tensiune dublă reglabilă, de exemplu de la ±2 V la ±16 V, atunci potențiometrul R₃ se va monta pe panoul aparatului, de unde se va conecta pe circuit prin intermediul a trei fire de legătură.

Pentru dimensionarea elementelor sursei pornim de la următoarele date:

V₁ — tensiunea minimă de la ieșire;
V₂ — tensiunea maximă de la ieșire;

I₁ — curentul maxim de limitare a sursei pentru tensiunea V₁;

I₂ — curentul maxim de limitare a sursei pentru tensiunea V₂.

Sursa trebuie să se regleze între V₁ și V₂ cu ajutorul potențiometrului R₃. Schema simplificată a stabilizatorului de tensiune este dată în figura 4, unde V₁ este tensiunea de referință a circuitului integrat BA723 și are valoarea de 7,15 ± 0,25 V.

Tensiunea de ieșire se stabilizează la o valoare pentru care diferența de tensiune dintre intrarea in-

versoare și neinvertoare a amplificatorului de eroare din interiorul circuitului integrat BA723 este zero.

Dacă punem condiția ca la un capăt al cursei potențiometrului R₃ la ieșire să avem tensiunea V₁, iar la celălalt capăt tensiunea V₂, obținem relațiile:

$$V_1 = V_r \frac{R_5/R_6 + 1}{(R_1+R_3)/R_2 + 1}$$

$$V_2 = V_r \frac{R_5/R_6 + 1}{R_1/(R_2+R_3) + 1} \quad (1)$$

Pentru determinarea valorilor rezistențelor R₁, R₂, R₃, R₅ și R₆ se aleg inițial valorile lui R₁ și R₃, iar din relațiile (2) se determină R₂ și raportul R₅/R₆:

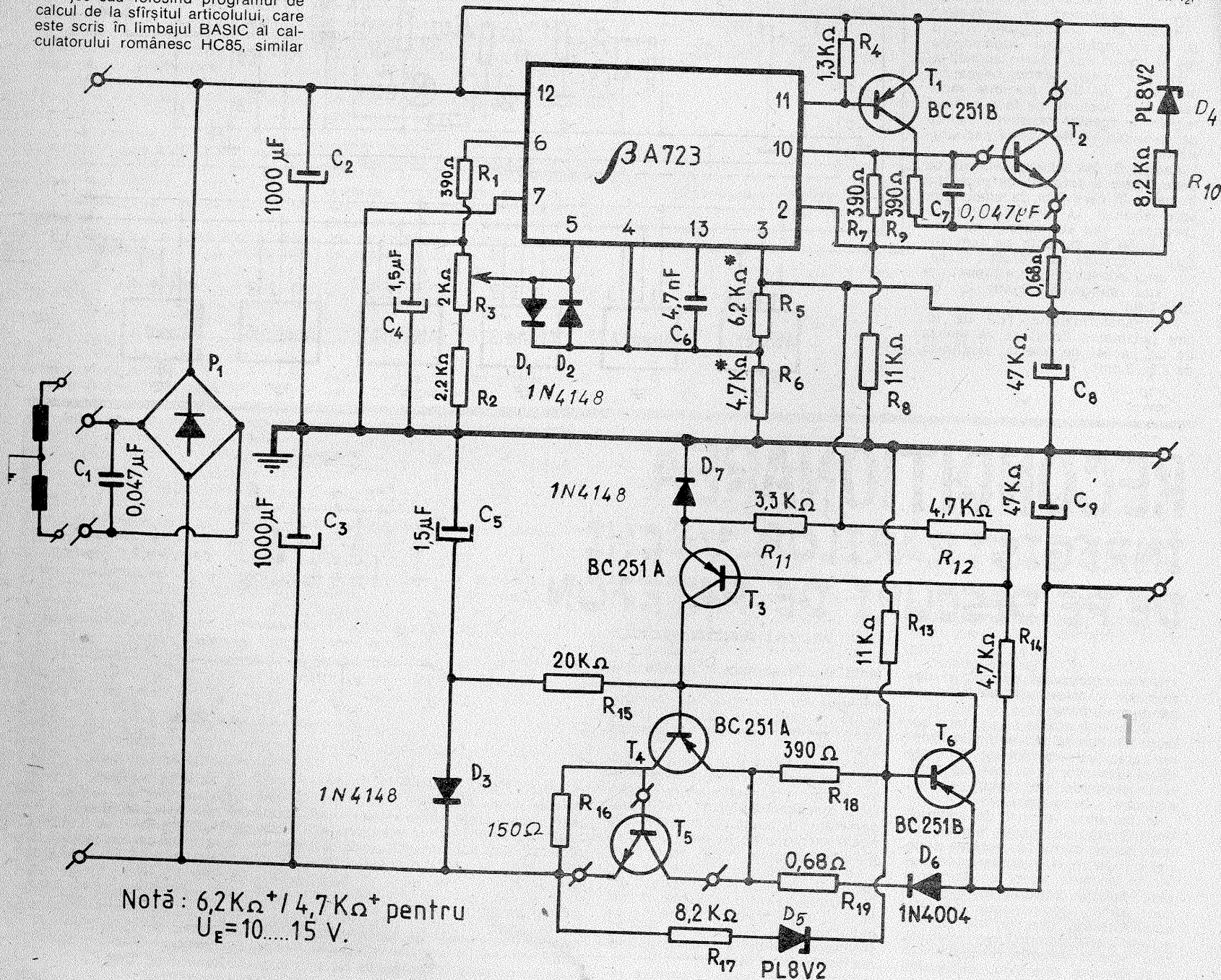
$$R_2 = \frac{V_1 \cdot R_3}{V_2 - V_1}$$

$$\frac{R_5}{R_6} = \frac{V_2}{V_r} \left[\frac{R_1}{R_3} \left(1 - \frac{V_1}{V_2} \right) + 1 \right] - 1 \quad (2)$$

Pentru a limita consumul din sursa de referință impunem și condiția:

$$R_1 + R_2 + R_3 \geq 1 \text{ k}\Omega$$

Circuitul de protecție la curent este de tipul cu „caracteristică înțoarsă”, adică pentru tensiunea V₂ curentul se limitează la valoarea I₂.



Notă: 6,2KΩ + 4,7KΩ pentru U_E = 10.....15 V.

iar pentru tensiunea V_1 curentul se limitează la valoarea $I_1 < I_2$. Această limitare de curent este utilă în cazul unei surse de tensiune reglabilă pentru limitarea puterii disipate pe tranzistoarele T_2 și T_5 atunci când sursa furnizează la ieșire o tensiune $V_1 \ll V_2$.

Circuitul de protecție simplificat pentru ramura de sus a sursei (+) este dat în figura 5.

Limitarea de curent începe atunci când:

$$(U_0 + I_0 R_{20} + U_{BE2}) \cdot \frac{R_8}{R_7 + R_8} - U_0 \geq U_{BE} \quad (3)$$

$$\text{sau } I_0 \geq \frac{R_7}{R_8} \cdot \frac{U_0 + \Delta U_{BE}}{R_{20}}$$

$$\text{unde } \Delta U_{BE} = \frac{U_{BE}(R_7 + R_8) - U_{BE2} \cdot R_8}{R_7}$$

Dacă $U_{BE} = U_{BE2}$, atunci:

$$I_1 = \frac{R_7}{R_8} \cdot \frac{U_1 + U_{BE}}{R_{20}} \text{ și } I_2 = \frac{R_7}{R_8} \cdot \frac{U_2 + U_{BE}}{R_{20}} \quad (4)$$

Se observă că $I_1/I_2 \approx V_1/V_2$, iar curentul pentru scurtcircuit la ieșire este:

$$I_{SC} = \frac{R_7}{R_8} \cdot \frac{U_{BE}}{R_{20}} \quad (5)$$

Se poate alege $R_{20} \approx U_2/(20 \cdot I_2)$, iar din relația (4) se determină raportul R_7/R_8 ; R_8 se alege astfel ca $R_8 \approx U_1/(0,5 + 2 \text{ mA})$.

Pentru partea cealaltă de sursă tensiunea U_{BE2} este suplinită de dioda D_6 , iar R_{18} , R_{13} și R_{19} corespund respectiv cu R_7 , R_8 și R_{10} și se calculează în mod analog.

Grupul D_4 , R_{10} și D_5 , R_{17} este o protecție la scurtcircuit suplimentară. Elementul serie T_2 se blochează atunci când căderea de tensiune pe el depășește tensiunea de stabilizare V_Z a diodei Zener D_4 . Tensiunea de stabilizare a diodelor Zener D_4 și D_5 se stabilește cu relația:

$$V_Z \approx 1,6 \cdot U_{ef} - V_1 + 2V \quad (6)$$

Tensiunea de 2 V este o margine de siguranță, iar U_{ef} este tensiunea eficientă în gol dată de transformatorul de rețea. Această protecție se recomandă când V_1 este mai mare de 4 V. Componentele D_4 , D_5 , R_{10} și R_{17} se vor monta după testarea și reglarea sursei.

În figura 6 este indicată dispunerea componentelor pe placa de circuit imprimat.

Tensiunea eficientă U_{ef} pe care trebuie să o avem în sarcină la bornele celor două înfășurări ale transformatorului de rețea se determină cu relația:

$$U_{ef} = 1,1 \times [U_a + (V_2 + U_s + \Delta U + U_0)/1,2] \quad (7)$$

(CONTINUARE ÎN NR. VIITOR)

```

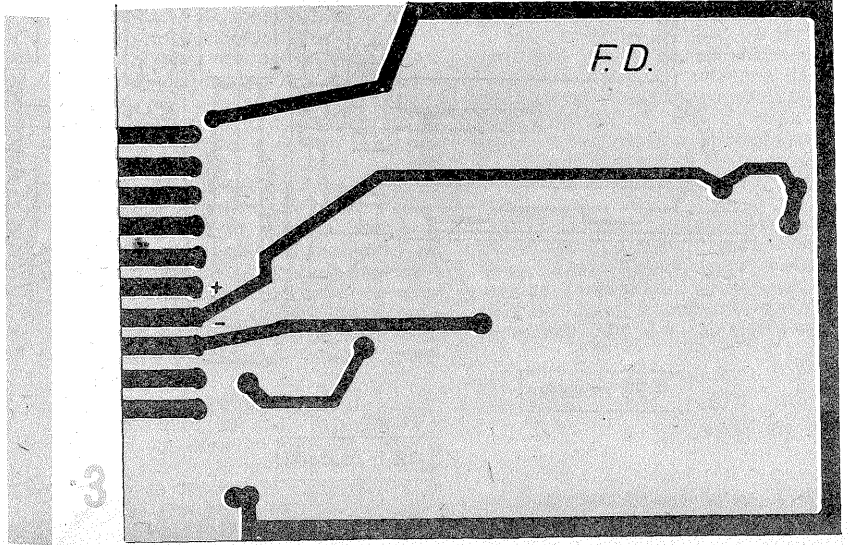
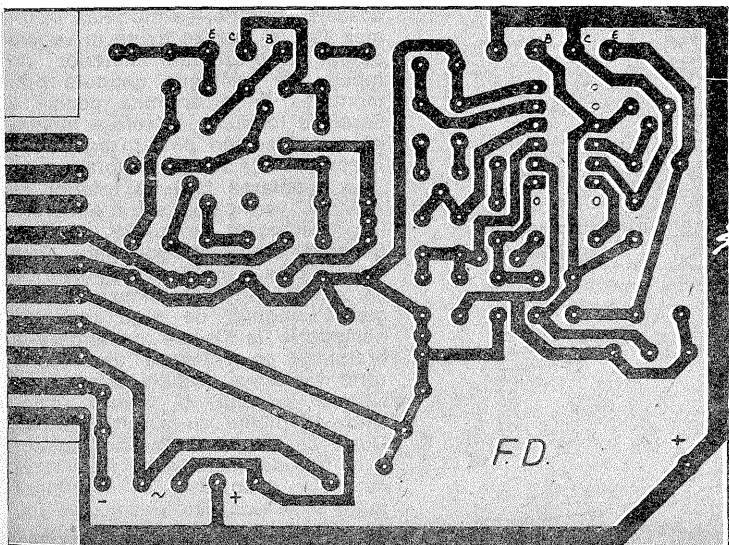
10 REM
20 REM CIRCUITUL DE REGLAREA
30 REM TENSIUNII
40 REM
50 PRINT "Introduceti tensiune
a minima si maxima"
60 INPUT "U1=";U1,"U2=";U2
70 PRINT "U1=";U1,"U2=";U2
80 PRINT "Introduceti tensiune
a de referinta"
90 INPUT "Ur=";UR
100 PRINT "Ur=";UR
110 INPUT "R1=";R1
120 PRINT "R1=";R1
130 INPUT "R2=";R2
140 PRINT "R2=";R2
150 LET K=U1/U2
160 LET R4=K*R2/(1-K)
170 PRINT "R4=";R4
180 LET X=U2*(R3*(1-K)/R+1)/UR
190 INPUT "R3=";R3
200 PRINT "R3=";R3
210 LET R2=R1/(X-1)
220 PRINT "R2=";R2
230 PRINT "Introduceti cele mai
apropiate valori standardizate
pentru R6 si R8"
240 INPUT "R6=";R6,"R8=";R8
250 PRINT "R6=";R6,"R8=";R8
260 LET X2=1+R1/R2
270 LET RT=R3+R4+P
280 LET U1=UR*X2*R4/RT
290 LET U2=UR*X2*(R4+P)/RT
300 PRINT "U1=";U1,"U2=";U2
310 INPUT "LPRINT Y/N ";A$
320 IF A$="Y" THEN GO SUB 650
330 PRINT "Daca doriti un nou
circuit cu noi valori pentru R6/R8
sau R5 introduceti 1 sau 2"
340 INPUT "*1*R6/R2 *2*R5 *3*CO
nt. ";A$
350 IF A$="1" THEN GO TO 240
360 IF A$="2" THEN GO TO 190
370 IF A$="3" THEN GO TO 400
380 GO TO 190
390 REM
400 REM CIRCUITUL DE PROTECTIE
410 REM
420 PRINT "Circuitul de protect
ie asigura U1/I1 aprox. = U2/I1"
430 INPUT "U1=";U1,"U2=";U2
440 PRINT "U1=";U1,"U2=";U2
450 INPUT "I1=";I1,"I2=";I2
460 PRINT "I1=";I1,"I2=";I2
470 INPUT "R1=";R1,"R2=";R2
480 PRINT "R1=";R1,"R2=";R2
490 LET RB=R2*(U2+UBE)/I2/R
500 PRINT "RB=";RB
510 LET I1=RB*(U1+UBE)/R/R
520 PRINT "I1=";I1
530 PRINT "Introduceti o valoar
e standardizata pentru R8"
540 INPUT "R8=";R8
550 LET I3=RB*(U2+UBE)/R/R
560 LET I1=RB*(U1+UBE)/R/R
570 PRINT "I1=";I1,"I2=";I2,"I3
"
580 LET Iwc=RB*UBE/R/R
590 PRINT "Isc=";Isc
600 INPUT "LPRINT ? Y/N ";A$
610 IF A$="Y" THEN GO SUB 710
620 INPUT "continuat c/n ";a$
630 IF a$="c" THEN GO TO 760
640 GO TO 470
650 LPRINT "U1=";U1,"U2=";U2
660 LPRINT "Ur=";UR
670 LPRINT "R1=";R1,"R2=";R2
680 LPRINT "R3=";R3,"R4=";R4
690 LPRINT "R5=";R5,"R6=";R6
700 RETURN

```

```

710 LPRINT "Ube=";UBE,"R20=";R
720 LPRINT "I1=";I1,"I2=";I2,"I3
"
730 LPRINT "U1=";U1,"U2=";U2
740 LPRINT "R7=";R7,"R8=";R8
750 RETURN
760 REM
770 REM CALCULUL LUI Uef
780 REM
790 PRINT "Calculul lui Uef"
800 INPUT "I2=";I2,"U2=";U2
810 PRINT "I2=";I2,"U2=";U2
820 INPUT "C2=";C
830 PRINT "dU -riplul pe conden
sator"
840 PRINT "C2=";C
850 LET du=I2/100/C
860 PRINT "du=";du
870 IF du>=12 THEN PRINT "C2 p
rea mic": GO TO 820
880 PRINT "Ua -margină de sigur
anta"
890 PRINT "Us -tensiunea pe elementu
l serie"
900 LET ua=2: LET us=3
910 PRINT "Ua=";ua,"Ud=";ud
920 PRINT "Us=";us
930 LET uef=1.1*(ua+(v2+us+du+
d)/SOR 2)
940 PRINT "Uef=";uef
950 IF uef>=.9*40/SOR 2 THEN PR
INT "Uef prea mare redimensiona
ti"
960 INPUT "continuat c/n ";a$
970 IF a$="n" THEN GO TO 820
980 REM
990 REM CALCULUL RADIATORULUI
1000 REM
1010 PRINT "Calculul radiatorul
ui pentru un tranzistor"
1020 PRINT "Supraf
ata totala a radiatorului va fi
egala cu suma suprafetelor"
1030 PRINT "Ud -caderea de tens
iune pe diode aproximativ 1V"
1040 LET Ud=1
1050 INPUT "Uef=";uef,"C2=";C
1060 PRINT "Uef=";uef,"C2=";C
1070 PRINT "I1 -curentul maxim de
bitat de una din surse la t
ensiunea U1"
1080 INPUT "U1=";v1,"I1=";i1
1090 PRINT "U1=";v1,"I1=";i1
1100 PRINT "Pt -puterea disipata
pe T2 sau T5"
1110 LET p=i*(1.1*SOR 2*(uef-Ud/
SOR 2)-v1-1/(200*C))
1120 PRINT "Pt=";p
1130 PRINT "Tj -temperatura jonct
iunii"
1140 PRINT "Ta -temperatura aerului"
1150 INPUT "Tj=";Tj,"Ta=";Ta
1160 PRINT "Tj=";Tj,"Ta=";Ta
1170 INPUT "Rjca=";Rjca,"Rj=";Rj
1180 PRINT "Rjca=";Rjca,"Rj=";Rj
1190 LET x=(Tj-Ta)/P-Rjca-Rj
1200 IF x<=0 THEN PRINT "Putera
disipata e prea mare"
1210 PRINT "alegeti alt tranzistor": GO TO 1120
1220 LET a=(1/(x*Pt+.15/300))+.7)
1230 PRINT "A=";a
1240 PRINT "A=10cm*";a/20;"cm"
1250 PRINT "Daca sursele debite
aza acelasi curent atunci At=2
*A"
1260 PRINT "A=10cm*";a/10;"cm"
1270 INPUT "continuat c/n ";a$
1280 IF a$="n" THEN GO TO 1130
1290 STOP

```





AUTOTURISMELE "OLTCIT" SERVICE

(URMARE DIN NR. TRECUT)

CONTROLUL ȘI REGLAJUL ÎNĂLȚIMII FAȚĂ

La efectuarea lucrării de control al înălțimii față a autoturismelor trebuie să se respecte următoarele condiții: autoturism fără încărcătură, presiune corectă în pneuri și suprafață plan-orizontală de amplasare a autoturismului.

Înălțimea autoturismului se măsoară între sol și lagărul suportului inferior, cu ajutorul tijei A: 223 ± 10 mm la Olcic Club și 230 ± 10 mm la Olcic Special. Se precizează că se face media celor două înălțimi măsurate și că între ele nu trebuie să fie mai mult de 10 mm. În caz contrar, trebuie refăcut reglajul înălțimii autoturismului.

Pentru reglarea înălțimii față, după ce se suspendă puntea față, se demontează barele de torsiune și se „îndreaptă” lama de flexiune. Se modifică poziția barei de torsiune în prinderea pe braț și în suportul de pe lama de flexiune. Rotirea barelor de torsiune cu un dinte în cele două prinderi modifică înălțimea autoturismului cu 3–12 mm. Reglajul efectuat pe o parte modi-

fică reglajul și pe cealaltă parte a autoturismului.

Sensul de rotație al barelor de torsiune la efectuarea reglajului se prezintă în figura 4 (barele primate prin spatele suportului lamei de flexiune).

B. PUNTEA ȘI SUSPENSIA SPATE

Executarea unor operații de control și reglaj impune următoarele condiții inițiale: autoturismul trebuie să fie în stare goală și „gata de drum”, cu 5 l de benzină în rezervor. În continuare se verifică înălțimea spate, care trebuie să fie de 324 ± 10 mm între traversa tubulară a punții spate și planul de sprijin al roților pe sol și înălțimea față (după cum s-a arătat anterior). **Observație.** Înălțimile se reglează prin rotirea barelor de torsiune în suportul lor în altă poziție a canelurilor.

Alte caracteristici tehnice de care trebuie să se țină seama: jocul lateral al brațelor punții spate (2 mm); convergența (închiderea roților spate către față), care nu este reglabilă (2–5,6 mm), se poate controla cu autoturismul așezat pe o supra-

față orizontală cu aparat optic sau cu un dispozitiv; rulmenții spate (fig. 5) sînt menținuți în alezaj de o bucsă — piuliță strînsă la cuplul de 37,5 daN·m; fuzeta este fixată pe braț cu un șurub strîns la cuplul de 19,5 daN·m.

CONTROLUL ȘI REGLAJUL ÎNĂLȚIMII SPATE

Înălțimea spate, identică pentru gama de autoturisme Olcic (324 ± 10 mm), se verifică cu autoturismul fără încărcătură — între planul de sprijin al roților și partea de jos a tubului traversei punții spate —, după ce mai întîi s-a verificat presiunea pneurilor. Se măsoară înălțimile de fiecare parte a autoturismului, se face media, iar diferența să nu depășească 10 mm.

La remontarea barelor de torsiune spate, după reglaj se are în vedere respectarea inițială a montării barelor (stînga-dreapta), se curăță canelurile, se ung cu vaselină (tip S.I. 33) și se folosesc garnituri noi.

REPARAREA PUNȚILOR ȘI SUSPENSIEI

În condiții normale de exploatare și solicitare a autoturismelor, piesele de la legătura cu solul au o rezistență și fiabilitate care permit utilizarea îndelungată a autoturismelor fără operații de întreținere și reparații.

La punțile și suspensia autoturismelor, uneori, datorită rulării în viteză pe drumuri neamenajate sau lovirii unor obstacole, mai ales în cazul unui accident de circulație, se impune executarea în „Service” a unor lucrări de demontare și înlocuire a unor piese. Se menționează că dacă s-au refăcut unele părți ale caroseriei este necesar a se executa reglarea și controlul unghiurilor direcției și înălțimile față și spate.

Astfel, la puntea față se pot executa lucrări de înlocuire și reparare a următoarelor categorii de piese: braț superior, braț inferior, butuc față, pivot, amortizor față, lamă de flexiune.

Similar, la puntea spate se pot

executa reparații ca: demontare-montare punte spate, pentru executarea unor înlocuiri de piese componente, repararea unui ansamblu braț și butuc spate etc.

PUNTEA FAȚĂ A. ÎNLOCUIREA BRAȚELOR — INFERIOR 2 ȘI SUPERIOR 1 — ALE PUNȚII FAȚĂ (FIG. 6)

Pentru executarea acestor lucrări sînt necesare următoarele S.D.V.-uri: extractor de rotule, dispozitiv pentru verificarea unghiului de fugă, dispozitiv pentru reglarea unghiului de fugă și tije de poziționare la înălțimea nominală. În figura 6 s-au notat cu: 1 — braț superior; 2 — braț inferior; 3 — ax braț; 4 — rotule; 5 — rotulă braț inferior; 6 — placă sprijin; 7 — siguranță; 8 — palier; 9, 10 — deflector; 11, 17, 18, 19 — rondelă; 12 — bușon obturator; 13 — garnitură etanșare; 14 — bucsă cu ace; 15 — șurub; 16 — placă fixare palier pe caroserie; 20, 21, 22 — piuliță.

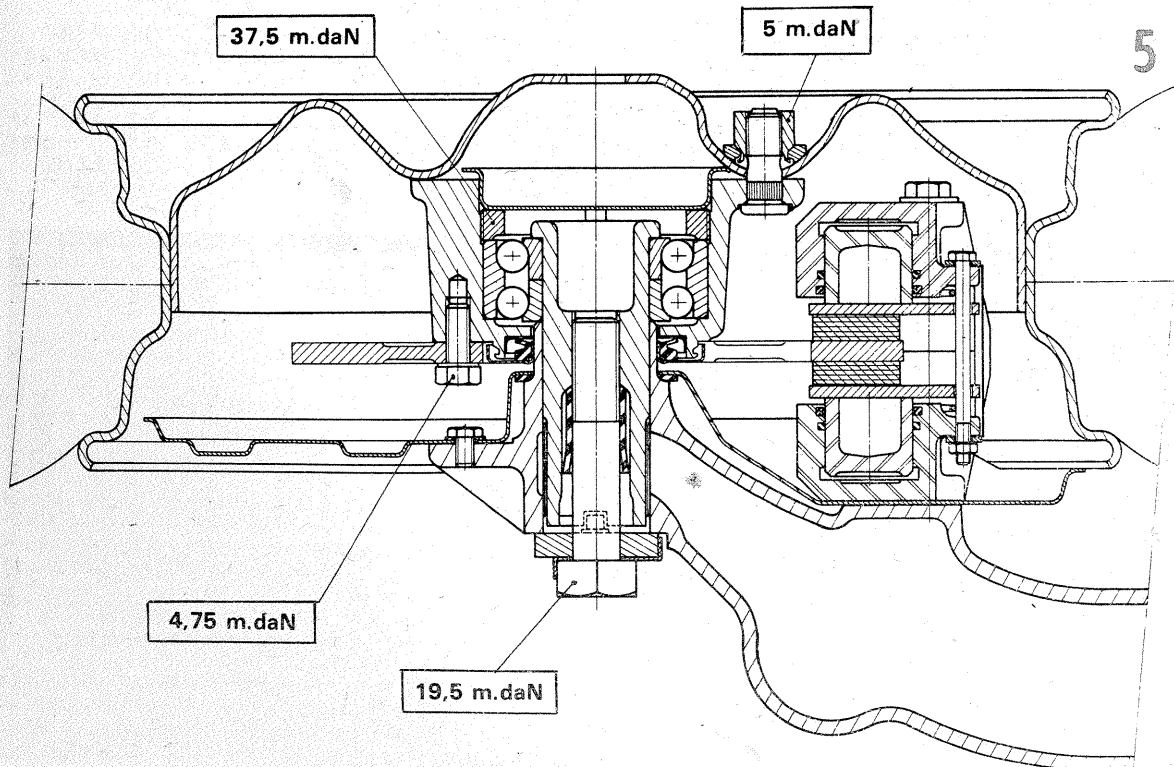
La demontarea brațului superior, după demontarea roții, a conductelor din zona de fixare superioară a amortizorului pe brațul superior (conducele antizgomot, de ieșire din schimbător și cutia inferioară la Olcic Special și conductele de acces aer cald în instalația de încălzire-ventilație și cutia inferioară la Olcic Club) și a capacului lateral de acces, după ridicarea brațului inferior, care se poate face cu ajutorul cricului, se decuplează (fig. 1): rotula de direcție (3, rotulele 1 ale brațului superior (cu ajutorul extractorului), fixările — superioară și inferioară — ale amortizorului. Această operație este necesară din două motive: datorită deformării brațului 1, la accidentarea autoturismului, sau din cauza uzurii avansate a rotulelor 4 de fixare pe caroserie (fig. 6).

La montarea brațului superior, operațiile se succed invers demontării, cu următoarele observații: la fixarea superioară a urechii amortizorului să se folosească un cuplu de strîngere de 2,7 daN·m pentru amortizoare tip „Boge” sau de 5,7 pentru amortizoare IPA-Sibiu sau „Allinquant”; verificarea stării burdufurilor de la bieletele de direcție. Culoarele amortizoarelor: față — gri (Olcic Special), bleu (Olcic Club) și gri pentru puntea spate, comune pentru Olcic Special și Club.

La demontarea brațului inferior, după suspendarea părții față a autoturismului, se execută: decuplarea rotulelor 2, 3 și 5 de pe portfuzetă (fig. 1) cu ajutorul unui extractor de rotule, amortizorul și apoi brațul inferior, numai după ce s-a repara poziția inițială a barei de torsiune. Dacă nu s-a executat această operație, se modifică înălțimea față și trebuie avute în vedere operațiile prezentate anterior (în funcție de înălțimea obținută prin montarea într-o anumită poziție a barei de torsiune, se reface montajul prin încercări pînă la egalizarea înălțimilor față stînga-dreapta).

La montarea brațului inferior se execută: verificarea stării garniturilor de etanșare a rotulelor; se poziționează brațul inferior (fără a se strînge cele 4 șuruburi de fixare pe caroserie), se controlează și reglează unghiul de fugă (operație obligatorie la fiecare demontare a brațului), se cuplează amortizorul (prin ridicarea brațului inferior cu ajutorul cricului) și rotulele, folosindu-se piulițe cu autofrînare noi. După ce s-a verificat dacă articulația tripodă (spre cutia de viteze) nu este decuplată, se montează roata și se lasă autoturismul pe sol.

(CONTINUARE ÎN NR. VIITOR)



TRABANT 601: CARBURATORUL 28 H 1-1

REGLAJE

(URMARE DIN NR. TRECUT)

Dr. Ing. MIHAI STRATULAT

La acest nou carburator se reglează poziția plutitorului, a clapetei de accelerație, a celei de aer (șocul), momentul de intrare în funcțiune a îmbogățitorului și, firește, ralantiul.

1. Reglajul plutitorului

Înainte de a monta capacul carburatorului se procedează la ajustarea poziției plutitorului. În acest scop, capacul se întoarce cu plutitorul în sus și se deformează lamela de sprijin A, pînă la realizarea cotei 17,6 mm, conform figurii 2. Măsurarea se face cu ventilul închis și într-o altă porțiune decât cea a lipiturii plutitorului. De fapt, acesta este un prereglaj deoarece verificarea finală se face după montarea capacului, măsurînd cota efectivă a nivelului combustibilului în cameră sub presiunea de 0,0045 MPa (ceea ce corespunde aproximativ presiunii exercitate de o coloană de combustibil înaltă de 600 cm); în acest scop se folosește un tub cu diametrul interior de 6 mm, iar măsurarea se face de la nivelul suprafeței superioare a corpului carburatorului, cota nominală trebuînd să fie $26 \pm 1,5$ mm, așa cum se arată în figura 3.

2. Reglajul poziției clapetei de accelerație

Întrucît la acest tip de carburator reglajul turației de ralanti nu se mai face acționînd asupra clapetei de accelerație, iar circuitul de mers încet este prevăzut cu un sistem de reglare a emisiei de CO, poziționarea inițială a clapetei de accelerație are o importanță esențială în comportarea carburatorului la ralanti.

Pentru reglare este necesar un comparator al cărui palpator să aibă o lungime de 20 mm, montat într-un suport, așa cum se vede în figura 4.

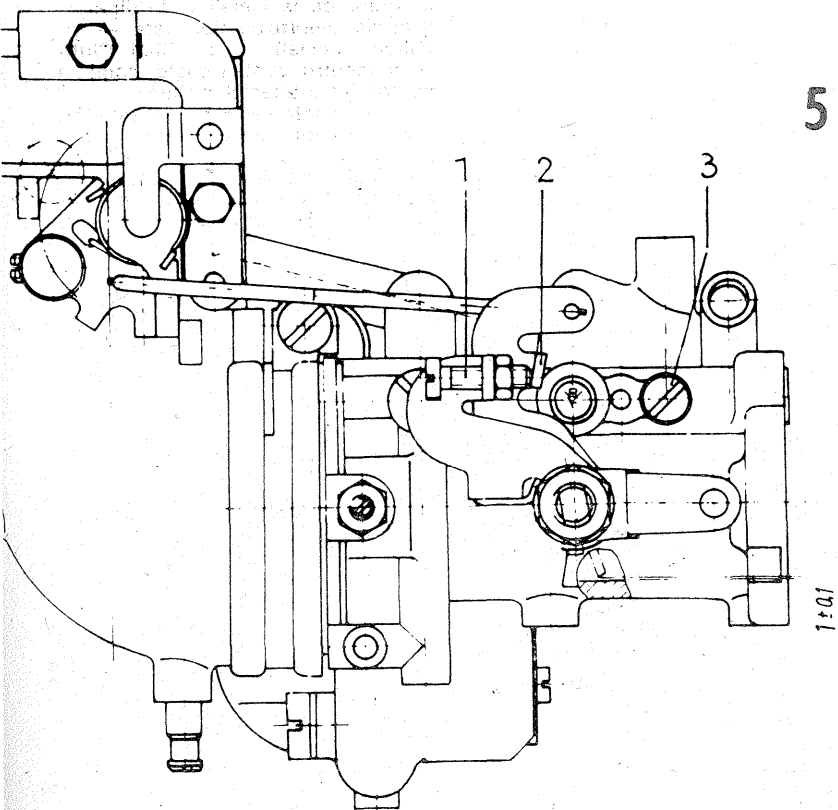
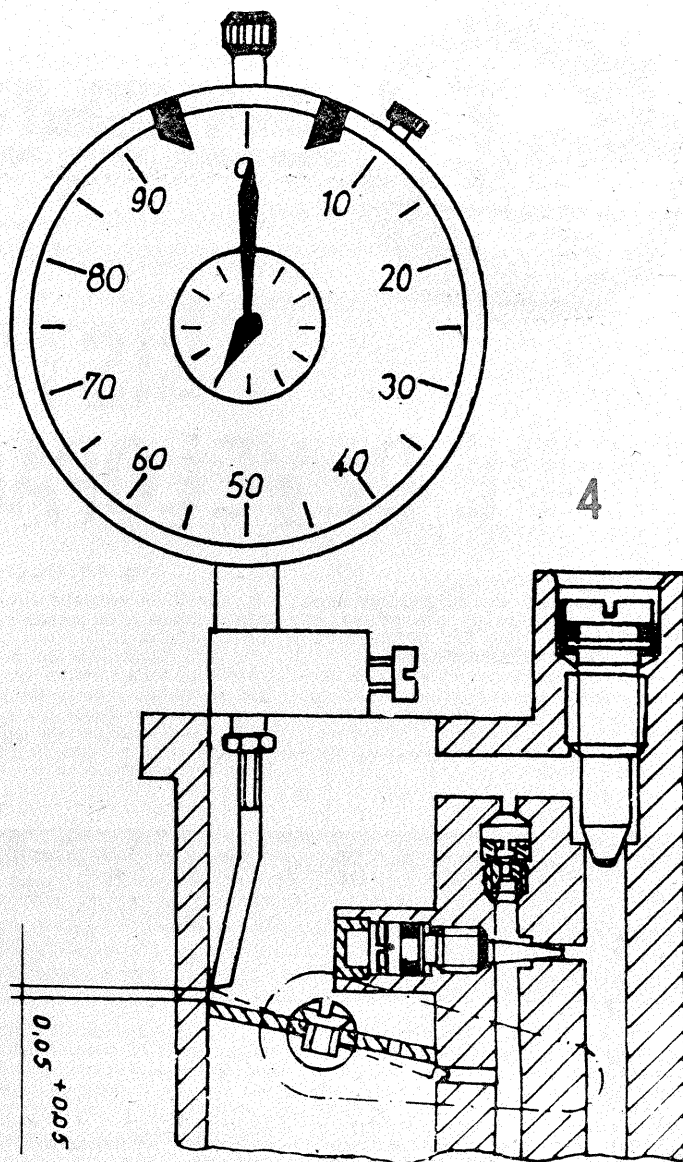
Înainte de reglare, carburatorul se demontează de pe autovehicul, se spală cu grijă la exterior și se suflă cu aer comprimat, observînd

atent gradul de curățenie al peretelui interior al camerei de carbuerație în zona clapetei de accelerație.

Este absolut interzisă suflarea cu aer comprimat a orificiului de ventilație a camerei de nivel constant (prin canalizația 5, fig. 1); de aceea în timpul curățării cu aer a camerei de carbuerație se va scoate în prealabil furtunul de legătură al canalizației menționate. Nerespectarea acestei condiții poate duce la deformarea plutitorului. Se verifică apoi planeitatea flanșei de sprijin a carburatorului, se slăbește contrapiulița șurubului 1 (fig. 3) de fixare a poziției clapetei de accelerație (folosînd o cheie tubulară de 7 mm) și apoi se desface șurubul pînă cînd clapeta se închide complet. În continuare, carburatorul se plasează ca în figura 4 și se montează comparatorul cu dispozitivul de fixare pe camera de carbuerație; aparatul se socotește bine fixat dacă vârful palpatorului se deplasează foarte aproape de peretele camerei de carbuerație, fără însă să-l atingă și se sprijină pe marginea conturului clapetei.

În această poziție, indicatorul comparatorului se aduce la zero, după care se începe stringerea lină a șurubului 1 pînă cînd pe cadran se citește indicația $0,05 \pm 0,05$ mm (ceea ce corespunde unei deschideri unghiulare de $0,2 + 0,2$ grade). Se strînge apoi contrapiulița fixînd șurubul de reglare în această poziție, avînd însă grijă ca în timpul acestei operațiuni reglajul să nu fie deteriorat, și, în final, se asigură piulița pe șurub prin aplicarea unui strat de vopsea.

Ca la toate carburatoarele cu astfel de circuite de mers încet, reglajul poziției clapetei de accelerație trebuie făcut foarte minuțios, deoarece abateri pozitive foarte mici fac imposibilă stabilirea turației de



ralanti în limitele prescrise de constructor sau creează pericolul întepenirii clapetei în poziție închisă.

3. Reglajul pornirii

Pentru asigurarea pornirii ușoare cînd motorul este rece, sînt necesare o strictă interpoziționare și deplasare reciprocă a celor două clapete ale carburatorului: cea de accelerație și cea de aer (șocul). La carburatorul 28 H 1-1 aceasta înseamnă că atunci cînd clapeta de aer este complet închisă, cea de accelerație trebuie să aibă o deschidere unghiulară de $16 \pm 1^\circ$, ceea ce corespunde unui joc dintre marginea ei și peretele camerei de carbuerație de $1 \pm 0,1$ mm. Și acest reglaj reclamă demontarea carburatorului de pe motor; în prealabil se verifică dacă este bine fixată camera de carbuerație la corp cu cele șase șuruburi al căror moment de strîngere este de $2,5 \pm 0,5$ Nm.

Prin acționarea pîrghiei de comandă se deschide puțin clapeta de accelerație 1 (fig. 2) și se introduce între marginea ei și peretele perfect realizată la diametrul de 0,9 mm, întepenind-o în această poziție în locul de maximă deschidere.

Cu clapeta de aer închisă complet se desface contrapiulița șurubului 1 (fig. 5) și se acționează șurubul pînă cînd capătul său abia ia contact ușor cu suportul 2 al pîrghiei de legătură cu clapeta de aer, astfel încît clapeta de accelerație să nu mai poată fi mișcată. Contrapiulița se strînge în această poziție în care tija de reglaj cu diametrul de 0,9 mm trebuie să poată fi deplasată relativ ușor între peretele camerei de carbuerație și clapeta de accelerație, dar o altă grosă de 1,1 mm să nu poată fi introdusă în acest interstițiu.

4. Reglajul îmbogățitorului

După cum se știe, îmbogățitorul trebuie să intre în funcțiune numai atunci cînd este necesar un spor de putere: la depășiri în alură rapidă, la urcarea unor pante etc.

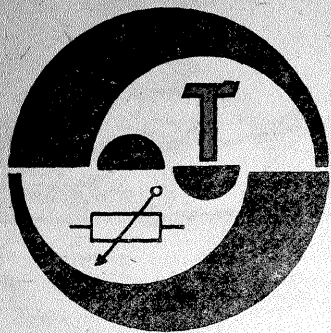
Procesul are loc, se înțelege, în detrimentul economicității, deoarece el se realizează prin îmbogățirea amestecului. Intrarea în funcțiune a acestui dispozitiv se efectuează prin deschiderea supapei sale care intervine după ce clapeta de accelerație a parcurs o distanță unghiulară de $38 \pm 3^\circ$; aceasta corespunde unei deplasări a marginii clapetei de $7,95 \pm 0,4$ mm și unui joc între aceasta și peretele camerei de carbuerație de $4,2 \pm 0,3$ mm.

Pentru reglarea momentului acționării supapei îmbogățitorului, carburatorul trebuie scos de pe motor, după care se demontează capacul camerei de nivel constant, pentru a putea avea acces la tija 12, care comandă supapa îmbogățitorului 13 (fig. 1). S-a văzut că acest moment intervine numai după ce s-a consumat suma jocurilor din lanțul cinematic care leagă cama 11 de supapa 13. Pentru a respecta condiția menționată de deschidere a clapetei de accelerație, acest joc măsurat pe tija 1 (figura 6) trebuie să fie de 23 ± 1 mm.

Mărirea cursei totale, realizată prin desurubarea piuliței de reglare 2, face ca îmbogățitorul să intre în funcțiune mai tîrziu, iar vehiculul să răspundă lenes la comenzile de accelerație și invers, înșurubarea piuliței 2 determină intrarea prea timpurie în funcțiune a îmbogățitorului — fără ca aceasta să fie necesar —, prilejuind o inutilă risipă de carburant.

În amănunt, operațiunea de reglare decurge astfel: după demontarea carburatorului de pe motor se verifică și, eventual, se reglează poziția de ralanti a clapetei de accelerație, așa cum s-a descris anterior.

(CONTINUARE ÎN NR. VIITOR)



SISTEM DE DEVELOPARE

Ing. M. FLORESCU

În precedentul articol (vezi numărul trecut) v-am prezentat dezvoltarea în doză cu bandă Korex sau rolă spiralată, cu avantajele și dezavantajele sale.

Acum prezentăm cel de-al doilea sistem de dezvoltare uzual, și anume cel cu ramă sau tambur deschis. În principiu acesta are forma din figura 1. Dimensiunile tamburului depind de pelicula prelucrată ca în tabelul 1.

16, o gură de ventilație-uscare 19, care este racordată la un uscător de păr cu un furtun de cască 20.

Această construcție se poate realiza simplificat astfel: fiecare vas de soluție are un furtun propriu de legătură cu cuva, accesul soluției din borcan fiind reglat cu un robinet de laborator sau, mai simplu, cu o clemă pe furtun. Solarizarea se poate face cu o simplă înălțare

TABELUL 1

| Tipul peliculei | Lungimea peliculei | Diametrul tamburului | Număr de spire | Lungimea tamburului | Pasul spirelor |
|-----------------|--------------------|----------------------|----------------|---------------------|----------------|
| 8 mm | 10 m | 200 | 16 | 200 | 12 |
| 2x8 mm | 10 m | 250 | 13 | 260 | 20 |
| 16 mm | 15 m | 300 | 16 | 320 | 20 |
| 16 mm | 30 m | 300 | 32 | 630 | 20 |

Tamburul se poate realiza fie din PVC sau polistiren, fie din lemn. Prima soluție este cea mai recomandabilă, dată fiind rezistența mare la acțiunea soluțiilor de dezvoltare. În acest caz asamblarea se face prin lipirea cu un adeziv obținut prin dizolvarea în solvenți organici a deșeurilor provenite din prelucrarea pieselor constitutive. Distanța între baghetele tamburului este aproximativ egală cu pasul de rulare a peliculei. Grosimea baghetelor este de circa 4 mm, secțiunea pătrată cu colțurile rotunjite fiind cea mai indicată.

Axul tamburului va avea un diametru mare (6—10 mm), dat fiind faptul că el asigură rigidizarea întregii construcții. Rularea pe tambur se face prin agățarea capătului peliculei pe o baghetă, rulind apoi egal până la sfârșit, care se asigură prin agățare sau lipire cu bandă adezivă. Rularea se face cu emulsia spre exterior.

În cazul în care se realizează tamburul din lemn, el va fi protejat cu mai multe straturi de palux, pentru a împiedica deformarea lui la umezeală. Procesul de lucru decurge în două poziții ale tamburului (figura 2). În poziția A, articulațiile sunt montate în poziția extremă, tamburul fiind parțial imersat în tava cu soluție de lucru. În această poziție se asigură o rotire continuă cu circa 1 rotație pe secundă. Poziția B, cu tamburul ridicat, servește la operațiile de rulare-derulare, solarizare și uscare.

Avantajul sistemului de dezvoltare cu tambur constă în simplitatea dispozitivului și în reducerea riscului de zgiriere a peliculei la manipularea pe rolă. Dezavantajele sunt: necesitatea lucrului în întuneric, consumul mai ridicat de soluții și oboseala accentuată la rotirea tamburului.

Avantajele sistemului ne-au condus la ideea realizării unui sistem complex, care să asigure dezvoltarea în regim automat sau semiautomat, cu eliminarea tuturor dezavantajelor de mai sus. Aparatul de dezvoltat propus este prezentat în figura 3.

În compoziția acestuia intră tamburul 1, care este prevăzut suplimentar cu un ghidaj elicoidal pe toată lungimea. Tamburul se introduce pe circa 45% din înălțime în cuva de dezvoltare 2. Cuva este rigidizată în cutia 3 și este prevăzută cu ștufuri de admisiune și evacuare a soluției (4 și 5). Pe postamentul cutiei 6 se montează un motor 7, care antrenează prin curea 8 fuzia 9, solidară cu axul tamburului. Pe o poliță 10 se află instalate borcanele cu soluții 14, alimentarea cu apă — racordul 11 —, cuva de amestec 15. Borcanele se recomandă să fie închise într-o cutie rigidă pe montantul vertical 12 și acoperită cu capacul 13.

Peste tambur se aplică capacul 16. Acesta este prevăzut cu un sistem de închidere 17, care împiedică accesul luminii în instalație, cu o lampă de solarizare

rare a capacului, uscarea fiind realizată de asemenea cu capacul ridicat. În acest caz soluția constructivă este relativ similară cu cea a dozei acționate electric.

Vom detalia mai jos unele elemente de construcție care sînt comune realizării unui sistem cu funcționare manuală sau automată.

În figura 5 se evidențiază modul de realizare a spiralei pe tambur. Pentru început trebuie să atragem atenția că, spre deosebire de tamburul deschis de mai sus, aici recomandăm soluția tamburului închis, care conduce la reducerea substanțială a consumului de soluții (volumul efectiv de soluție fiind de numai 3,5—3,6 l pentru filmele de 16 mm/30,5 m).

Tamburul se realizează astfel: se taie cele două capace circulare din PVC cu grosime de circa 8—10 mm. Se fixează capacele pe un ax metalic de 6 mm diametru (obligatoriu cromat) și se fixează prin lipire cu adezivi epoxidici. După ce ne-am asigurat că procesul de lipire este încheiat, trecem la îmbrăcarea tamburului cu folie de PVC care se poate procura din librării. Lipirea foliei se face cu mare atenție, pentru a asigura etanșarea perfectă pe toată circumferința. Folia se suprapune pe o lățime de 10 mm în zona de închidere. Lipirea se face cu un adeziv de tip PCD, obținut prin dizolvarea PVC în diclorețan (12—25% PVC). **Acest adeziv se utilizează exclusiv în aer liber!** În timpul lipirii se va evita focul, vaporii de solvent fiind inflamabili. Suprafețele se

asperizează cu smirghel fin, se pensulează cu diclorețan și apoi cu adeziv. Lipirea se va face repede, viteza de uscare a adezivului fiind mare. În acest sens se recomandă o lipire la temperaturi până la 20°C și o umiditate a aerului cât mai redusă.

Uscarea completă durează circa 24—36 ore. După acest interval se va verifica etanșeitatea tamburului. Eventualele scăpări se pot corecta cu un adeziv mai concentrat, numai după ce ne-am asigurat că am eliminat orice urmă de lichid din interiorul și exteriorul tamburului.

Pe suprafața tamburului se lipesc cu același adeziv baghetele suport cu o grosime de circa 3,5—4,5 mm. După uscarea completă a acestora se montează spirala de ghidaj. Aceasta se realizează din tub de PVC plastifiat de circa 2—3 mm diametru. Asamblarea se face prin lipire cu adeziv, fiind posibilă și o fixare cu segmente de ace cu gămălie din inox, montate cald. Această soluție este recomandată în cazul tamburului realizat din lemn.

Tamburul din lemn este mai greu de realizat, chiar dacă materialul este poate mai accesibil, și de aceea nu vom descrie în detaliu realizarea lui, menționînd numai că înainte de a fi utilizat trebuie să impregnăm perfect cu palux întreaga construcție.

În figura am notat 1 — tambur, 21 — baghete longitudinale, 22 — spirala, 23 — ace de montaj. Pasul indicat în figură corespunde peliculei cu, lățimea totală de 16 mm (detaliu A).

În figura 6 prezentăm sistemul de închidere a capacului la cutia mașinii, care asigură opacitatea. Notațiile corespund cu figura 3. Este recomandabil ca atât cutia, cât și capacul să fie realizate din masă plastică pentru a asigura stabilitatea în timp la acțiunea soluțiilor chimice utilizate. În acest caz asamblarea sistemului de închidere se face prin lipire cu adeziv.

Sistemul de admisiune a aerului de uscare este prezentat în figura 7. Racordul 20 este adus la un trunchi de piramidă realizat din tablă 24, care se montează etanș pe capacul 16. La montare se mai utilizează o ramă 25, prevăzută cu o placă metalică subțire, care asigură intercalarea pe circuitul aerului cald a unui filtru 27, realizat dintr-un strat de filtru ce se procură ca piesă de schimb la hotelul de bucătărie METAFIL. Asamblarea se face cu șuruburi sau chiar nituri, dacă realizăm capacul integral din tablă. Se va face o etanșare corectă prin chituirea asamblării și vopsire.

În figura 8 prezentăm corpul lămpii de solarizare 18. Acesta constituie în același timp și sistemul de evacuare a aerului de uscare. În corpul 18, realizat din tablă, se montează lampa 28, cu două so-

cluri 29. În spatele lămpii se montează un fund fals din tablă, situat la circa 8—10 mm de fundul corpului 18. Acesta acoperă o serie de circa 25—30 orificii de 4 mm diametru, făcute în corpul lămpii 18, împiedicînd pătrunderea luminii.

Montarea se face cu ajutorul a două rame metalice 30, între care se montează un ecran din material plastic mat alb, care are la margine practicate orificii pentru aerul de uscare. Dacă lampa este egală sau mai mare în lungime decît tamburul, acest ecran poate lipsi. Alimentarea lămpii se face numai printr-un sistem electronic cu convertizor, pentru a permite aprinderea instantanee. Se poate utiliza oricare dintre sistemele prezentate de revista noastră, cu condiția să corespundă puterii tubului ales după criteriul lungimii.

Cuva de amestec prezentată în figura 9 are două variante de construcție, pentru admiterea soluțiilor și pentru evacuarea lor.

În principiu este formată dintr-o galerie 15, pe care se montează electroventilele sau robinetele, precum și racordul de apă de spălare 11. Legătura cu cuva de dezvoltare se face prin tubul 5. Sistemul de evacuare are aceeași structură, cu diferența că electroventilele se montează sub galerie.

Schema-bloc a circuitului soluțiilor este prezentată în figura 10.

În partea superioară se află borcanele cu soluție 14, de tipul celor de laborator cu racord de golire la partea inferioară. Prin ventilele 32 acestea se leagă la galeria 15, la care se racordează și apa de spălare prin racordul 11 și ventilul 33. Galeria de amestec este legată cu cuva 2. Galeria de evacuare 34 asigură trecerea soluțiilor uzate, spre recipientele 39, prin ventilele 35, fie a apei de spălare, prin ventilul 37, la racordul canal 38.

Electroventilele utilizate au o construcție specială, din masă plastică, pentru a rezista la acțiunea soluțiilor (figura 11).

Ele se compun din corpul inferior 41, corpul superior 42, bobina 43 și elementul mobil 46. În partea superioară se află un racord 42', care se poate realiza și direct din corpul superior 42. Elementul mobil se compune din conul de etanșare 47, corpul 44 și piesa magnetică 45. La alimentarea bobinei, elementul mobil se ridică și deschide calea soluției prin ventil. Ventilele de acest tip se utilizează numai pe circuitul soluției, pe circuitul de spălare fiind utilizate ventile electrice clasice pentru apă. În figurile 12, 13 și 14 sînt prezentate detaliile de construcție ale ventilelor. Piesa 45 se introduce în lăcașul piesei 44, care apoi se lipeste cu multă atenție cu conul 47. Cele două corpuri se asamblează de asemenea prin lipire. Bobina se dimensionează pentru o tensiune de lucru de 24 V curent continuu și are circa 2 000 de spire cu conductor de 0,25—0,3 mm diametru. Ea se bobinează direct pe corpul asamblat al ventilului și se izolează cu lac.

Dacă dorim să realizăm un sistem cu un grad oarecare de automatizare, este necesar să ne prevedem un sistem de control asupra nivelului soluțiilor din cuva 2, și anume un senzor care să ne

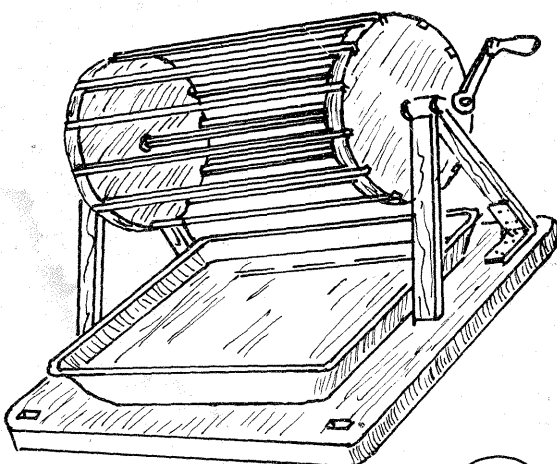


FIGURA 2.

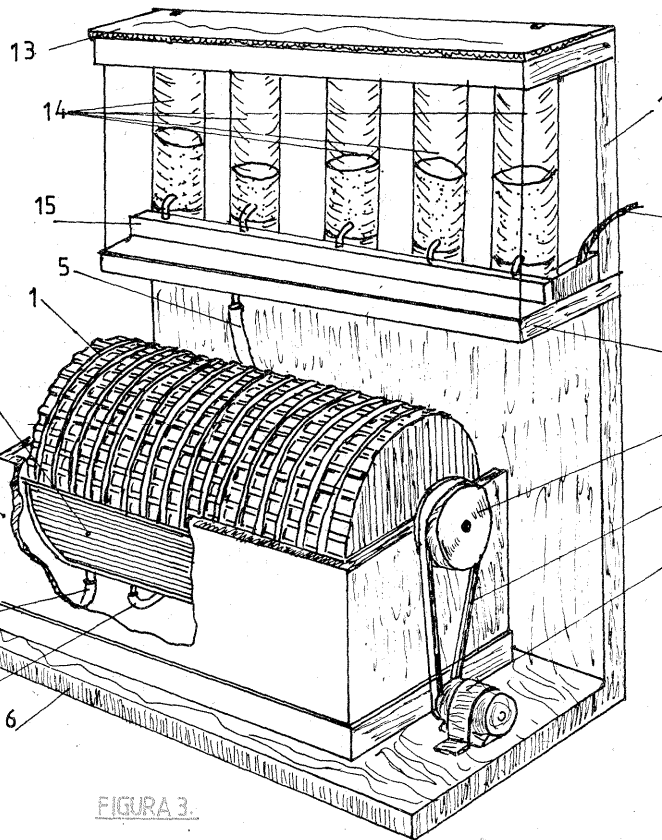


FIGURA 3.

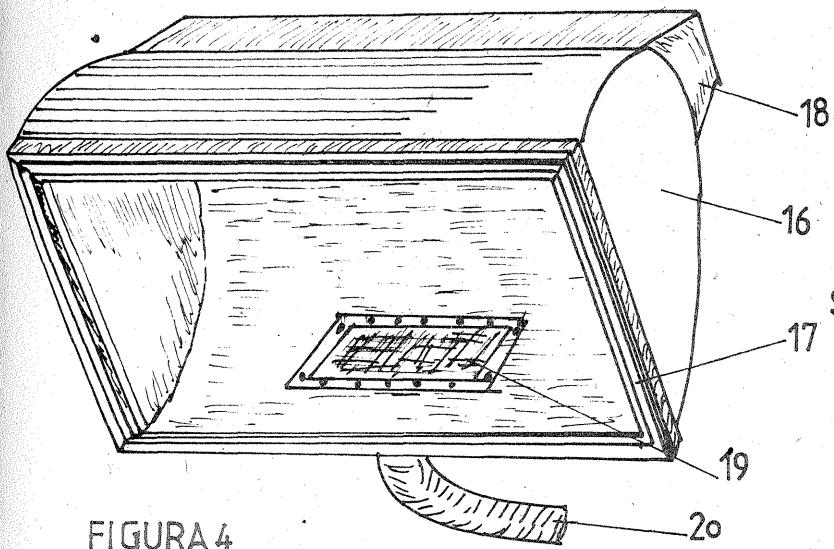


FIGURA 4

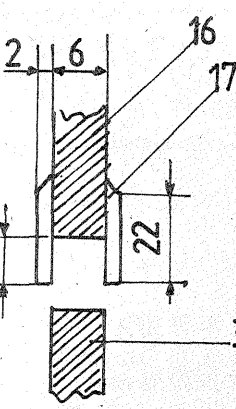
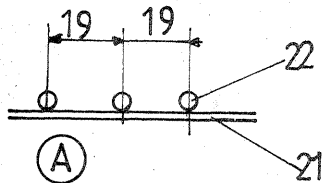


FIGURA 6

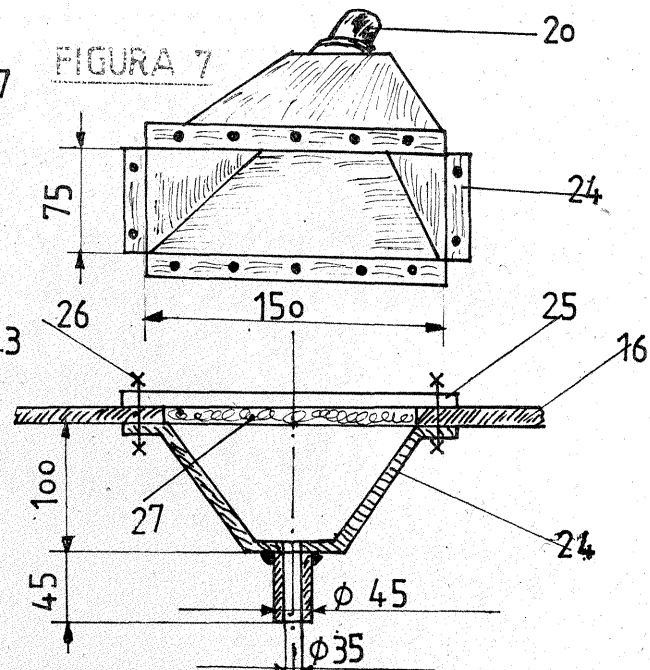


FIGURA 7

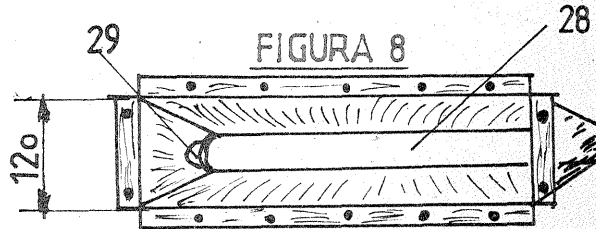


FIGURA 8

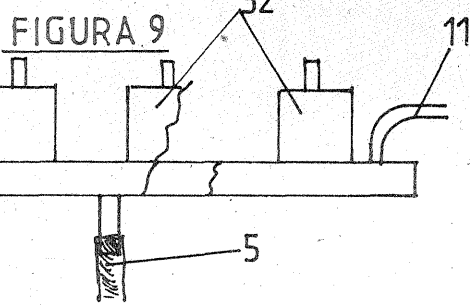
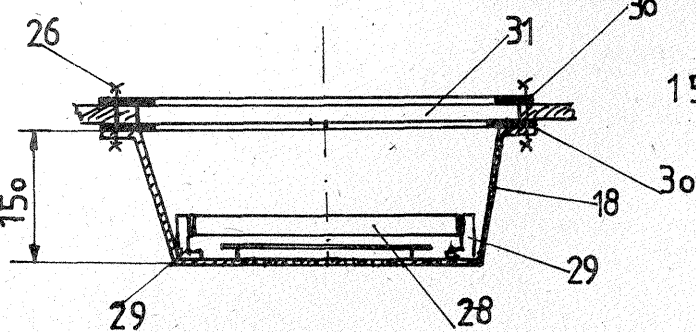


FIGURA 9

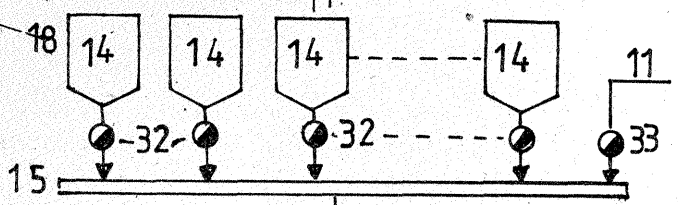


FIGURA 10

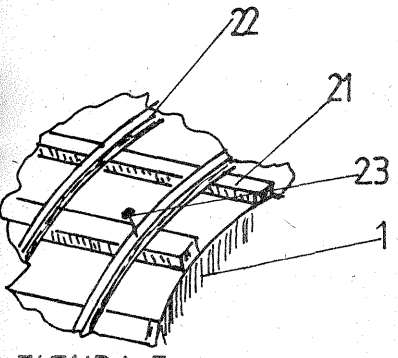
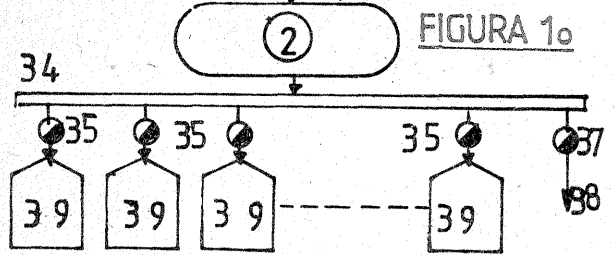


FIGURA 5



(41)

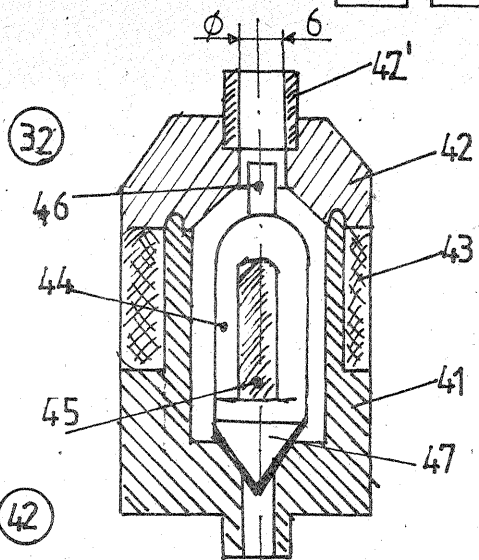


FIGURA 11

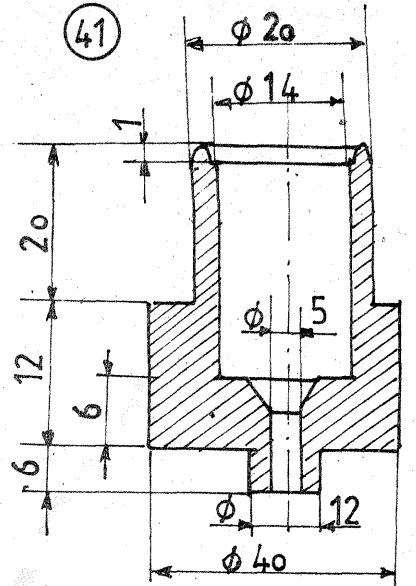


FIGURA 12

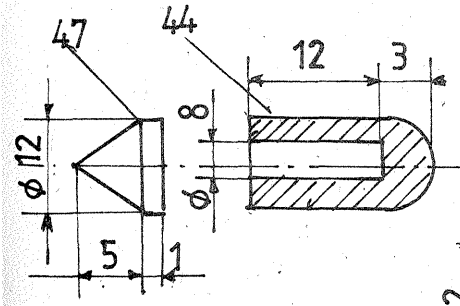


FIGURA 14

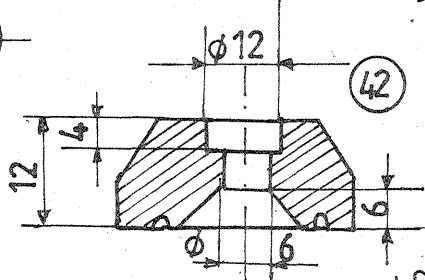


FIGURA 13

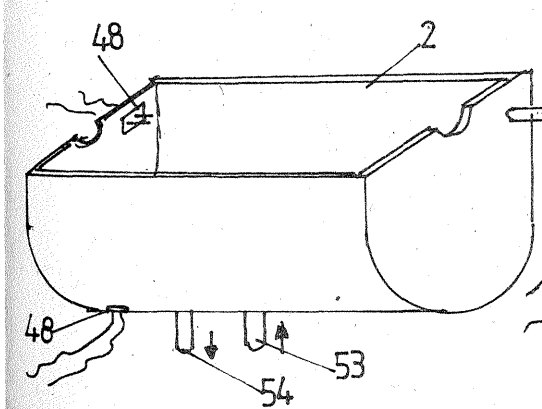


FIGURA 17

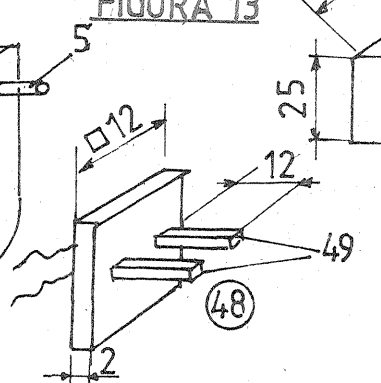


FIGURA 15

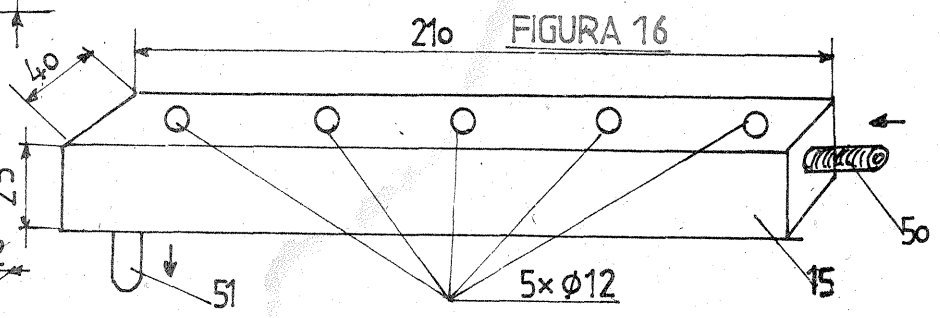


FIGURA 16

anunțe umplerea cuvei la nivelul de lucru și unul care să ne anunțe golirea completă a cuvei. Senzorii 48 se realizează ca în figura 15, prin încadrarea într-o piesă din PVC a doi pini de wrapare aurii 49. Acest element se lipește cu atenție într-o deschidere practică în cuva 2, ca în figura 17.

gura 16. Racordul de apă 50 se montează lateral, iar racordul de evacuare spre cuvă 51, care se leagă la furtunul 5, se montează la extremitatea opusă a galeriei, care va avea acest capăt mai jos decât celălalt cu câțiva milimetri pentru a ușura golirea.

Galeriile se realizează din PVC sau polistiren de 1,2-2 mm grosime, ca în fi-

(CONTINUARE ÎN NR. VIITOR)

LOCUIȚA NOASTRĂ

RECUPERĂRI DE CĂLDURĂ ÎN LOCUINȚĂ

MIRCEA MUNTEANU, OȚELU-ROȘU

În cadrul locuinței, fiecare încăpăre ca spațiu bine determinat prin pereți, pardoseală și tavan are întotdeauna o temperatură interioară diferită de cea a mediului înconjurător. În încăperi, temperatura de sub tavan poate fi uneori dublă sau chiar triplă față de cea de la nivelul pardoselii. Datorită acestei diferențe de temperatură, care atrage după sine o diferență de presiune, aerul cald mai ușor se ridică, locul lui fiind luat de aerul rece ce pătrunde pe la neetanșitățile timpării. Aerul este în continuă mișcare datorită curenților ce se creează la circulația de aer rece și absorbției la aparatele de încălzire. Cu cât temperatura aerului exterior locuinței este mai scăzută, cu atât se face mai simțită circulația de aer rece în interior. Acest lucru se observă mai ales iarna. Pentru a diminua cantitatea de aer rece ce poate intra în încăperi trebuie depistate locurile neetanșă, urmînd a se lua măsuri în consecință.

ETANȘĂRI

În completarea celor prezentate în articolul „Etanșarea ușilor și ferestrelor” apărut în „Tehnum” 11/1985, prezentăm alăturat modul de înlăturare a unei surse de aer rece în locuință, mai puțin observată — rostul dintre toc și timpărie de lemn și zidărie. Normele prevăd ca, la montarea ușilor și ferestrelor, pe partea tocului dinspre zidărie să se fixeze carton asfaltat. În acest fel, lemnul tocului nu va prelua umiditate de la zidărie și de la tencuială. Dacă acest carton asfaltat lipsește, tocul se umezește, uscarea în timp a lui permițînd apariția unui rost de 2—3 mm. Prin acest rost pătrund în încăperi cantități masive de aer rece.

Pentru etanșare (conform figurii 1) se demontează pervazul (3), iar în rostul dintre zidărie (1) și toc (2) se introduc materiale de umplură (4), fișii de carton, pastă de ipsos, bucăți textile etc. După umplerea golului, pe fața văzută a peretelui se va lipi o fișie de hîrtie (5) astfel încît să acopere rostul, dar să fie complet acoperită de pervaz. Pervazul se va monta la loc prin batere în cuie.

APARATE DE ARDERE

O problemă mai delicată legată de aerul rece ce se infiltrează în încăperi este arderea din focare. În procesul de ardere se consumă oxigen luat din aerul încăperii. Fumul, funinginea și bioxidul de carbon, ca produse principale de ardere, nu sînt componente care să compenseze lipsa de oxigen, motiv pentru care nu se țîn în încăperi, ci se evacuează pe coșuri. Cum aer se consumă mereu la arderile din focare, oricît de etanș am realiza îmbinările timpării (să nu le lipim, prin absurd), în încăperi tot va pătrunde aer rece. Îmbunătățirea parametrilor de ardere și preluarea de aer pentru ardere din afara încăperii sînt cele mai eficiente metode de stopare a afluxului de aer (întotdeauna în exces) spre focare. Îmbu-

nătățirea parametrilor de ardere se asigură prin menținerea unor sobe cu plitele în perfectă stare de etanșitate, prin astuparea tuturor surselor de aer fals la focar sau coș și prin utilizarea la strictul necesar a aparatelor de ardere.

Absorbția aerului necesar arderii din afara încăperii este o idee novatoare care trebuie materializată cu multă grijă pentru a nu contraveni normelor în vigoare.

IZOLAREA PODURILOR

Necesitatea căldurii în locuință se face simțită la noi în țară începînd din luna octombrie și pînă în luna aprilie a anului următor. Pentru a nu pierde inutil căldura din aerul încăperii la contactul cu tavanul, este necesar ca, peste acesta, în pod, să se execute termoizolație. Ca materiale termoizolatoare se pot folosi vata minerală, pîslă, poliesterul, rumegușul, deșeurile de carton de la ambalarea mobilei, scîndurile, lipitură din argilă amestecată cu paie etc.

Pentru exemplificare prezentăm în continuare două moduri de izolare termică a podurilor în diferite situații de execuție a tavanului, cu folosirea diverselor materiale izolatoare.

Izolarea termică a tavanului alcătuit din tencuială pe trestie aplicată pe scînduri (fig. 2)

În soluția cea mai urgentă, dar nu cea mai utilă și economică, tavanele se execută prin baterea scîndurilor (2) în grinzi (1). De jos în sus, peste scînduri, prin batere în cuie și rigidizare cu sîrmă zincată de 0,5—0,75 mm diametru, se fixează un rînd de trestie sau șipci. Peste trestie sau șipci se execută tencuiala tavanului (3). De cele mai multe ori, la executarea caselor nu prea interesează podurile, locatarii mulțumindu-se să asigure etanșarea streșinilor și a calcanelor. O dată cu trecerea anilor, cînd treptat cresc și pretențiile de confort, mai devreme sau mai tîrziu se vor analiza și pierderile de căldură prin tavan. Se va ajunge foarte repede la concluzia că tavanele trebuie izolate termic la partea din pod. Cum se procedează: lateral, la mijlocul fiecărei grinzi (1), longitudinal de o parte și de alta, se bat cu cuie rigle (4) de aproximativ 4—5 cm latură. Peste rigle se așază transversal bucăți de scîndură (5), iar peste acestea, pînă la fața superioară a grinzilor, se pune stratul de material termoizolant (6). Dacă se folosește rumeguș ca material izolant, peste scînduri se vor pune hîrtie, folie plastică sau carton asfaltat, pentru a împiedica scurgerea acestuia printre rosturile scîndurilor.

Peste rumeguș se va pune o lipitură de argilă de 2—3 cm grosime.

Izolarea în pod a planșelor din beton armat folosind saltele din pîslă, vată minerală sau plăci din polistiren expandat (fig. 3)

Unele locuințe proprietate personală mai recent construite, precum

și apartamentele ultimului nivel din blocurile cu acoperișuri alcătuite din șarpantă de lemn au tavanul executat dintr-un planșeu de beton armat (1), tencuit (3). Elementele de lemn ale acoperișului se rezază pe planșeu de beton armat. Pentru încăperile mai reci, tavanele din beton armat joacă rolul de punți termice (zone sensibile la umezire și favorabile dezvoltării mușgaiului negru). Pierderile de căldură prin betonul tavanului fiind mari, trebuie ca planșeu să fie izolat în pod. Peste planșeu (1), între grinzi (2) se pun saltele sau plăci de material termoizolant (4) sau chiar un mortar slab ce conține cca 50% rumeguș. Peste grinzi se bat în cuie scînduri sau lățuroaie. Peste scînduri se va întinde o lipitură de argilă ce va împiedica răcirea pernei de aer (6).

RECUPERAREA CĂLDURII DIN GAZELE DE ARDERE

Specialiștii în domeniu au concluzionat că nu de surse de energie se duce lipsă în prezent, ci de inventivitate concretizată în tehnologii utile de producere a energiei din surse neconvenționale. La prețuri care să concureze energia combustibililor minerali.

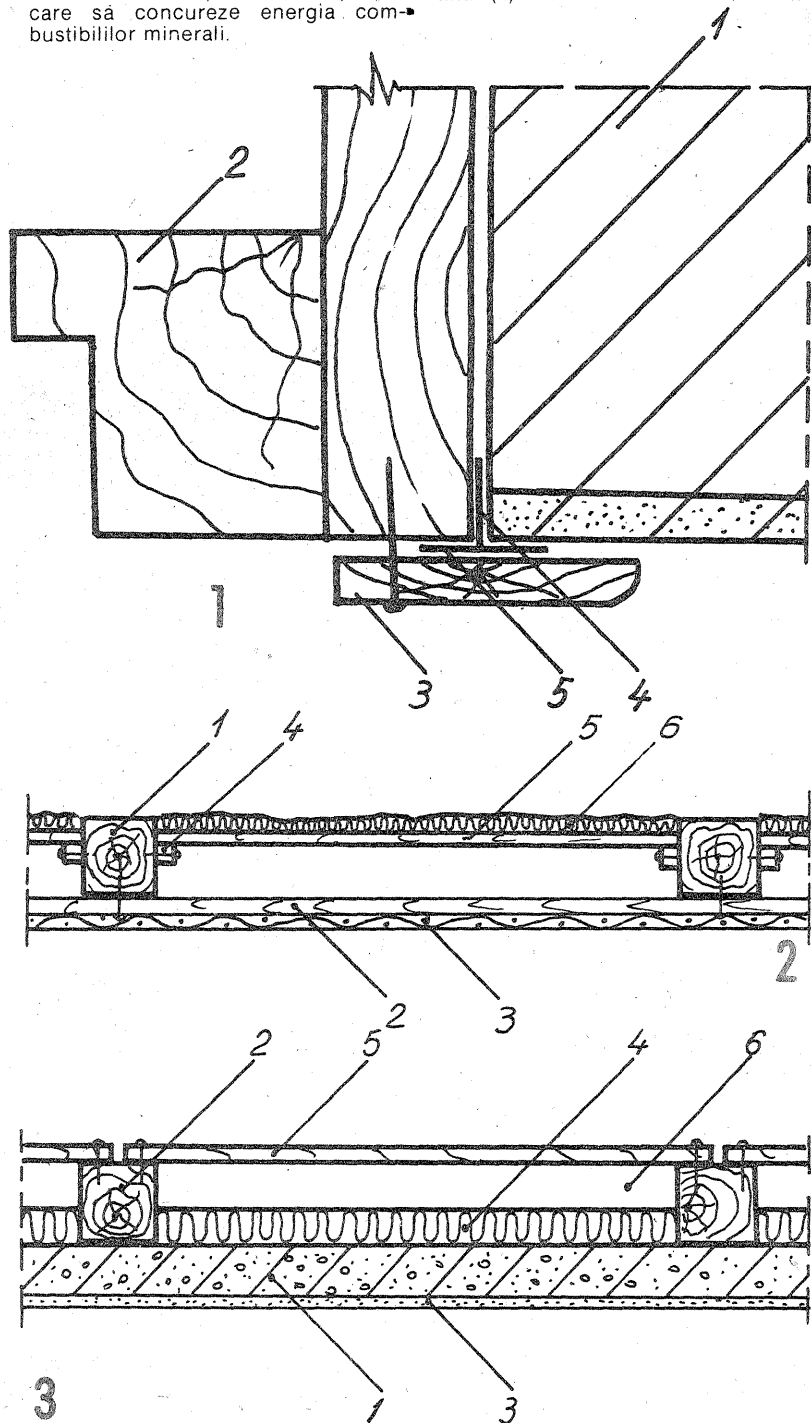
Pentru buna gospodărire a energiei trebuie să se acționeze pe cele trei direcții principale:

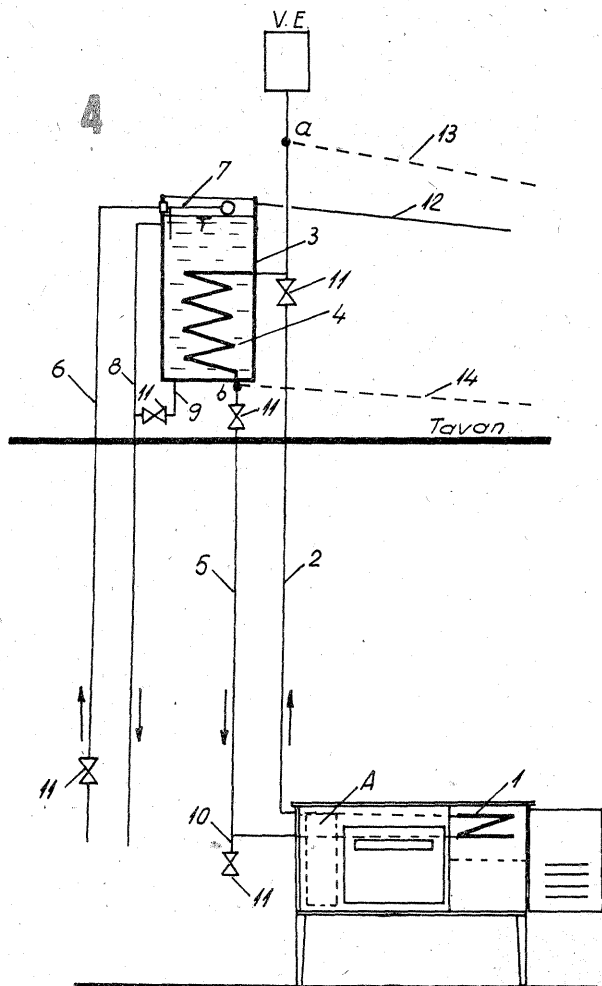
- stăvilirea risipei;
- folosirea în scopuri strict necesare;
- recuperarea unei părți din căldura gazelor de ardere, deoarece este știut că sursa de energie cea mai bună este economisirea energiei.

În continuare prezentăm un sistem simplificat al unei instalații pentru producerea de apă caldă menajeră folosind căldura gazelor arse de la sursele termice aflate în funcțiune în locuință (mașina de gătit din bucătărie). Apa caldă produsă se poate utiliza în baie la lăvoar și duș, iar în bucătărie la chiuveta.

Montarea unei serpentine în focarul mașinii de gătit (fig. 4)

Soluția propusă se bazează pe ideea creării unei miniinstalații de încălzire centrală care, prin circuitul serpentine (1) — conductă de tur (2) — vas de expansiune (V.E.) — conductă de retur (5) și prin serpentina (4) introdusă în circuit, să în-





calzească apa din bazinul (3) amplasat în podul casei.

Printr-un circuit complet separat (6-7-8) se asigură circulația apei reci la bazin și a celei încălzite la consumatori. Schema funcțională a instalației este următoarea: prin conducta (10) se introduce apă în rețeaua instalației de încălzire, după care prin conducta (6), cu robinetul (11) de pe conducta de golire (9) închis, bazinul se umple cu apă. Instalația funcționează atunci când robinetele (11) de pe conductele (9) și (10) sînt închise și cînd cele de pe conductele (2), (5), (6) sînt deschise. Făcînd focul în mașina de gătit pentru diverse nevoi cîrînte (încălzirea încăperii, preparare mîncare etc.), apa se încălzește în serpentina (1), urcă prin conducta (2), iar prin serpentina (4) încălzește apa din bazinul (3) aflat în pod. Apa mai rece coboară prin conducta (5), iar după încălzirea în focar își reia circuitul ascendent. Pentru preluarea dilatărilor generate de încălzirea apei, instalația este prevăzută în punctul cel mai înalt cu un vas de expansiune (V.E.).

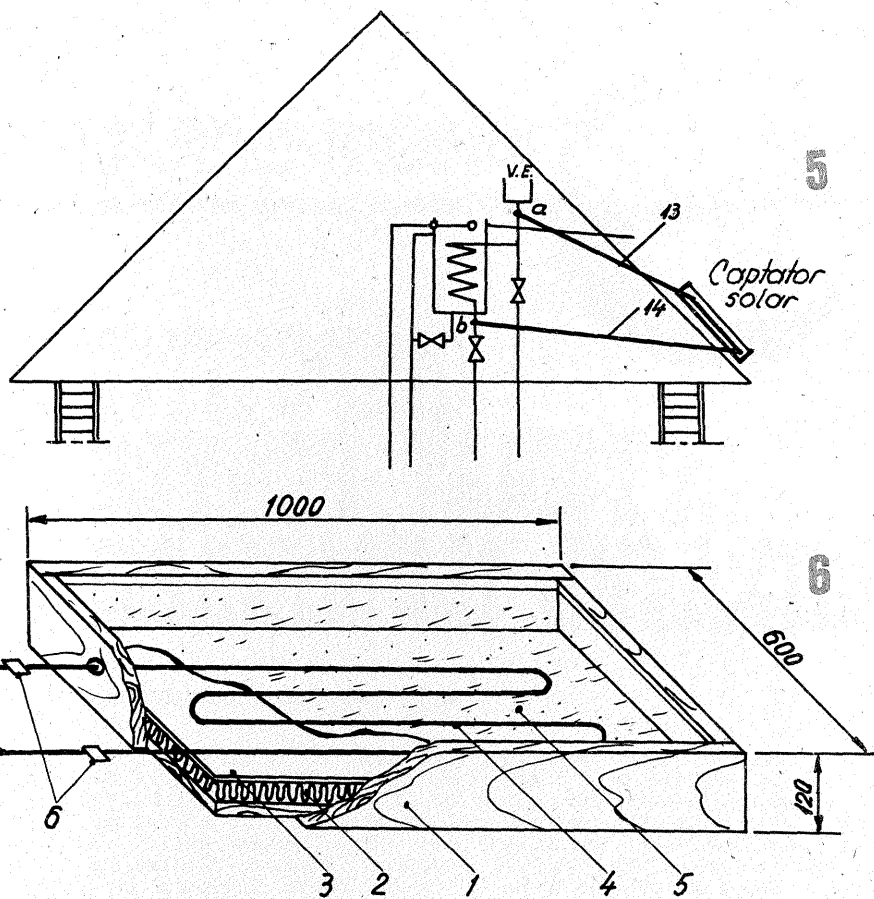
Cînd este nevoie de apă caldă, se acționează robinetele aflate pe circuitul de consum (8). Prin scăderea nivelului apei din bazin (3) robinetul cu plutitor (7) permite intrarea apei reci din circuitul de aducțiune (6). Pentru siguranță în funcționare bazinul este prevăzut cu o conductă de preaplin (12) ce asigură evacuarea surplusului de apă pe acoperiș. Inexistența conductei de preaplin ar permite, la o defecțiune a robinetului cu plutitor, ca podul să fie inundat cu apă.

O atenție deosebită trebuie acordată punctului de preluare a apei calde din bazin. Apa caldă, fiind mai ușoară, se ridică deasupra celei reci, conducta de consum (8) racordîndu-se la partea superioară a bazinului (3), sub nivelul static al robinetului cu plutitor (7). Tija plutitorului trebuie astfel reglată încît intrarea apei reci să fie oprită atunci cînd nivelul apei din bazin este peste punctul de racord al conductei de evacuare apă caldă (8); în caz contrar nu se poate asigura evacuarea acesteia.

Bazinul metalic (3) din pod se poate executa din tablă zincată sau neagră, vopsită periodic, avînd forma cilindrică sau paralelipipedică. Bazinul trebuie izolat termic la fund și la suprafața laterală, iar la partea superioară se va acoperi cu un capac. La realizarea instalației nu trebuie neglijate circuitele de golire (9), (10) a apei din bazin și a rețelei de încălzire. Periodic se va urmări ca în vasul de expansiune să existe mereu apă; la scăderea nivelului se va completa cu apă de adaos prin racordarea unui furtun la rețeaua din casă și la robinetul (11) de pe circuitul (10) de umplere-golire sau prin turnare directă în vasul de expansiune.

Orientativ, prezentăm dimensiunile părților componente ale instalației:

- 1 — serpentina, cu diametrul mediu de 200 mm și înălțimea de 80—100 mm, realizată din țevă de 3/4" sau 1";
- 2, 5 — conducte de tur și retur, executate din țevă neagră de 3/4";
- 3 — bazin metalic cu volum de 80—150 l, confecționat din tablă de 1 mm grosime;
- 4 — serpentina de încălzire, lungă de aproximativ 3—5 m, executată de preferință din țevă de cupru cu diametrul minim de 12 mm;
- 6 — conducta de alimentare cu apă rece; se execută din țevă zincată de 1/2" sau 3/4";
- 7 — robinet cu plutitor, confecționat din tablă cositorită;
- 8 — conducta de evacuare apă caldă, executată din țevă zincată de 1/2" sau 3/4";
- 9 — conducta de golire a apei din bazin; se realizează din țevă zincată de 1/2";
- 10 — conducta de umplere (sau de golire) a apei din instalația de încălzire, executată din țevă neagră de 1/2";
- 11 — robinete de trecere cu ventil de 1/2" sau 3/4", în funcție de diametrul țevilor pe care sînt montate;



12 — conducta de siguranță (preaplin), executată din țevă neagră sau zincată de 1/2";

V.E. — Vas de expansiune de 6—10 l, executat din tablă de 0,5—1 mm grosime (o găleată din tablă zincată este foarte potrivită ca vas de expansiune).

În locul serpentinei (1) se poate monta un element de calorifer (A) de 300 x 250 x 3 sau 218 x 9 în spațiul destinat recipientului de încălzire a apei prevăzută la mașina de gătit.

Avantajele instalației pentru producerea de apă caldă menajeră sînt numeroase, cele mai importante fiind:

- se folosește sursa de căldură existentă în locuință;
- rețeaua de încălzire, prin circuitul liber aflat la presiunea atmosferică (prin V.E.), nu constituie pericol, nefiind sub presiune;
- evacuarea apei calde se comandă direct de la robinetul aflat la punctul de consum, robinetul cu plutitor permițînd intrarea în bazin a apei reci de schimb;
- se evită apariția condensului pe peretele exterior al bazinului deoarece destul de rar se va folosi întreaga apă caldă din el;

— VARA, INSTALAȚIA SE POATE RACORDA LA UN SISTEM DE ÎNCĂLZIRE SOLARĂ, ce se va amenaja pe acoperișul locuinței. Se va folosi astfel o sursă de energie gratuită, aflată la îndemîna tuturor.

Folosirea energiei solare pentru producerea de apă caldă menajeră

Soarele este izvorul principal și nesecat de energie, care încălzește Pămîntul. Din cauza absorbției atmosferice, pe pămînt ajunge o putere de 1 kW/mp, dar, datorită alternanței zi-noapte, succesiunii anotimpurilor și nebulozității straturilor străbătute de razele solare, se poate conta pe un flux de aproximativ 0,2 kW/mp. Această energie a razelor solare este demnă de luat în seamă, motiv pentru care alături de cea geotermală și eoliană formează clasa energiei reproductibile sau reînnoibile. Cea mai simplă formă de captare a energiei solare este cea prin expunere directă, temperatura corpului expus radiațiilor solare puțînd să ajungă pînă la circa 60° C. Dacă însă corpul în cauză (de exemplu, o serpentina prin care trece apa) este introdus într-o cutie prevăzută cu geam (fig. 6), temperatura poate ajunge pînă la 150° C.

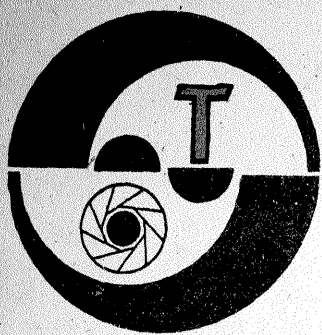
Pentru a extinde aria de folosire a instalației de producere a apei calde menajere prezentată în figura 4, în continuare descriem modul de racordare a acesteia la o instalație de încălzire solară. În ziua stabilită pentru montarea captatorului solar, după stingerea focului din mașina de gătit, se golește de apă instalația de încălzire. Se demontează serpentina (1) din focar, iar în punctele de racord la conductele de încălzire (poz. 2 și 5 din figura 4) se pun dopuri de închidere. Se scot dopurile de închidere aflate în teurile din punctele „a” și „b”, în locul lor racordîndu-se conductele captatorului solar (poz. 13 și 14 din figura 5). Instalația de încălzire solară se umple cu apă tot prin conducta (10) de la partea inferioară a instalației, avînd grijă ca robinetul (11) de pe conducta de retur (5) și cel de pe conducta de umplere cu apă rece (10) din figura 4 să fie deschise. După umplerea instalației (lucru urmărit în vasul de expansiune, V.E.) și închiderea celor două robinete, în noul montaj apa va circula tot prin gravitație, pe traseul: punct „a” — serpentina (4) — punct „b” — conducta de retur (14) — captator solar — conducta de tur (13) — ș.a. m.d.

Captatorul solar (fig. 6) se compune din cutia de lemn (1), izolată la interior cu termoizolația (2). Peste termoizolație se pune o placă metalică (3) — recomandabil din tablă de cupru de 0,5 mm grosime — vopsită în negru. Deasupra plăcii metalice se fixează cît mai etanș o serpentina (4) din țevă de oțel, aluminiu sau cupru, cu diametrul de 12—20 mm. Serpentina se fixează prin piulițele olandeze (6) de laile conducte de tur și retur (13) și (14). La partea superioară cutia captatorului este închisă cu un geam transparent, de 3—5 mm grosime.

În montajele descrise mai sus s-a considerat că instalația produce apă caldă iarna prin folosirea căldurii din focarul mașinii de gătit, iar vara prin utilizarea energiei solare.

Instalația poate funcționa prin folosirea concomitentă a ambelor surse de energie, în acest caz apa pentru încălzirea bazinului circulează pe un traseu mai lung.

Folosirea ambelor surse de energie se va evita iarna, deoarece temperatura scăzută a aerului exterior în care este expus captatorul solar diminuează parametrii termici ai instalației.



DISPOZITIV AUTOMAT PENTRU MIXAJUL IUMINARII

Ing. VASILE CĂLINESCU

Dispozitivul a cărui prezentare urmează în rândurile de față servește realizării unei iluminări progresive a două lămpi (cu incandescență), respectiv a două aparate de proiecție sau proiectoare (lămpi de studio). Utilizarea cea mai interesantă a dispozitivului constă în comanda a două aparate de proiectat diapozitive în cadrul unor spectacole specializate (diaprograme, de exemplu), obținându-se treceri de la o imagine la alta prin înfășurii luminoase, dispărând astfel momentul de întunecare bruscă, specific proiecției de diapozitive, la schimbarea imaginilor.

Dispozitivul este astfel conceput încât, prin separarea circuitului de comandă de alimentare a lămpilor, permite folosirea atât a surselor alimentate direct la rețea, cât și a celor de joasă tensiune, prin intermediul unor transformatoare adecvate.

Înainte de a trece la prezentarea propriu-zisă a dispozitivului, menționăm că el este preluat din lucrarea „Elektronikbastelbuch für Foto- und Filmamateure”, de Hagen Jakubaschk, VEB Fotokinoverlag, Leipzig, 1981.

Schema generală a dispozitivului este redată alăturat. Partea de alimentare, compusă din Tr.1, D1, D2, D5, D6 și T1, furnizează tensiunile de lucru, respectiv +5 V stabilizată și -8 V nestabilizată, pentru circuitele de comandă și aprindere. Circuitul de putere care alimentează lămpile La1, La2, este alcătuit din tiristoarele Th1, Th2, pentru La1, respectiv Th3, Th4 pentru La2, conectate în antiparalel pe baza principiului de comandă prin întârziere de fază. Condensatorul de 0,1 μF și rezistența de 47 Ω din circuitul de putere sînt pentru antiparazitare și compensație. Este posibilă și introducerea unor drosele în același scop.

Tiristoarele sînt amorsate grație transformatorilor Tr.2 și Tr.3, realizate pe miez de ferită. Înfășurările L1, L2, L3 se realizează pe secțiuni distincte și în condițiile unei foarte bune izolații, avînd în vedere faptul că lucrează la tensiunea rețelei. Terminalele înfășurărilor se execută astfel încît să se excludă orice posibilitate de atingere între ele. În cazul în care se conectează terminalele pe placă de circuit imprimat se va asigura o distanță de minimum 10 mm între trasee. Conexiunile pentru L2 și L3 se scot pe puncte cositorite și legăturile cu tiristoarele se fac cu fir aerian bine izolat. Se recomandă ca toate conexiunile cu potențial ridicat, inclusiv cele ale bobinelor L2 și L3, să se facă separat față de placă de circuit imprimat care conține restul componentelor.

Pentru fiecare circuit de putere corespunzător celor două lămpi este prevăzut un circuit de amor-

sare. Astfel, pentru La1 (Tr.2) circuitul corespunzător este alcătuit din G1, C3, T11, T5, G2, G3, G4 și T2. Cu elementele D7, D8 și T4 se asigură pentru ambele circuite de amorsare impulsuri sincrone la frecvența rețelei. Colectorul tranzistorului T4 este conectat pentru cca 0,1 ms la masă, astfel încît se declanșează monostabilul (alcătuit, pentru La1 de exemplu, din G1 și cuplajul Darlington T11, T5) cu G1, respectiv G5. Durata de menținere este pentru acționare manuală de 0,5...9,6 ms, reglabilă cu potențiometrul P1 (comutatorul S1a, b pe poziția manual), corespunzătoare unui defazaj de 10...170°. După epuizarea timpului de menținere a monostabilului se deschid T5 și ieșirea G2 astfel încît se declanșează un al doilea monostabil, G3—G4, care are un timp de menținere fix de cca 0,12 ms. Pe această durată este deschis T2 și prin înfășurarea L1 a transformatorului Tr.2 se dă un impuls de amorsare în înfășurările secundare L1 și L2, impuls care determină intrarea în conducție pe o semialternanță a unuia din tiristoarele Th1 sau Th2.

Asemănător lucrează circuitul de aprindere a lămpii La2, cu G5, C4, T13, T8, G6, G7, G8, T3 și Tr.3. În ambele cazuri P1 este utilizat astfel încît acesta asigură un reglaj în contratimp continuu al ambelor sarcini. Se impune ca C3—C4, în poziția mediană a potențiometrului P2, lămpile La1 și La2 furnizează o iluminare egală de intensitate mijlocie. Rezistența R1 trebuie astfel aleasă ca în poziția maximă a lui P1 (cursorul la capăt spre R2) lampa La1 să fie complet stinsă sau să lumineze foarte slab. Același lucru trebuie să se întîmple cînd P1 se află în poziția cealaltă extremă, fapt care impune determinarea exactă a rezistenței R2. Este de dorit ca R1 și R2 să aibă valori cît mai mari. Dacă lampa nu se stinge complet în pozițiile extreme ale cursorului lui P1, se modifică ușor valorile condensatoarelor C3 și C4 (de exemplu, se conectează în paralel o capacitate de 22...33 nF), avîndu-se însă grijă ca valoric C3 să rămîna egal cu C4.

Valorile rezistențelor R2 și R4 se mai verifică o dată și în regim de lucru automat pe baza criteriului stingerii complete (sau unei foarte slabe iluminări) a lămpii care trebuie închisă.

Pentru stingerea automată se acționează comutatorul S1a,b în poziția „automat”. Astfel, dacă lampa La1 luminează, lampa La2 este stinsă și invers, procesul aprinderii/stingerii desfășurîndu-se automat. Jumătățile potențiometrului P1 sînt înlocuite prin două surse de curent constant (T6 și respectiv T10). Unghiul de amorsare rezultă în această situație din valoarea C3 (C4) și curentul de încărcare (curentul de colector al T6, respectiv T10) care variază între 0,08 și 1,5 mA. Viteza de aprindere/stingere a lămpilor este dependentă de valorile condensatoarelor C1 și C2. Dacă mixajul iluminării se impune simetric, atunci C1—C2. Dacă se dorește ca una din lămpi să se

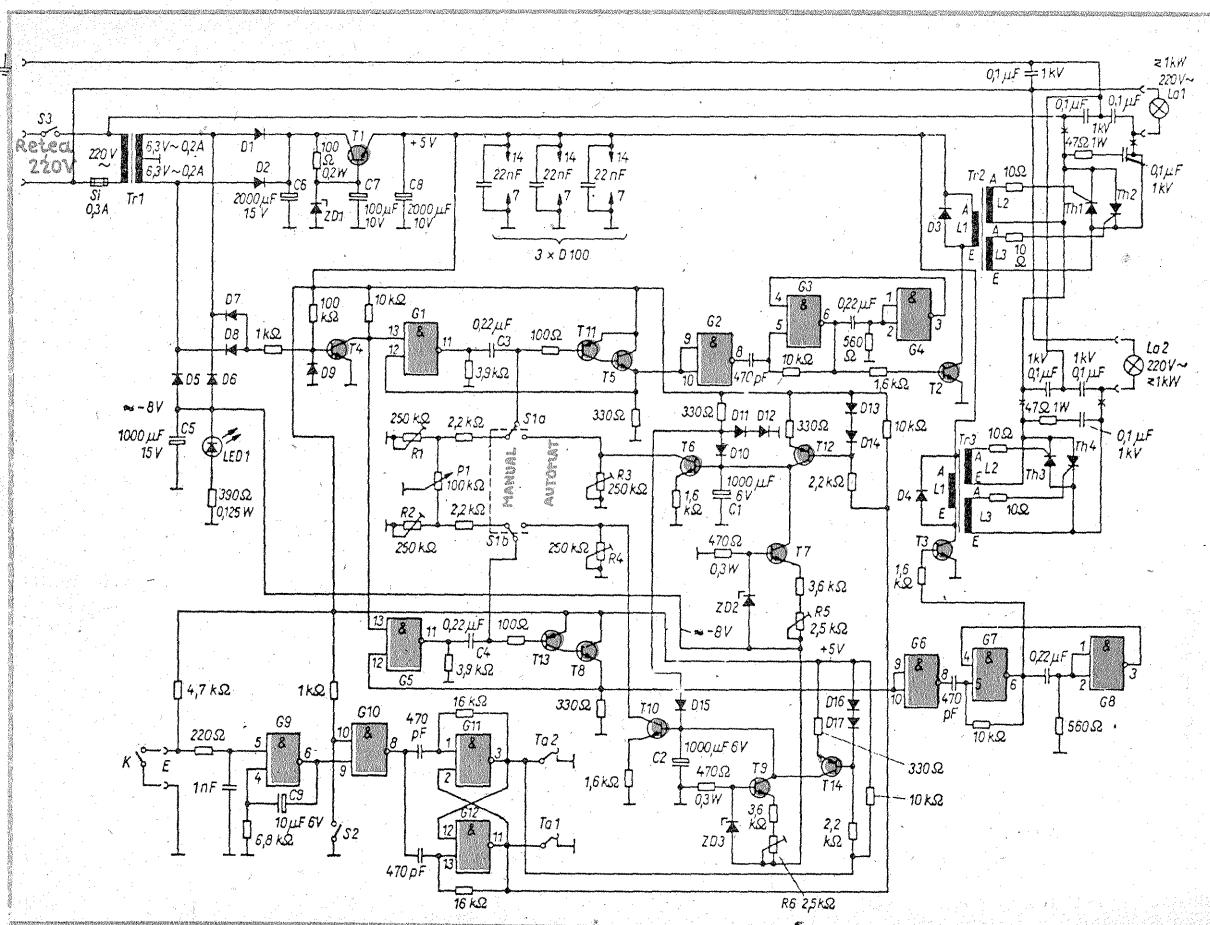
DATE TEHNICE

G1—G4, G5—G8, G9—G12 D100 (D200 etc.); Th1...Th4 ST103/4; T1...T3 SF126E... F ($\beta = 250$); T1 va avea radiator; T4...T10 SS216 ($\beta = 80$, pentru T4, $\beta = 250$); T11...T14 KF517; KFY18 (pnp-Si; $\beta = 60$); D1...D6 SY200, SY320 (1A); D7...D17 SAY12...32; ZD1...ZD3 SZX21/5,6; LED1 VQA12...33.
Tr.2, Tr.3: — oală ferită 26 x 16;
— ferită cu AL 1 600...2 500 (de exemplu Manifer 163);
— L1, L2, L3 au 180 de spire CuEm de 0,12 mm, în secțiuni distincte. L1 va fi secțiunea mijlocie. S-au notat cu A — începutul înfășurării și E — sfîrșitul înfășurării.

Nota: S-au menținut în desen și text simbolurile și notațiile folosite în lucrarea menționată.

aprindă/stingă mai repede decît cealaltă, se vor modifica valorile pentru C1 și C2. Deși la proiecția diapozitivelor se utilizează de regulă un ciclu simetric de aprindere/stingere, pentru efecte speciale ne putem gândi la introducerea mai multor condensatoare conectabile cu un întrerupător în trepte (200/500/1 000/2 000 μF, de exemplu). Aceste condensatoare se încarcă între 0,75 V și 4,3 V, impunînd modificarea curentului de colector pentru T6 (T10) și respectiv a unghiului de amorsare pentru tiristoare.

De exemplu, C1 se încarcă atunci cînd T12 este deschis. T12 cu D13 și D14 alcătuiesc o nouă sursă de curent constant care furnizează modificarea liniară de tensiune necesară lui C1 pentru procesul de aprindere/stingere. T12 va furniza un curent de colector de 2 mA. Din această valoare un curent de 1 mA circulă prin sursa permanentă de curent constant T7 (cu R5, ZD2), iar un curent de 1 mA va servi încărcării condensatorului C1 pînă la atingerea valorii maxime de 4,3 V prin intermediul tranzistorului T12. Pentru procesul invers se scoate din funcțiune tranzistorul T12 și



ALEGEREA PARASOLARULUI ȘI CALCULAREA UNGHIIULUI DE CÎMP

VIOREL OLTEANU

Unul din accesoriile utile oricărui amator de fotografii este parasolarul.

Parasolarul se dovedește util atât în ceea ce privește asigurarea lentilelor obiectivului contra intemperiilor sau șocurilor mecanice, cât mai ales în asigurarea unui plus de contrast (prin limitarea luminii reflectate de mediu și care cade pe obiectiv) și permiterea fotografierii în contralumină. Reamintim aici că fotografierea în contralumină nu înseamnă fotografierea sursei de lumină, ci a obiectelor aflate între sursa de lumină și aparatul de fotografiat, sursa de lumină putându-se afla în axa optică a aparatului sau lateral față de aceasta. Parasolarele se prezintă sub o mare diversitate, din acest motiv ele putând fi clasificate după mai multe criterii:

a) după forma corpului parasolarului, acestea pot fi:

- în formă de trunchi de con;
- în formă de trunchi de piramidă;
- în formă de burduf (cilindric sau tronconic);
- în formă cilindrică etc.

b) după forma deschiderii prin care se fotografiază, pot fi:

- cu deschidere pătrată;
- cu deschidere dreptunghiulară;
- cu deschidere circulară;
- cu deschidere dreptunghiulară cu marginile teșite etc.

c) după modul de prindere de obiectivul aparatului, pot fi:

- prindere cu filet (unele tipuri au și un inel de siguranță atașat de corpul lor, care permite fixarea în orice poziție a parasolarului pe obiectiv);
- prindere cu baionetă;
- prindere prin presare (au un inel de cauciuc de un diametru puțin mai mare decât al filetului pentru filtre);
- făcând corp comun cu obiectivul, care îi permite strângerea sau destinderea lui (cum este, de exemplu, obiectivul PENTACON AUTO 2,8/135) etc.

d) după materialul folosit pentru construcție, parasolarele pot fi:

- din aluminiu;
- din alamă;
- din mase plastice etc.

Clasificarea poate continua, cea de mai sus nefiind exhaustivă dar, indiferent de forma sau modul de prindere, funcționarea parasolarului este foarte simplă: se fixează parasolarul în obiectiv și se fotografiază. Nu tot atât de simplă este însă și alegerea lui.

Pentru ca un parasolar o dată achiziționat să nu ne facă surprize, trebuie să se țină seama, în primul rând, de unghiul de cîmp al obiectivului, de forma deschiderii, iar în cazul parasolarelor de formă cilindrică trebuie avute în vedere diametrul și lungimea parasolarului. Un parasolar care va cuprinde între laturile sale un unghi mai mic decât unghiul de cîmp al obiectivului va determina apariția unui efect negativ vizibil imediat (la aparatele cu vizare prin obiectiv și care vizează întreaga imagine fotografiată și nu doar o parte a ei, așa cum fac aparatele din seria ZENIT): marginile imaginii apar mai mult sau mai puțin înnegrite, după cum diferența dintre cele două unghiuri este mai mare sau mai mică. Un parasolar cu un unghi mai mare cu mult decât unghiul de cîmp nu va ecrana corespunzător sursa de lumină în cazul fotografierii în contralumină. Situația ideală pare a fi atunci când unghiul parasolarului este egal sau cu puțin mai mare decât unghiul de cîmp al obiectivului. Desigur, problema unghiului se pune la parasolarele în formă de trunchi de con sau de piramidă. La parasolarele cilindrice, această condiție este înlocuită de aceea a unor diametre și lungimi astfel alese încât să nu acopere unghiul de cîmp. Dar cum aflăm unghiul de cîmp? Prima posibilitate este oferită de prospectul sau cartea tehnică primită o dată cu aparatul sau cu obiectivul la achiziționarea lor. În cazul în care acestea lipsesc, datele le putem afla din cataloage ale firmelor producătoare respective. Dar atenție! Nu toate obiectivele care au aceeași distanță focală au și același unghi de cîmp. De exemplu, obiectivul HELIOS-40-2-1,5/85 are unghiul de cîmp de 28°, iar obiectivul JUPITER-9-2/85 are unghiul de cîmp de 29°.

În cazul în care nu dispunem de aceste două posibilități, nu ne rămâne decât să-l determinăm noi, determinare care se poate realiza în două moduri. În primul caz, aplicabil obiectivelor standard (spre deosebire de superangulare sau de teleobiective, obiectivele standard normale au în fața primei lentile a obiectivului un trunchi de con striat circular, determinat de carcasa obiectivului), se măsoară cu ajutorul unui șubler cu ciocuri (cu mare atenție să nu zgâriem lentila) diametrul lentilei (d) și diametrul mare al trunchiului de con din fața lentilei (D). Se scad cele două valori și re-

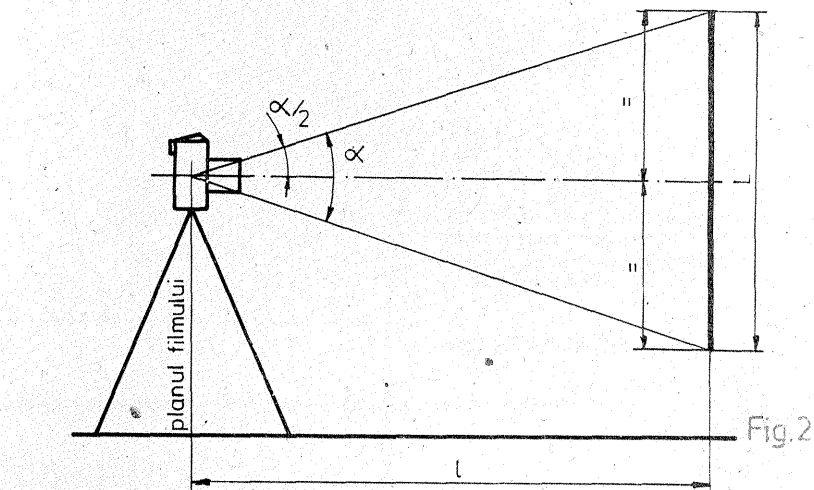
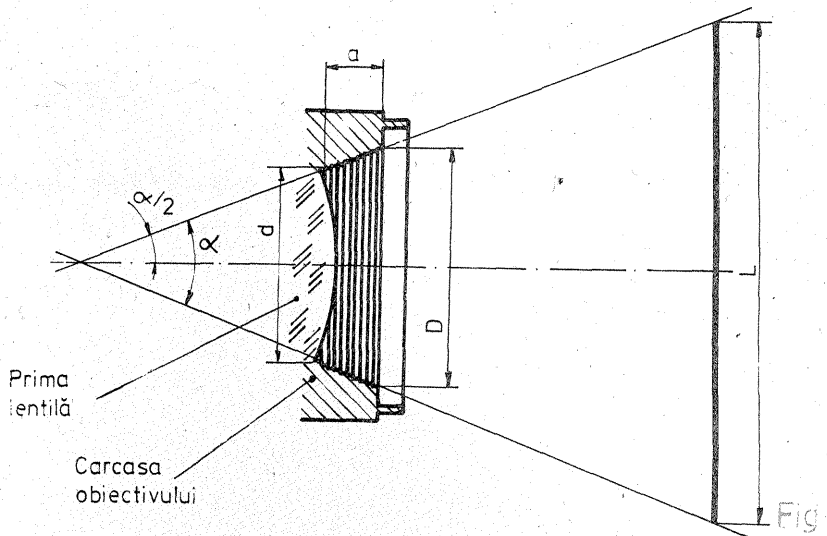
zultatul se împarte la doi. Cîțul obținut se împarte la adîncimea acestui trunchi de con (a). Valoarea obținută reprezintă valoarea tangentei jumătății unghiului de cîmp ($\alpha/2$). Din tablele sau cu ajutorul unui calculator se determină unghiul (prin funcția arctg) și se înmulțește cu doi, valoarea obținută fiind valoarea unghiului de cîmp (α).

De exemplu, un obiectiv PENTACON AUTO 1,8/50 are următoarele valori măsurate: diametrul lentilei 29 mm, diametrul mare al trunchiului de con 36,5 mm, diferența lor este 7,5. Jumătate din 7,5 împărțit la 9 mm cît este adîncimea face 0,416. La această valoare a tangentei corespunde un unghi de 22°37'12", care înmulțit cu doi ne va da un unghi de cîmp de 45°14'24", valoare care nu este departe de adevăr.

A doua metodă ne ajută să determinăm unghiul de cîmp pentru superangulare sau teleobiective, fiind diferită de prima deoarece, în aceste cazuri, prima lentilă a obiectivului se află chiar în planul feței obiectivului, și nu retrasă. Metoda constă în următoarele: avînd aparatul fixat în tripod, se vizează un obiect cu o lungime (L) bine determinată (este de preferat un metru de timpărie deschis complet). Vizarea trebuie efectuată respectînd următoarele condiții: axa optică a aparatului se va afla la 1/2 din înălțimea obiectului vizat (în cazul metrului se va afla la 50 cm), iar vizarea se va face astfel încît obiectul să fie cuprins în toată lungimea lui pe diagonala cadrului imaginii (în cazul metrului acesta se va încadra, de exemplu, între colțul dreapta-sus și colțul stînga-jos). Ne apropiem sau depărtăm de obiect pînă cînd acesta se va încadra complet în diagonala imaginii și citim distanța (1) pînă la el pe inelul distanțelor de pe montura obiectivului (sau se măsoară cu o ruletă). Din condițiile de mai sus rezultă că se va folosi doar un aparat monoobiectiv care să vizeze întreaga imagine fotografiată (se exclud astfel aparatele din seria ZENIT care vizează doar 20 x 28 mm din cadrul de 24 x 36 mm).

Pe intrarea E se poate interveni cu contactul K al unui releu dintr-un dispozitiv de sincronizare. Orice acționare pe intrarea E determină schimbarea stării de funcționare a lămpilor La1 și La2.

(CONTINUARE ÎN PAG. 23)



zultatul se împarte la doi. Cîțul obținut se împarte la adîncimea acestui trunchi de con (a). Valoarea obținută reprezintă valoarea tangentei jumătății unghiului de cîmp ($\alpha/2$). Din tablele sau cu ajutorul unui calculator se determină unghiul (prin funcția arctg) și se înmulțește cu doi, valoarea obținută fiind valoarea unghiului de cîmp (α).

De exemplu, un obiectiv PENTACON AUTO 1,8/50 are următoarele valori măsurate: diametrul lentilei 29 mm, diametrul mare al trunchiului de con 36,5 mm, diferența lor este 7,5. Jumătate din 7,5 împărțit la 9 mm cît este adîncimea face 0,416. La această valoare a tangentei corespunde un unghi de 22°37'12", care înmulțit cu doi ne va da un unghi de cîmp de 45°14'24", valoare care nu este departe de adevăr.

A doua metodă ne ajută să determinăm unghiul de cîmp pentru superangulare sau teleobiective, fiind diferită de prima deoarece, în aceste cazuri, prima lentilă a obiectivului se află chiar în planul feței obiectivului, și nu retrasă. Metoda constă în următoarele: avînd aparatul fixat în tripod, se vizează un obiect cu o lungime (L) bine determinată (este de preferat un metru de timpărie deschis complet). Vizarea trebuie efectuată respectînd următoarele condiții: axa optică a aparatului se va afla la 1/2 din înălțimea obiectului vizat (în cazul metrului se va afla la 50 cm), iar vizarea se va face astfel încît obiectul să fie cuprins în toată lungimea lui pe diagonala cadrului imaginii (în cazul metrului acesta se va încadra, de exemplu, între colțul dreapta-sus și colțul stînga-jos). Ne apropiem sau depărtăm de obiect pînă cînd acesta se va încadra complet în diagonala imaginii și citim distanța (1) pînă la el pe inelul distanțelor de pe montura obiectivului (sau se măsoară cu o ruletă). Din condițiile de mai sus rezultă că se va folosi doar un aparat monoobiectiv care să vizeze întreaga imagine fotografiată (se exclud astfel aparatele din seria ZENIT care vizează doar 20 x 28 mm din cadrul de 24 x 36 mm).

Obiectul vizat va trebui să fie bine fixat și perfect vertical. Se împarte 1/2 din înălțimea obiectului vizat la distanța pînă la el (folosindu-se aceleași unități de măsură), iar valoarea obținută va reprezenta valoarea tangentei jumătății din unghiul de cîmp. Din tablele sau cu ajutorul calculatorului se află cîru unghi îi corespunde acea valoare a tangentei și rezultatul se înmulțește cu doi. Acesta va fi unghiul de cîmp.

De exemplu, un metru liniar va fi vizat complet pe diagonala cadrului de la distanța de 3 m, folosind un anumit tip de obiectiv. Jumătatea de metru (50 cm) împărțită la valoarea distanței (300 cm) va da valoarea 0,166, care îi corespunde tangentei unui unghi de 9°27'44". Această valoare înmulțită cu doi ne va da un unghi de cîmp de 18°55'28". Desigur, această metodă se poate aplica și în cazul obiectivelor standard.

Avînd calculate unghiurile de cîmp, vom putea să ne alegem cu ușurință parasolarul corespunzător, care să-și îndeplinească optim funcțiunile. Unghiurile de cîmp calculate pentru fiecare obiectiv ne vor ajuta și la alegerea unui blitz corespunzător, avînd unghiurile de iluminare cel puțin egale cu unghiul de cîmp al obiectivului folosit.

Calculul lungimii unui parasolar cilindric este mai laborios. În cataloage unghiul de cîmp este prezentat sub forma a două valori în care cea mai mare reprezintă valoarea lui pe orizontală, iar cea mai mică valoarea lui pe verticală, aceasta din cauza limitărilor impuse de formatul dreptunghiular al cadrului, valoarea obținută de noi din calcule fiind valoarea reală a unghiului de cîmp al obiectivului luat în sine.

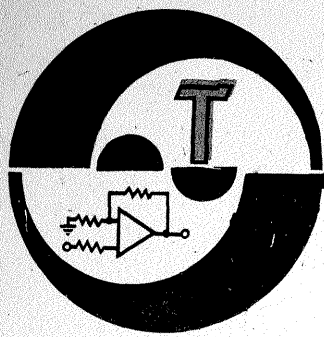
De asemenea, pentru înțelegerea celei de-a doua metode trebuie reamintit că imaginea formată pe peliculă este generată de un con de lumină cu diametrul bazei egal cu lungimea diagonalei cadrului. În figura 1 sînt prezentate elementele primului model de calcul, iar în figura 2 elementele celui de-al doilea.

condensatorul C1 se descarcă cu un curent de 1 mA. Pentru celălalt circuit de aprindere, respectiv C2, se asigură același mod de lucru prin T14, D16, D17 (încărcare) și T9, R6, ZD3 (descărcare).

Tranzistoarele T12 și T14 sînt acționate alternativ astfel încît dacă C1 se încarcă, C2 se descarcă și invers. Tensiunea de descărcare este limitată la 0,7 V (astfel încît T6 și T10 să fie în apropierea tensiunii de blocare) prin D10 pentru C1 și D15 pentru C2. D11 și D12 asigură tensiunea de referință de 1,4 V.

Conectarea în contratimp a tranzistoarelor T12 și T14 se face grație monostabilului G11, G12.

Pentru un bun efect optic se impune ca timpul de aprindere să fie egal cu cel de stingere (referitor, evident, la lămpile La1, La2). De aceea, curentul de colector al tranzistorului T12 (T14) trebuie să fie

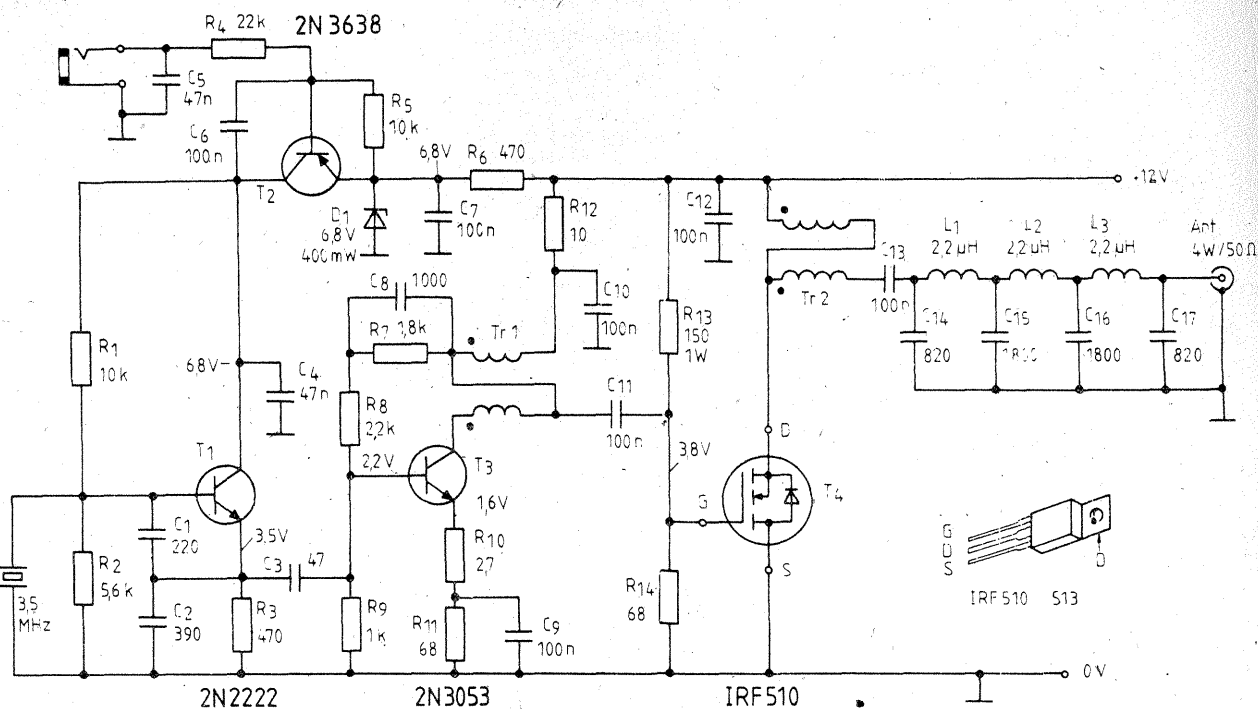


Tx-4W

Emitătorul lucrează în CW pe 3,5 MHz. Manipularea se face prin tranzistorul T₂ — 2N3638. Etajul de putere este MOSFET IRF510.

Transformatoarele TR1 și TR2 au câte 2 x 11 spire CuEm Ø 0,6 pe tor de ferită. Bobinele L₁, L₂ și L₃ au câte 16 spire CuEm Ø 0,6 bobinate pe toruri de ferită.

RADIOTEHNIKA, 11/1986

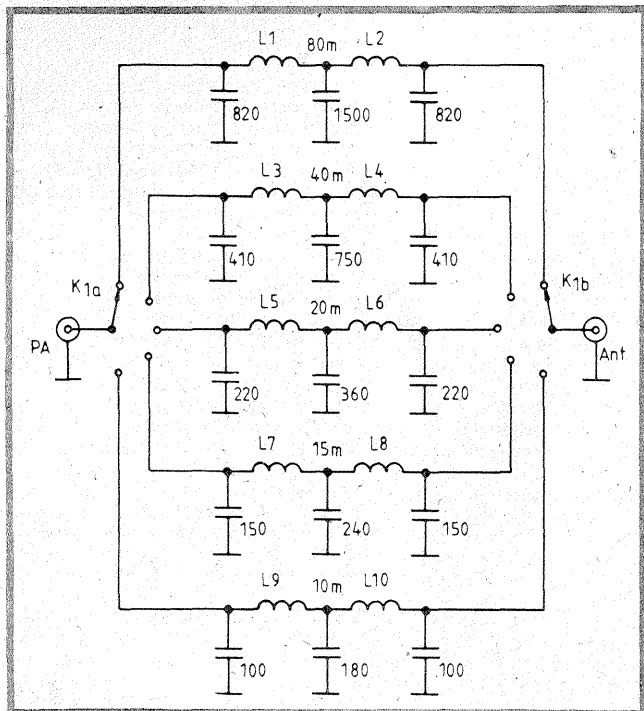


FILTRU

Eliminarea armonicilor generate în special de emițătoarele tranzistorizate se poate concretiza folosind filtre.

Un asemenea filtru este prezentat alăturat, filtru care se cuplează între ieșirea emițătorului și antenă. Bobinele sînt construite astfel: L₁ = L₂ = 21 spire; L₃ = L₄ = 15 spire; L₅ = L₆ = 11 spire; L₇ = L₈ = 9 spire; L₉ = L₁₀ = 7 spire. Toate bobinele se construiesc pe miezuri toroidale de ferită cu sîrmă CuEm 0,6. Filtrul poate fi folosit pînă la puteri de 60 W.

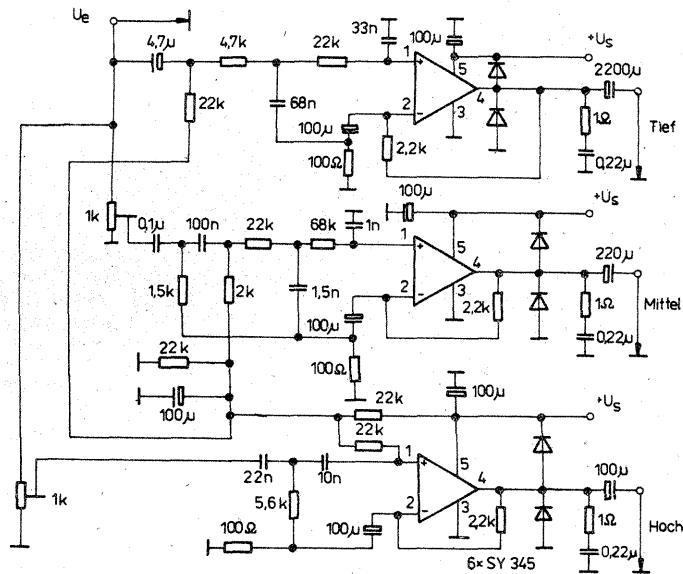
QST, 7/1981



CIRCUITUL A 2030 Hz

Una din utilizările acestui circuit este în construirea amplificatoarelor audio de putere. În exemplul alăturat este prezentat un filtru-amplificat pentru orgă de lumini. Primul filtru admite trecerea semnalului cu frecvența pînă la 270 Hz, filtrul de medii are banda de trecere cuprinsă între 300 Hz și 1,2 kHz, iar filtrul de înalte permite trecerea semnalelor cu frecvența mai mare de 860 Hz.

JUGEND UND TECHNIK, 10/1986



RELEU

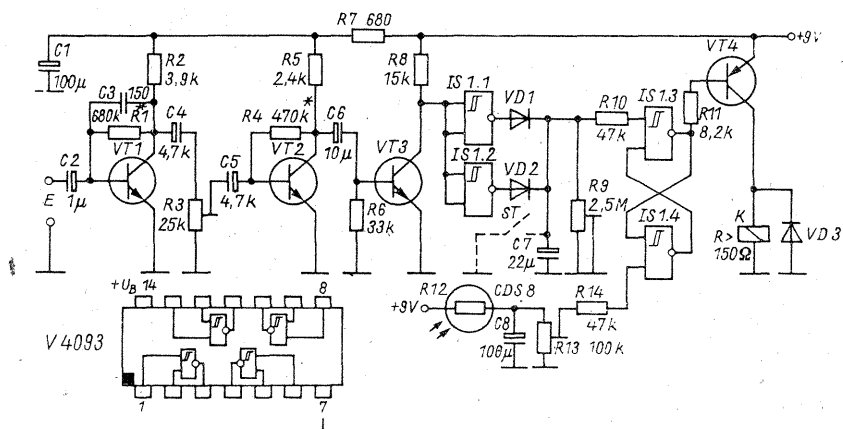
Montajul electronic permite ca la un semnal acustic sau optic să se anclanșeze un releu electromecanic care prin contactele sale realizează o comandă electrică.

nic care prin contactele sale realizează o comandă electrică.

În montaj sînt folosite tranzistoare tip BC107 și un circuit 4039 (tehnologie MOS).

Sensibilitatea montajului, respectiv pragul de acționare, se stabilește din R13.

FUNKAMATEUR, 10/1986



(URMARE DIN PAG. 7)

Asupra circuitului de acord acționează capacitatea diodei BB139 când se alimentează cu tensiune stabilizată borna RIT printr-un potențiomtru de pe panoul frontal sau din interior.

După etajul oscilator am montat un etaj separator cu ieșire pe emitor, apoi etajul final al oscilatorului care ridică nivelul de ieșire la 3 V RF cu o variație spre capetele gamei de -0,1 V.

Condensatoarele de cuplaj între oscilator-repetor și repetor-final sînt de tipul cu mică.

Alimentarea lui VFOA se face din

mică și cu o toleranță de 0,1% ce pot lucra într-un mediu de -20 la +41 C.

Bobina circuitului oscilant L este confecționată pe o bară de calit \varnothing 10 mm și are 28 spire cu sîrmă de cupru-email de 0,5 mm. Bobina L3 are 20 spire cu sîrmă de cupru de 0,3 mm, iar L4—8 spire cu sîrmă de 0,2, bobinată peste L3, la capătul rece al acesteia. La ieșirea MR a oscilatorului am montat un etaj repetor pe emitor cu BC107, care livrează semnal la DISPLAY cu un nivel de 0,6 V prin borna DA.

(CONTINUARE ÎN NR. VIITOR)

Fig.6. Amplificatorul AFI, D, AMP.JF

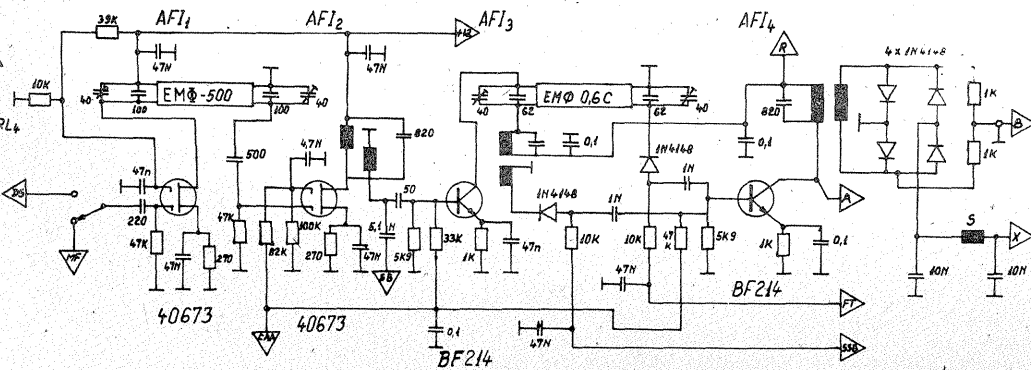


Fig.9. Oscilatorul de purtătoare

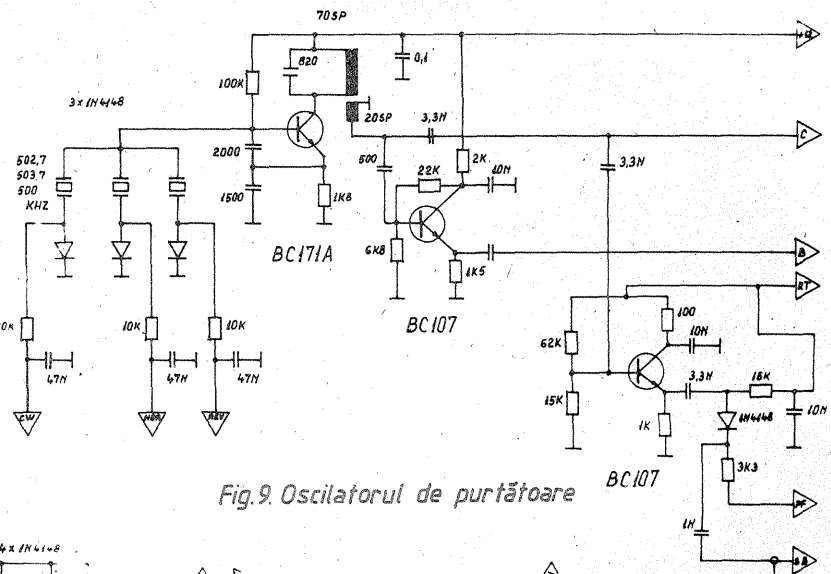


Fig.7. Sistemul CAA, modulatorul echilibrat

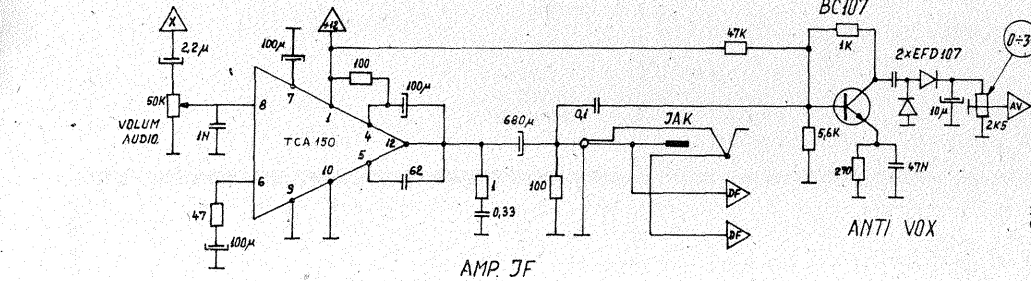
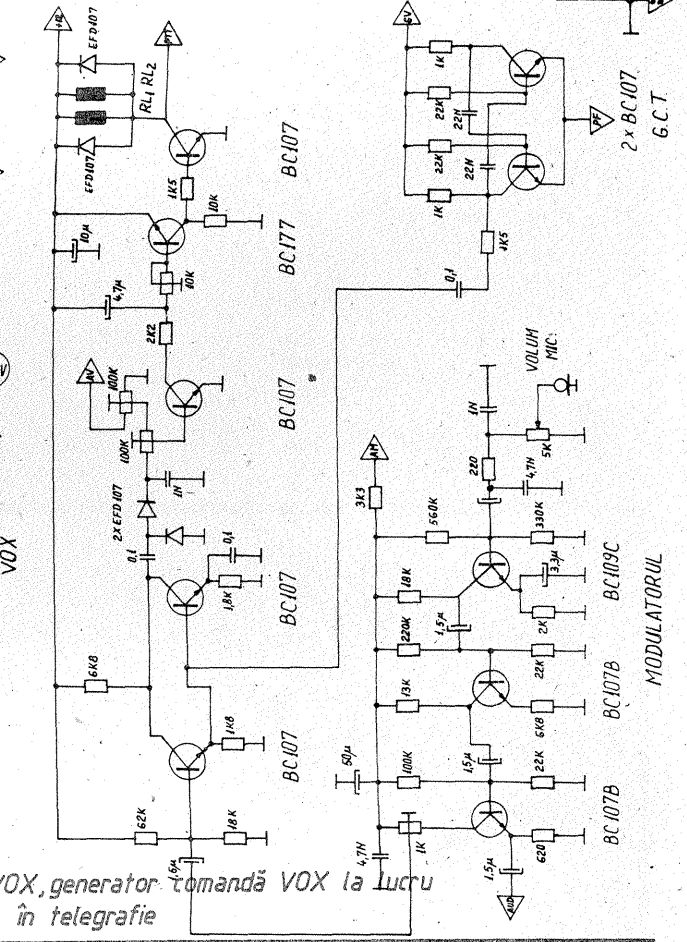


Fig.8. Modulator, VOX, generator comandă VOX la lucru în telegrafie



(URMARE DIN PAG. 21)

Astfel, dispozitivul de mixaj în conexiune cu un dispozitiv de sincronizare (după banda de magnetofon sau casetofon) asigură o proiecție complet automatizată a diapozitivelor prin înălțuirea imaginilor furnizate de două aparate de proiecție. Într-un asemenea caz, pentru efectuarea de probe se blochează intrarea E prin comutatorul S2, butoanele Ta1 și T2 rămînd în funcțiune.

Diada LED 1 servește exclusiv semnalizării existenței tensiunii de alimentare.

Transformatorul Tr.1 are un rol important de protecție prin separarea de rețea a circuitelor de comandă. Pe condensatorul C6 se vor măsura cca 6,5 V, iar pe C5 cca -8 V. Necessarul de curent al dispozitivului este de cca 60 mA.

Pe înfășurarea L1 a transformatoarelor Tr.2 și Tr.3 se aplică un impuls de amorsare de cca 0,3 A. Din această cauză, pentru a nu apărea cuplaje parazite și implicit comenzi greșite prin acționarea nedorită a circuitelor monostabile, se impune ca legăturile cu D3 și L1, respectiv D4 și L1 (pentru Tr.2, respectiv Tr.3), să fie separate de alte legături și duse direct la C8. Totodată conexiunile emitoarelor tranzistoarelor T2 și T3 se fac separat de alte legături direct la polul negativ al con-

densatorului C8.

Pe piciorușele 7 și 14 ale circuitelor integrate D100 se conectează uzualele condensatoare de 22 nF. Tiristoarele vor corespunde puterii lămpilor utilizate; în principiu ele trebuie să suporte 1 kW. Dacă lămpile La1, La2 au peste 250 W, tiristoarele vor fi obligatoriu prevăzute cu radiatoare din tablă. Pentru tiristoarele indicate, de exemplu, radiatoarele vor fi din tablă de aluminiu cu dimensiunile 80 x 80 x 2 mm. Radiatoarele vor fi izolate între ele avînd în vedere tensiunea de lucru.

Caseta dispozitivului rămîne de realizat în funcție de posibilitățile constructorului. Pentru manevrare vor fi scoase pe panou butoanele corespunzătoare lui P1, S1 (comutator cu două secțiuni), Ta1, Ta2, S2. Dacă este cazul, se prevede un comutator în trepte pentru conectarea condensatoarelor C1 și C2 de valori diferite.

Dacă la primele probe se constată că lampa care trebuie să se stingă luminează încă sau clipește, înseamnă că rezistențele R1...R4 nu au valorile potrivite.

Transformatoarele Tr.1, Tr.2, Tr.3 se vor introduce în carcase izolatoare din considerente de protecție.

(URMARE DIN PAG. 9)

tajul care a prezentat cele mai bune performanțe este cel din figură. Banda de trecere este de 50 Hz-20 MHz, la un semnal de intrare de 20 mV.

Cele două tranzistoare de la intrare sînt repetoare pe sursă, respectiv pe emitor, care realizează o adaptare corectă a impedanței mari de intrare a amplificatorului (care este de 1 M Ω) și impedanței mici de intrare (de 470 Ω) a amplificatorului diferențial de bandă largă de tipul ROB733.

Cele două diode de tipul 1N4148 conectate în paralel pe poarta tranzistorului de la intrare (BF256) au rolul de limitare a semnalului care se aplică acestui tranzistor.

La obținerea benzii de trecere de 50 MHz și a sensibilității de 20 mV a contribuit folosirea circuitului integrat SN74LS00. În caz că se utilizează un circuit integrat CDB400H sau CII50, sensibilitatea va fi de ordinul a 50 mV.

Toate condensatoarele electrolitice sînt de tipul cu tantal. Decuplarea pe alimentarea cu 5 V a circuitelor integrate se va face chiar lînga terminalul respectiv al acestora.

Cele două rezistențe de 1 k Ω care realizează o divizare a tensiunii de 5 V trebuie să fie rigurose egale între ele (chiar dacă valoarea absolută a acestora diferă puțin de 1 000 Ω).



SERVICIU

ONEȚ DOREL — Salonta

Luați semnal de la ieșirea discriminatorului printr-un cablu ecranat și îl introduceți direct în decodor — nivelul semnalului este adecvat și nu este nevoie de modificări în aparat. De la ieșirea decodurului aplicați cele două semnale unui amplificator stereo.

Ca să aveți o recepție de calitate folosiți antene Yagi cu cel puțin 7 elemente pentru fiecare canal.

La antene puteți înlocui țeava cu bară.

Dacă la receptor cuplați o antenă exterioară, micșorați valoarea condensatorului de cuplaj.

CHIOSEAN ION — Medias

În instrumentul de măsură puteți monta potențiometrul și condensatorul semivariabil (trasați scala cu repere în jurul axului potențiometrului).

Pentru folosirea oricărui emițător este necesară o autorizație. Montați instrumentul în locul căștilor, dar atenție la etalonare.

VOLOC ADRIAN — Brăila

Construiți un amplificator simplu cu două tranzistoare sau folosiți un

circuit integrat specializat preamplificator stereo.

Trimerul la care vă referiți poate fi folosit și la rețea de 50 Hz.

Toate accesoriile pentru „Diamant” 220 le procurați de la magazine, iar în instrucțiuni sînt precizate normele de exploatare.

CAZMA NICOLAE — Roman

Este mai dificil să înlocuiți PCL85 cu două tuburi, dintre care unul EF80. Căutați în magazine tubul original sau utilizați un PCL82 (cu modificările în cablaj).

O antenă parabolică poate recepționa, pe canalul pentru care a fost realizată, semnale TV din orice standard.

TĂBUȘ LUCIAN — Galați

Verificați alimentarea casetofonului și în același timp verificați dacă TBA790 nu se supraîncălzește.

JIANU RELU — Craiova

În selectorul de canale MATSU-SHITA în punctul B se aplică tensiunea de alimentare a etajului, iar în punctul X o tensiune negativă pentru deschiderea diodei de comutare.

GHIOCEL ȘTEFAN — Tirgoviște

Vom publica în curînd schema unui amplificator IF-TV pentru 6,5 MHz și 5,5 MHz.

PETROV ȘTEFAN — București

Schimbarea selectorului implică

multiple măsurători ale tensiunilor de alimentare și RAS.

DIMA ALEXANDRU — Adjud

Va trimite prin poșta schema unui convertizor de 100 W.

ONISII ANTONIO — Fălticeni;

ILIUȚĂ DAN — Galați

Construcția unui ansamblu receptor pe 11 GHz depășește deocamdată posibilitățile practice ale unui constructor amator.

GECK IOSIF — Arad (Str. Tractorul Roșu 4)

Am publicat adresa completă; cei care doresc o colecție „Tehnum” completă să ia legătura cu dv.

MIRON ANDREI — Caransebeș

După ce procurăm schema solicitată vă trimitem o copie.

POHL RUDOLF — Bacău

Vă expediem prin poșta o copie a articolului despre cifru.

POPOVICI RADU — Sighetul

Marmăției

Nu în toate cazurile BF200 se poate înlocui cu BF214. Utilizați și un circuit 555 cu 14 terminale.

ALEXANDRU ȘERBAN — jud.

Maramureș

Mulțumim pentru amabilele dv. felicitări și aprecieri.

LUPU LIVIU — Iași

Bobinați 12 spire 0,35 pe carcasa cu diametrul 6 mm. Experimentarea unui emițător impune deținerea unei autorizații.

MUCUȚĂ GHEORGHE — Brăila

Ideea comenzii prin cablu a televizorului este practic realizabilă. Costul și complicația tehnică nu justifică această construcție.

TRĂILESCU DORIN — jud. Ca-

raș-Severin

Am publicat în 3/86 amplificator pentru benzile IV—V TV.

COMĂNOIU FLORIN — Tirgo-

viște

Înlocuiți BFY90 cu BFX89.

CETVEROUSOV CONSTANTIN —

Hunedoara

Adresa solicitată este: Editura Albatros, Piața Scintei 1, București 79784.

MUNTEANU AURELIAN — jud.

Vilcea

Folosiți în amplificator tranzistoare BF200.

MEZEI SEBASTIAN — Deva

Înlocuirea blocului selectorului este bine să fie efectuată de un specialist.

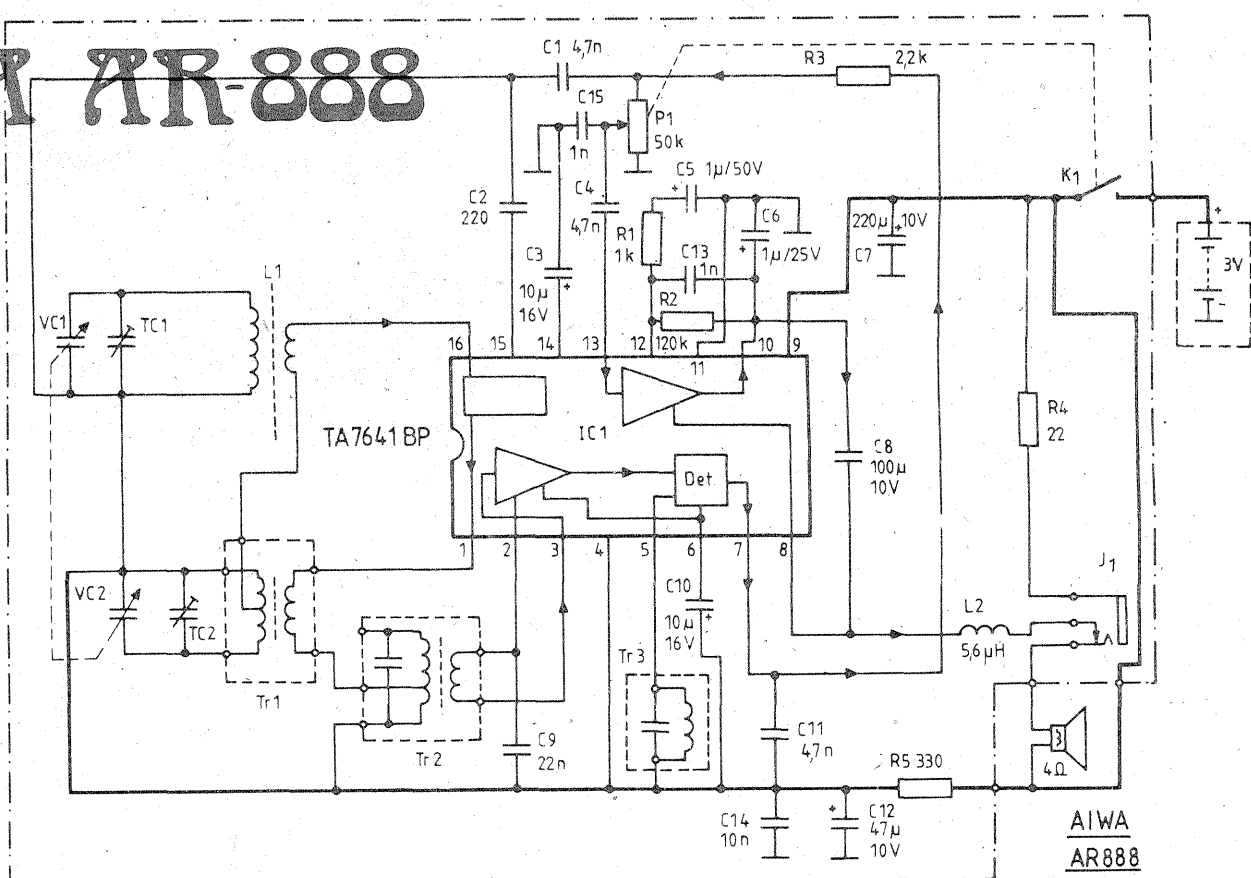
I. M.

AIWA AR-888

IANCU ROMEO — Resița

Receptorul AIWA AR-888 are în componența sa ca element activ un singur circuit integrat de tipul TA7641BP care îndeplinește toate funcțiile necesare unui aparat superheterodină. De remarcă faptul că alimentarea este asigurată cu 3 V.

Semnalul IF are frecvența 455 kHz. Sarcina optimă de lucru este de 4 Ω.



Redactor-șef: ing. IOAN ALBESCU

Redactor-șef adj.: prof. GHEORGHE BADEA

Secretar responsabil de redacție: ing. ILIE MIHĂESCU

Redactor responsabil de număr: fiz. ALEXANDRU MĂRCULESCU

Prezentarea artistică-grafică: ADRIAN MATEESCU

Administrația
Editura Scintei

INDEX 44212

CITITORII DIN STRĂINĂTATE SE POT ABONA PRIN "ROMPRESFILATELIA" — SECTORUL EXPORT-IMPORT PRESĂ, P.O.BOX 12—201, TELEX 10376, PRSFIR BUCUREȘTI, CALEA GRIVIȚEI NR. 64—66.

Tiparul executat la
Combinatul Poligrafic «Casa Scintei»